

**МИНИСТЕРСТВО СЕЛЬСКОГО ХОЗЯЙСТВА РОССИЙСКОЙ
ФЕДЕРАЦИИ**

Федеральное государственное бюджетное образовательное учреждение
высшего образования

**«КУБАНСКИЙ ГОСУДАРСТВЕННЫЙ АГРАРНЫЙ УНИВЕРСИТЕТ
ИМЕНИ И.Т. ТРУБИЛИНА»**

Факультет прикладной информатики

Кафедра Компьютерных систем и технологий

КУРСОВАЯ РАБОТА

по дисциплине: Интеллектуальные системы и технологии

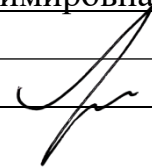
на тему: «АСК-анализ влияния учебной нагрузки и образа жизни студента
на риск нарушения психического здоровья и выгорания»

Выполнил студент группы: ИТ32441 Афанасенко Снежана Владимировна

Допущен к защите _____

Руководитель проекта д.э.н., к.т.н., профессор Луценко Е.В. (_____)

(подпись, расшифровка подписи)



Защищен _____

(дата)

Оценка _____

Краснодар
2026

МИНИСТЕРСТВО СЕЛЬСКОГО ХОЗЯЙСТВА РОССИЙСКОЙ ФЕДЕРАЦИИ
Федеральное государственное бюджетное образовательное учреждение высшего
образования
«КУБАНСКИЙ ГОСУДАРСТВЕННЫЙ АГРАРНЫЙ
УНИВЕРСИТЕТ ИМЕНИ И. Т. ТРУБИЛИНА»

Факультет прикладной информатики

**РЕЦЕНЗИЯ
на курсовую работу**

Студента Афанасенко Снежаны Владимировны
курса 2 заочной формы обучения группы ИТ32441
Направление подготовки 09.04.02 «Информационные системы и технологии»
Наименование темы «АСК-анализ влияния учебной нагрузки и образа жизни
студента на риск нарушения психического здоровья и выгорания»
Рецензент: Луценко Евгений Вениаминович, д.э.н., к.т.н., профессор
(Ф.И.О., ученое звание и степень, должность)

Оценка качества выполнения курсовой работы

№ п/п	Показатель	Оценка соответствия («неудовлетворительно», «удовлетворительно», «хорошо», «отлично»)
1	Степень полноты обзора состояния проблемы и корректность постановки цели и задач исследования	
2	Уровень и корректность использования в работе различных методов исследований	
3	Степень комплексности работы, применения в ней знаний общепрофессиональных и специальных дисциплин	
4	Ясность, четкость, последовательность и обоснованность изложения	
5	Применение современных технологий обработки информации	
6	Качество оформления работы (общий уровень грамотности, стиль изложения, качество иллюстраций, соответствие требованиям по оформлению)	
7	Уровень освоения компетенций в результате выполнения курсовой работы (проекта)	
8	Ответы на вопросы при защите	

Достоинства работы _____

Недостатки работы _____

Итоговая оценка при защите _____

Рецензент _____ (Е. В. Луценко)

«» 2026 г.

РЕФЕРАТ

Курсовая работа содержит: 99 страниц, 40 рисунков, 18 таблиц, 49 литературных источников.

Ключевые слова: СИСТЕМА ИСКУССТВЕННОГО ИНТЕЛЛЕКТА, AIDOS, КОГНИТИВНЫЙ АНАЛИЗ, МОДЕЛИ, ШКАЛЫ, КЛАССЫ.

Автоматизированный системно-когнитивный анализ (АСК-анализ) влияния учебной нагрузки и образа жизни студента на риск нарушения психического здоровья и выгорания направлен на выявление и количественную оценку факторов, определяющих вероятность повышения риска психического неблагополучия и выгорания студентов, а также на исследование характера их причинно-следственных взаимосвязей.

Целью курсовой работы является проведение автоматизированного системно-когнитивного анализа для оценки и прогнозирования риска нарушения психического здоровья и выгорания студентов под влиянием учебной нагрузки и особенностей образа жизни.

Для достижения поставленной цели необходимо решить следующие задачи: проанализировать методы формирования обобщённых образов (классов) риска нарушения психического здоровья и выгорания; выполнить идентификацию состояний студентов с применением методов АСК-анализа; построить и исследовать когнитивную модель предметной области, отражающую влияние учебной нагрузки и образа жизни на целевой риск.

АВТОМАТИЗИРОВАННЫЙ СИСТЕМНО-КОГНИТИВНЫЙ АНАЛИЗ РИСКОВ НАРУШЕНИЯ ПСИХИЧЕСКОГО ЗДОРОВЬЯ И ВЫГОРАНИЯ

Афанасенко Снежана Владимировна
Кубанский Государственный Аграрный университет имени И.Т.Трубилина, Краснодар, Россия

Современная система высшего образования сталкивается с растущей проблемой психического здоровья студентов. Своевременное выявление рисков нарушения психического здоровья и выгорания напрямую влияет на успешность профилактических мероприятий, сохранение академической успеваемости, снижение риска отчисления и улучшение качества жизни обучающихся. Основной задачей является обеспечение максимально точного и раннего прогнозирования уровня риска психического неблагополучия и выгорания на основе анализа факторов учебной нагрузки и образа жизни студентов с минимальными временными и ресурсными затратами.

В данной работе для анализа эмпирических данных предлагается использовать Автоматизированный системно-когнитивный анализ (АСК-анализ) и его программный инструментарий – интеллектуальную систему «Эйдос». Приводится подробный численный пример. Этот пример содержит множество разнообразных наглядных табличных и графических выходных форм и может использоваться для обучения применению АСК-анализа и системы «Эйдос» для научных исследований в области психического здоровья студентов, для выработки практических рекомендаций по ранней диагностике рисков и обоснования научных положений о механизмах причинно-следственных связей между факторами учебной нагрузки, образом жизни и риском нарушения психического здоровья и выгорания.

Ключевые слова: АСК-АНАЛИЗ, АВТОМАТИЗИРОВАННЫЙ СИСТЕМНО-КОГНИТИВНЫЙ АНАЛИЗ, ИНТЕЛЛЕКТУАЛЬНАЯ СИСТЕМА «ЭЙДОС»

AUTOMATED SYSTEMIC-COGNITIVE ANALYSIS OF THE RISKS OF MENTAL HEALTH IMPAIRMENT AND BURNOUT

Afanasenko Snezhana Vladimirovna
Kuban State Agrarian University named after I.T. Trubilin, Krasnodar, Russia

The modern higher education system is facing a growing problem of students' mental health. Timely identification of the risks of mental health impairment and burnout directly affects the effectiveness of preventive measures, the maintenance of academic performance, the reduction of dropout risk, and the improvement of students' quality of life. The main task is to ensure the most accurate and early prediction of the level of risk of mental ill-being and burnout based on the analysis of academic workload and lifestyle factors with minimal time and resource costs for screening.

In this work, Automated Systemic-Cognitive Analysis (ASC-analysis) and its software tool — the intelligent system “Eidos” — are proposed for the analysis of empirical data. A detailed numerical example is provided. This example contains a wide variety of clear tabular and graphical output forms and can be used for training in the application of ASC-analysis and the “Eidos” system for scientific research in the field of students' mental health, for developing practical recommendations on early risk detection, and for substantiating scientific propositions about the mechanisms of cause-and-effect relationships between academic workload factors, lifestyle characteristics, and the risk of mental health impairment and burnout.

Keywords: ASC-ANALYSIS, AUTOMATED SYSTEM-COGNITIVE ANALYSIS, INTELLIGENT SYSTEM "EIDOS"

СОДЕРЖАНИЕ

1. INTRODUCTION (ВВЕДЕНИЕ)	8
1.1. ОПИСАНИЕ ИССЛЕДУЕМОЙ ПРЕДМЕТНОЙ ОБЛАСТИ	8
1.2. ОБЪЕКТ И ПРЕДМЕТ ИССЛЕДОВАНИЯ	9
1.3. ПРОБЛЕМА, РЕШАЕМАЯ В РАБОТЕ И ЕЕ АКТУАЛЬНОСТЬ.....	9
1.4. ЦЕЛЬ РАБОТЫ.....	9
2. METHODS (МЕТОДЫ)	10
2.1. ОБОСНОВАНИЕ ТРЕБОВАНИЙ К МЕТОДУ РЕШЕНИЯ ПРОБЛЕМЫ	10
2.2. ЛИТЕРАТУРНЫЙ ОБЗОР МЕТОДОВ РЕШЕНИЯ ПРОБЛЕМЫ, ИХ ХАРАКТЕРИСТИКА И ОЦЕНКА СТЕПЕНИ СООТВЕТСТВИЯ ОБОСНОВАННЫМ ТРЕБОВАНИЯМ	11
2.3. АВТОМАТИЗИРОВАННЫЙ СИСТЕМНО-КОГНИТИВНЫЙ АНАЛИЗ (АСК-АНАЛИЗ) КАК МЕТОД РЕШЕНИЯ ПРОБЛЕМЫ	11
2.4. СИСТЕМА «ЭЙДОС» – ИНСТРУМЕНТАРИЙ АСК-АНАЛИЗА.....	13
2.5. ЦЕЛЬ И ЗАДАЧИ РАБОТЫ	20
3. RESULTS (РЕЗУЛЬТАТЫ).....	23
3.1. Задача-1. КОГНИТИВНАЯ СТРУКТУРИЗАЦИЯ ПРЕДМЕТНОЙ ОБЛАСТИ. ДВЕ ИНТЕРПРЕТАЦИИ КЛАССИФИКАЦИОННЫХ И ОПИСАТЕЛЬНЫХ ШКАЛ И ГРАДАЦИЙ	23
3.1.1. <i>Универсальная постановка задачи, не зависящая от предметной области</i>	<i>23</i>
3.1.2. <i>Конкретное решение задачи в данной работе</i>	<i>24</i>
3.2. Задача-2. ФОРМАЛИЗАЦИЯ ПРЕДМЕТНОЙ ОБЛАСТИ	25
3.2.1. <i>Универсальная постановка задачи, не зависящая от предметной области</i>	<i>25</i>
3.2.2. <i>Конкретное решение задачи в данной работе</i>	<i>26</i>
3.3. Задача-3. СИНТЕЗ СТАТИСТИЧЕСКИХ И СИСТЕМНО-КОГНИТИВНЫХ МОДЕЛЕЙ. МНОГОПАРАМЕТРИЧЕСКАЯ ТИПИЗАЦИЯ И ЧАСТНЫЕ КРИТЕРИИ ЗНАНИЙ.....	32
3.3.1. <i>Универсальная постановка задачи, не зависящая от предметной области</i>	<i>32</i>
3.3.2. <i>Конкретное решение задачи в данной работе</i>	<i>40</i>
3.4. Задача-4. ВЕРИФИКАЦИЯ МОДЕЛЕЙ	45
3.4.1. <i>Универсальная постановка задачи, не зависящая от предметной области</i>	<i>45</i>
3.4.2. <i>Конкретное решение задачи в данной работе</i>	<i>46</i>
3.5. Задача-5. ВЫБОР НАИБОЛЕЕ ДОСТОВЕРНОЙ МОДЕЛИ	49
3.5.1. <i>Универсальная постановка задачи, не зависящая от предметной области</i>	<i>49</i>
3.5.2. <i>Конкретное решение задачи в данной работе</i>	<i>49</i>
3.6. Задача-6. СИСТЕМНАЯ ИДЕНТИФИКАЦИЯ И ПРОГНОЗИРОВАНИЕ	50
3.6.1. <i>Универсальная постановка задачи, не зависящая от предметной области</i>	<i>50</i>
3.6.1.1. <i>Интегральный критерий «Сумма знаний».....</i>	<i>51</i>
3.6.1.2. <i>Интегральный критерий «Семантический резонанс знаний»</i>	<i>52</i>

3.6.1.3. Важные математические свойства интегральных критериев	53
3.6.2. Конкретное решение задачи идентификации и прогнозирования в данной работе в системе «Эйдос».....	54
3.7. ЗАДАЧА-7. ПОДДЕРЖКА ПРИНЯТИЯ РЕШЕНИЙ	58
3.7.1. Упрощенный вариант принятия решений как обратная задача прогнозирования, позитивный и негативный информационные портреты классов, SWOT-анализ	58
3.7.1.1. Универсальная постановка задачи, не зависящая от предметной области.....	58
3.7.1.2. Конкретное решение задачи идентификации и прогнозирования в данной работе в системе «Эйдос»	59
3.7.2. Развитый алгоритм принятия решений в адаптивных интеллектуальных системах управления на основе АСК-анализа и системы «Эйдос»	60
3.7.2.1. Универсальная постановка задачи, не зависящая от предметной области.....	60
3.7.2.2. Конкретное решение задачи управления в данной работе в системе «Эйдос»	64
3.8. ЗАДАЧА-8. ИССЛЕДОВАНИЕ ОБЪЕКТА МОДЕЛИРОВАНИЯ ПУТЕМ ИССЛЕДОВАНИЯ ЕГО МОДЕЛИ	64
3.8.1. Инвертированные SWOT-диаграммы значений описательных шкал (семантические потенциалы)	64
3.8.1.1. Универсальная постановка задачи, не зависящая от предметной области.....	64
3.8.1.2. Конкретное решение задачи в данной работе	64
3.8.2. Кластерно-конструктивный анализ классов.....	67
3.8.2.1. Универсальная постановка задачи, не зависящая от предметной области.....	67
3.8.2.2. Конкретное решение задачи в данной работе	67
3.8.3. Кластерно-конструктивный анализ значений описательных шкал	69
3.8.3.1. Универсальная постановка задачи, не зависящая от предметной области.....	69
3.8.3.2. Конкретное решение задачи в данной работе	70
3.8.4. Модель знаний системы «Эйдос» и нелокальные нейроны.....	74
3.8.4.1. Универсальная постановка задачи, не зависящая от предметной области.....	74
3.8.4.2. Конкретное решение задачи в данной работе	75
3.8.5. Нелокальная нейронная сеть.....	77
3.8.5.1. Универсальная постановка задачи, не зависящая от предметной области.....	77
3.8.5.2. Конкретное решение задачи в данной работе	77
3.8.7. 2D-интегральные когнитивные карты содержательного сравнения классов (опосредованные нечеткие правдоподобные рассуждения).....	78
3.8.7.1. Универсальная постановка задачи, не зависящая от предметной области.....	78
3.8.7.2. Конкретное решение задачи в данной работе	79
3.8.8. 2D-интегральные когнитивные карты содержательного сравнения значений факторов (опосредованные нечеткие правдоподобные рассуждения)	82
3.8.8.1. Универсальная постановка задачи, не зависящая от предметной области.....	82
3.8.8.2. Конкретное решение задачи в данной работе	82
3.8.9. Когнитивные функции	85

3.8.9.1. Универсальная постановка задачи, не зависящая от предметной области.....	85
3.8.9.2. Конкретное решение задачи в данной работе	85
3.8.10. Значимость описательных шкал и их градаций	88
3.8.10.1. Универсальная постановка задачи, не зависящая от предметной области	88
3.8.10.2. Конкретное решение задачи в данной работе	89
3.8.11. Степень детерминированности классов и классификационных шкал	92
3.8.11.1. Универсальная постановка задачи, не зависящая от предметной области	92
3.8.11.2. Конкретное решение задачи в данной работе	93
4. DISCUSSION (ОБСУЖДЕНИЕ).....	94
5. CONCLUSIONS (ВЫВОДЫ)	96
REFERENCES (ЛИТЕРАТУРА)	96

1. INTRODUCTION (ВВЕДЕНИЕ)

1.1. Описание исследуемой предметной области

Современная система высшего образования сталкивается с острой проблемой психического здоровья студентов. Эффективность профилактических и диагностических мероприятий в этой сфере напрямую влияет на академическую успеваемость, сохранение контингента обучающихся, снижение риска отчисления и общее качество жизни студентов. Основной задачей специалистов в области психологии образования и студенческого здоровья является обеспечение максимально раннего выявления рисков нарушения психического здоровья и выгорания, а также точного прогнозирования их развития с минимальными затратами ресурсов на скрининг и мониторинг.

Процесс формирования рисков нарушения психического здоровья и выгорания студентов отличается высокой сложностью и зависит от множества взаимосвязанных факторов. Ключевыми среди них выступают интенсивность учебной нагрузки (количество часов самостоятельной работы, уровень экзаменационного давления, академическая успеваемость), особенности образа жизни (режим сна, физическая активность, время использования цифровых устройств и социальных сетей), а также социально-экономические и семейные условия (финансовый стресс, ожидания семьи, уровень социальной поддержки). Кроме того, существенное влияние оказывают возраст, пол и курс обучения, что приводит к неравномерному распределению рисков среди студенческой молодёжи.

Одной из ключевых проблем в данной предметной области является необходимость оперативного выявления студентов группы высокого риска и ранней диагностики психического неблагополучия на этапе, когда профилактическое вмешательство наиболее эффективно. Оценка рисков включает идентификацию патогенных факторов учебной и повседневной среды, анализ индивидуальной предрасположенности, прогнозирование вероятности развития выгорания и своевременное оказание психологической помощи. В условиях высокой многофакторности и неопределённости этиологии психического неблагополучия студентов традиционные клиничко-психологические методы оценки, основанные преимущественно на субъективном опыте специалиста, часто оказываются недостаточно точными и оперативными. Это приводит к позднему выявлению рисков, хронификации состояний и росту негативных последствий для образовательного процесса.

Для решения этих задач активно применяются современные подходы, основанные на анализе больших данных о студентах, моделировании причинно-следственных связей и использовании методов

искусственного интеллекта, включая нейронные сети, деревья решений, метод опорных векторов, а также гибридные интеллектуальные технологии, среди которых особое место занимает Автоматизированный системно-когнитивный анализ (АСК-анализ). Важную роль играют интеллектуальные системы поддержки принятия решений, позволяющие визуализировать взаимосвязи между факторами учебной нагрузки, образом жизни и уровнем риска психического здоровья студентов.

Таким образом, исследуемая предметная область представляет собой совокупность процессов и факторов, связанных с идентификацией, прогнозированием и профилактикой рисков нарушения психического здоровья и выгорания студентов в условиях высокой учебной нагрузки и ограниченности ресурсов психологической службы вуза. Повышение точности оценки этих рисков позволяет своевременно проводить профилактические мероприятия, снижать вероятность академических неудач и отчисления, улучшать качество жизни студентов и способствовать устойчивому функционированию системы высшего образования.

1.2. Объект и предмет исследования

Объект исследования — система факторов учебной нагрузки и образа жизни студентов, определяющая уровень риска нарушения психического здоровья и выгорания.

Предмет исследования — выявление и количественная оценка причинно-следственных взаимосвязей между комплексом факторов учебной нагрузки и образа жизни студентов (демографические характеристики, академический год, часы самостоятельной работы в день, экзаменационное давление, продолжительность сна, физическая активность, социальная поддержка, время использования экранов и интернета, финансовый стресс и семейные ожидания) и уровнем риска нарушения психического здоровья и выгорания (низкий, средний, высокий).

1.3. Проблема, решаемая в работе и ее актуальность

Современная система высшего образования работает в условиях растущей академической нагрузки на студентов и повышения требований к качеству психологической поддержки в вузах.

Основная проблема заключается в недостаточном понимании того, какие именно факторы учебной нагрузки и образа жизни студентов, а также их сочетания, вносят решающий вклад в повышение уровня риска нарушения психического здоровья и выгорания (переход из категории «низкий» в категорию «средний» и «высокий риск»). В условиях высокой

социальной и экономической значимости психического здоровья студентов службы психологической поддержки вузов, которые не уделяют должного внимания системному анализу факторов риска, рискуют столкнуться с ростом академической неуспеваемости, увеличением отчислений по состоянию здоровья, более высокими затратами на восстановительные мероприятия и снижением качества жизни обучающихся.

Актуальность исследования обусловлена несколькими ключевыми факторами. Во-первых, распространённость психического неблагополучия и выгорания среди студентов высших учебных заведений демонстрирует устойчивый рост в последние годы. Во-вторых, современный образовательный процесс характеризуется высокой интенсивностью учебной нагрузки, значительным объёмом самостоятельной работы и постоянным использованием цифровых технологий, что порождает новые, ранее не изученные комбинации факторов риска. В-третьих, своевременное выявление студентов группы высокого риска и раннее профилактическое вмешательство напрямую влияют на сохранение их академической мотивации, успешность обучения и предотвращение негативных последствий для психического здоровья.

1.4. Цель работы

Целью работы является решение поставленной проблемы.

Достижение поставленной цели обеспечивается решением ряда *задач* и подзадач, которые являются *этапами* достижения цели. Конкретная формулировка этих задач зависит от метода решения проблемы, поэтому обоснованно мы сформулируем их в конце раздела, т.е. после обоснованного выбора метода решения проблемы и его краткого описания.

2. METHODS (МЕТОДЫ)

2.1. Обоснование требований к методу решения проблемы

Из специфики поставленной проблемы сопоставимости обработки в одной модели исходных, представленных в разных типах шкал числовых и текстовых (лингвистических) и в разных единицах измерения, вытекают следующие *требования* к методу решения проблемы:

1. Метод должен обеспечивать устойчивое выявление в сопоставимой форме силы и направления причинно-следственных зависимостей в неполных зашумленных (неточных) взаимозависимых (нелинейных) данных большой размерности числовой и не числовой

природы, измеряемых в различных типах шкал (номинальных, порядковых и числовых) и в различных единицах измерения.

2. Метод решения проблемы не должен предъявлять чрезмерно жестких требований к исходным данным, которые практически невозможно выполнить, а должен обеспечивать обработку тех данных, которые реально есть.

3. Метод должен не теоретически, а реально на практике решать поставленную проблему, а значит, он должен иметь поддерживающий его программный инструментарий, находящийся в полном открытом бесплатном доступе.

2.2. Литературный обзор методов решения проблемы, их характеристика и оценка степени соответствия обоснованным требованиям

Поиск в Internet математических методов и реализующих их программных систем, *одновременно* удовлетворяющих всем требованиям, обоснованным в п.2.1 данной работы показал, что альтернатив Автоматизированному системно-когнитивному анализу и его программному инструментарию – системе «Эйдос» в настоящее время практически нет [1-4].

2.3. Автоматизированный системно-когнитивный анализ (АСК-анализ) как метод решения проблемы

Автоматизированный системно-когнитивный анализ (АСК-анализ) предложен *проф.Е.В.Луценко* в 2002 году в ряде статей 1997-2001 годов¹ и фундаментальной монографии [2].

Сам термин: «Автоматизированный системно-когнитивный анализ (АСК-анализ)» был предложен проф.Е.В.Луценко в 2001 году. На тот момент этот термин вообще не встречался в Internet. Сегодня по соответствующему запросу в Гугле находится около 23000 сайтов с этим сочетанием слов².

Примечание: Ниже приведено очень краткое описание АСК-анализа и системе «Эйдос». Это описание может выглядеть как нескромность и самовосхваление. Но автор просит читателей понять его правильно. Это сделано исключительно для тех довольно многочисленных читателей, которые впервые слышат об этом методе и системе.

АСК-анализ включает:

- теоретические основы, в частности базовую формализуемую когнитивную концепцию;
- математическую модель, основанную на системном обобщении теории информации (СТИ);

¹ <http://lc.kubagro.ru/aidos/Sprab0802.pdf> (см. с публикации № 48).

² [https://yandex.ru/search/?text=Автоматизированный%2Всистемно-когнитивный%2Ванализ%2В\(АСК-анализ\)&lr=35&clid=2327117-18&win=360](https://yandex.ru/search/?text=Автоматизированный%2Всистемно-когнитивный%2Ванализ%2В(АСК-анализ)&lr=35&clid=2327117-18&win=360)

– методику численных расчетов (структуры баз данных и алгоритмы их обработки);

– программный инструментарий, в качестве которого в настоящее время выступает универсальная когнитивная аналитическая система «Эйдос» (интеллектуальная система «Эйдос»).

Более подробно математический метод АСК-анализа описан в работе [3] и ряде других [5]. Около половины из 706 опубликованных автором научных работ посвящены теоретическим основам АСК-анализа и его практическим применениям в ряде предметных областей. На момент написания данной работы автором опубликовано 45 монографий, 27 учебных пособий, в т.ч. 3 учебных пособия с грифами УМО и Министерства, получено 34 патента РФ на системы искусственного интеллекта, 360 публикации в изданиях, входящих в перечень ВАК РФ и приравненных им (по данным [РИНЦ](#)), 17 публикаций в изданиях, входящих в ядро РИНЦ, 6 статей в журналах, входящих в [WoS](#), 7 публикаций в журналах, входящих в [Скопус](#)³ [5, 6, 7].

Три монографии включены в фонды библиотеки конгресса США⁴.

АСК-анализ и система "Эйдос" были успешно применены в 8 докторских диссертациях по экономическим, техническим, биологическим наукам и в 8 кандидатских диссертациях по экономическим, техническим, психологическими и медицинским наукам, еще несколько докторских и кандидатских диссертаций по техническим, экономическим, филологическим и медицинским наукам с применением АСК-анализа находятся в стадии выхода на защиту.

Автор является основателем междисциплинарной научной школы: «Автоматизированный системно-когнитивный анализ»⁵. Научная школа: "Автоматизированный системно-когнитивный анализ" является междисциплинарным научным направлением на пересечении, по крайней мере, трех научных специальностей (согласно недавно утвержденной новой номенклатуры научных специальностей ВАК РФ⁶). Основные научные специальности, которым соответствует научная школа:

- 5.12.4. Когнитивное моделирование;
- 1.2.1. Искусственный интеллект и машинное обучение;
- 2.3.1. Системный анализ, управление и обработка информации.

Научная школа: "Автоматизированный системно-когнитивный анализ" включает следующие междисциплинарные научные направления:

- Автоматизированный системно-когнитивный анализ числовых и текстовых табличных данных [1-47];

³ <http://lc.kubagro.ru/aidos/Sprab0802.pdf>

⁴ <https://catalog.loc.gov/vwebv/search?searchArg=Lutsenko+E.V.> (и кликнуть: "Search")

⁵ <https://www.famous-scientists.ru/school/1608>

⁶ <https://www.garant.ru/products/ipo/prime/doc/400450248/>

- Автоматизированный системно-когнитивный анализ текстовых данных [32];
- Спектральный и контурный автоматизированный системно-когнитивный анализ изображений [31];
- Сценарный автоматизированный системно-когнитивный анализ временных и динамических рядов [44].

Приводить здесь ссылки на все эти работы здесь вряд ли целесообразно. Отметим лишь, что у автора есть личный сайт [5] и страничка в РесечГейт [6] и РИНЦ [7], на которых можно получить более полную информацию о методе АСК-анализа и системе «Эйдос». Краткая информация об АСК-анализе и системе «Эйдос» есть в материале: http://lc.kubagro.ru/aidos/Presentation_Aidos-online.pdf.

На сайте автора размещены тематические подборки публикаций по применению АСК-анализа и системы «Эйдос» в различных предметных областях [26-47].

Решение поставленной в работе проблемы сопоставимости в АСК-анализе и системе «Эйдос» обеспечивается *путем* метризации номинальных шкал, т.е. повышения их степени формализации до уровня числовых шкал [8]. Сама метризация номинальных шкал достигается *путем* вычисления количества информации, содержащегося в градациях номинальных шкал о получении той или иной урожайности [8]. Для работы с лингвистическими переменными применяются стандартные возможности АСК-анализа [5].

2.4. Система «Эйдос» – инструментарий АСК-анализа

Конечно, на системе «Эйдос» как говорят «Свет клином не сошелся». Существует много очень достойных систем искусственного интеллекта. Чтобы лично убедиться в этом достаточно самостоятельно осуществить поиск в Internet, просто посмотреть файлы: [NCKR-1](#), [NCKR-2](#), [NCKR-3](#), [NCKR-4](#) или пройти по ссылкам: <https://learn.microsoft.com/ru-ru/dotnet/machine-learning/how-does-ml-dotnet-work>, <http://chat.openai.com/>, <https://poe.com/>, <https://neural-university.ru/>, <https://dzen.ru/a/ZCKZRKvrlEMBWOк8>, <https://ora.ai/>, <https://ora.ai/explore?path=trending>, <https://ora.ai/eugene-lutsenko/aidos>, <https://poe.com/Aidos-X>, <https://rudalle.ru/>, <https://bard.google.com/>, <https://chatbot.theb.ai/>, <https://problembo.com/ru/services> (может пригодиться - почта на 10 минут: <https://10minutemail.net/>), <https://poe.com/GPT-3.5-Turbo-Instruct>, <https://www.seaart.ai/home>, <https://ui.chatai.com/>.

И все же Универсальная когнитивная аналитическая система «Эйдос-Х++» отличается от большинства из этих систем, по крайней мере, некоторыми из следующих своих параметров:

- является универсальной и может быть применена во многих предметных областях, т.к. разработана в универсальной постановке, не

зависящей от предметной области (<http://lc.kubagro.ru/aidos/index.htm>) и имеет 6 автоматизированных программных интерфейсов (API) ввода данных из внешних источников данных различных типов: таблиц, текстов и графики. Система «Эйдос» является автоматизированной системой, т.е. предполагает непосредственное участие человека в реальном времени в процессе создания моделей и их использования для решения задач идентификации, прогнозирования, принятия решений и исследования предметной области путем исследования ее модели (автоматические системы работают без такого участия человека);

- является одной из первых и наиболее популярных отечественных систем искусственного интеллекта персонального уровня, т.е. не требует от пользователя специальной подготовки в области технологий искусственного интеллекта и программирования: есть акт внедрения системы «Эйдос» 1987 года (<http://lc.kubagro.ru/aidos/aidos02/PR-4.htm>);

- реально работает, обеспечивает устойчивое выявление в сопоставимой форме силы и направления причинно-следственных зависимостей в неполных зашумленных взаимозависимых (нелинейных) данных очень большой размерности числовой и не числовой природы, измеряемых в различных типах шкал (номинальных, порядковых и числовых) и в различных единицах измерения (т.е. не предъявляет жестких требований к данным, которые невозможно выполнить, а обрабатывает те данные, которые есть);

- имеет «нулевой порог входа»:

- содержит большое количество интеллектуальных локальных (т.е. поставляемых с инсталляцией) и облачных учебных и научных Эйдос-приложений (в настоящее время их 31 и более 392, соответственно: http://lc.kubagro.ru/Source_data_applications/WebAppls.htm) (http://lc.kubagro.ru/aidos/Presentation_Aidos-online.pdf, http://lc.kubagro.ru/Presentation_LutsenkoEV.pdf);

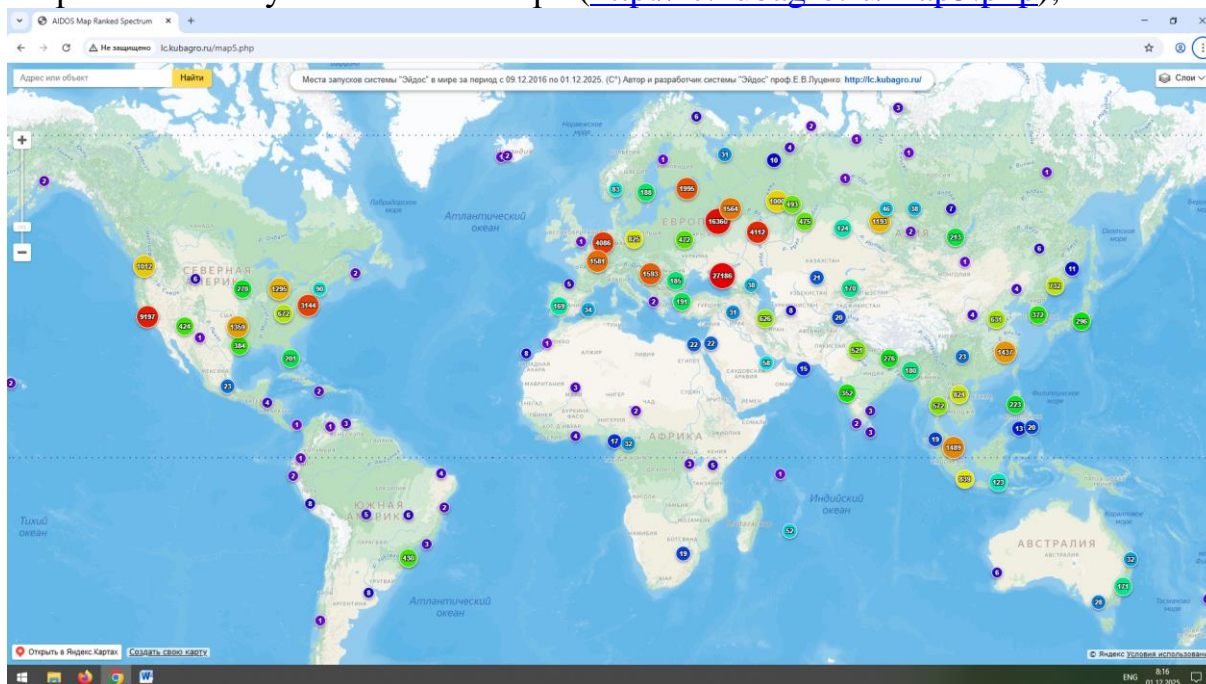
- находится в полном открытом бесплатном доступе (<http://lc.kubagro.ru/aidos/Aidos-X.htm>), причем с актуальными исходными текстами (<http://lc.kubagro.ru/AidosALL.txt>): открытая лицензия: [CC BY-SA 4.0](https://creativecommons.org/licenses/by-sa/4.0/) (<https://creativecommons.org/licenses/by-sa/4.0/>), и это означает, что ей могут пользоваться все, кто пожелает, без какого-либо дополнительного разрешения со стороны первичного правообладателя – автора и разработчика системы «Эйдос» проф. Е.В.Луценко (отметим, что система «Эйдос» создана полностью с использованием только лицензионного инструментального программного обеспечения и на нее имеется 34 свидетельства РосПатента РФ);

- является «интерпретатором интеллектуальных моделей», т.е. с одной стороны является инструментальной оболочкой, позволяющей без какого-либо программирования создавать интеллектуальные приложения на основе [конфигуратора статистических и системно-когнитивных моделей](#), а с другой стороны является run-time системой или средой исполнения, обеспечивающей эксплуатацию этих интеллектуальных приложений в адаптивном режиме.

- чтобы самостоятельно освоить систему Эйдос достаточно скачать со страницы: <http://lc.kubagro.ru/aidos/index.htm> и установить полную версию

систему, а затем в режиме 1.3 скачать и установить из Эйдос-облака одно из интеллектуальных облачных Эйдос-приложений (http://lc.kubagro.ru/Source_data_applications/WebAppls.htm) и выполнять его, следуя описанию приложения. Обычно это файл readme.pdf в папке: c:\Aidos-X\AID_DATA\Inp_data. Для изучения лучше выбирать самые новые приложения, автором которых является проф.Е.В.Луценко. Кроме того на странице: http://lc.kubagro.ru/aidos/How_to_make_your_own_cloud_Eidos-application.pdf есть более 300 полутора-часовых видео-занятий (на русском языке) и много других учебных материалов и примеров описания интеллектуальных-Эйдос-приложений.

- поддерживает on-line среду накопления знаний и обмена ими, широко используется во всем мире (<http://lc.kubagro.ru/map5.php>);



- обеспечивает мультиязычную поддержку интерфейса на 51 языке. Языковые базы входят в инсталляцию и могут пополняться в автоматическом режиме;

- наиболее трудоемкие в вычислительном отношении операции синтеза моделей и распознавания реализует с помощью графического процессора (GPU), что на некоторых задачах обеспечивает ускорение решение этих задач в несколько тысяч раз, что реально обеспечивает интеллектуальную обработку больших данных, большой информации и больших знаний (графический процессор должен быть на чипсете NVIDIA, т.е. поддерживать язык OpenGL);

- обеспечивает преобразование исходных эмпирических данных в информацию, а ее в знания и решение с использованием этих знаний задач идентификации, прогнозирования, поддержки принятия решений и исследования предметной области путем исследования ее системно-когнитивной модели, генерируя при этом очень большое количество табличных и графических выходных форм (развития когнитивная

графика), у многих из которых нет никаких аналогов в других системах (примеры форм можно посмотреть в работе: http://lc.kubagro.ru/aidos/aidos18_LLS/aidos18_LLS.pdf);

- хорошо имитирует человеческий стиль мышления и является инструментом познания: дает результаты анализа, понятные экспертам на основе их опыта, интуиции и профессиональной компетенции, если эти эксперты уже есть, а если их еще нет, то она все равно дает верные результаты познания, что будет признано будущими экспертами, когда они появятся;

- вместо того, чтобы предъявлять к исходным данным практически неосуществимые требования (вроде нормальности распределения, абсолютной точности и полных повторностей всех сочетаний значений факторов и их полной независимости и аддитивности) автоматизированный системно-когнитивный анализ (АСК-анализ) предлагает без какой-либо предварительной обработки осмыслить те данные, которые есть, и, тем самым, преобразовать их в информацию, а затем преобразовать эту информацию в знания путем ее применения для достижения целей (т.е. для принятия решений и управления) и решения задач классификации, поддержки принятия решений и содержательного эмпирического исследования моделируемой предметной области.

[В чем сила подхода, реализованного в системе Эйдос?](#) В том, что она реализует подход, эффективность которого не зависит от того, что мы думаем о предметной области и думаем ли вообще. Она формирует модели непосредственно на основе эмпирических данных, а не на основе наших представлений о механизмах реализации закономерностей в этих данных. Именно поэтому Эйдос-модели эффективны даже если наши представления о предметной области ошибочны или вообще отсутствуют.

[В этом и слабость этого подхода, реализованного в системе Эйдос.](#) Модели системы Эйдос - это феноменологические модели, отражающие эмпирические закономерности в фактах обучающей выборки, т.е. они не отражают причинно-следственного механизма детерминации, а только сам факт и характер детерминации. Содержательное объяснение этих эмпирических закономерностей формулируется уже экспертами на теоретическом уровне познания в содержательных научных законах.

[We are briefly describing a new innovative method of artificial intelligence: Automated system-cognitive analysis \(ASC-analysis\), which has its own software tools – intelligent system called "Eidos" \(open source software\).](#)

В разработке системы «Эйдос» были следующие этапы:

1-й этап, «подготовительный»: 1979-1992 годы. Математическая модель системы "Эйдос" разработана в 1979 и впервые прошла экспериментальную апробацию в 1981 году (первый расчет на компьютере на основе модели). С 1981 по 1992 система "Эйдос" неоднократно реализовалась на платформе Wang (на компьютерах Wang-2200C). В 1987

году впервые получен [акт внедрения](#) на одну из ранних версий системы «Эйдос», реализованную в среде персональной технологической системы «Вега-М» разработки автора (см.2-й акт).

2-й этап, «эра IBM PC и MS DOS»: 1992-2012 годы. Для IBM-совместимых персональных компьютеров система "Эйдос" впервые реализована на языках CLIPPER-87 и CLIPPER-5.01 (5.02) в 1992 году, а в 1994 году уже были получены [свидетельства РосПатента](#), первые в Краснодарском крае и, возможно, в России на системы искусственного интеллекта (слева приведена титульная видеogramма финальной DOS-версии системы «Эйдос-12.5», июнь 2012 года). С тех пор и до настоящего времени система непрерывно совершенствуется на IBM PC.

3-й этап, «эра MS Windows xp, 8, 7»: 2012-2020 годы. С июня 2012 по 14.12.2020 система «Эйдос» развивалась на языке [Аляска-1.9](#) + [Экспресс++](#) + библиотека для работы с Internet xh2net. Система «Эйдос-X1.9» хорошо работала на всех версиях MS Windows кроме Windows-10, которая требовала специальной настройки. Наиболее трудоемкие в вычислительном отношении операции синтеза моделей и распознавания реализует с помощью графического процессора (GPU), что на некоторых задачах обеспечивает ускорение решение этих задач в несколько тысяч раз, что реально обеспечивает интеллектуальную обработку больших данных, большой информации и больших знаний (графический процессор должен быть на чипсете NVIDIA).

4-й этап, «эра MS Windows-10»: 2020-2021 годы. С 13.12.2020 года по настоящее время система «Эйдос» развивается на языке [Аляска-2.0](#) + [Экспресс++](#). Библиотека xh2net в ней больше не используется, т.к. все возможности работы с Internet входят в [базовые возможности языка программирования](#).

5-й этап, «эра Больших данных, информации и знаний»: 2022 год. С 2022 года автор и разработчик системы «Эйдос» проф.Е.В.Луценко вплотную занялся разработкой профессиональной версии системы «Эйдос» на языке xBase++eXpress++Advantage Database Server (ADS), обеспечивающей обработку больших данных, информации и знаний (Big Data, Big Information, Big Knowledge).

6-й этап, «эра Больших данных, информации и знаний»: с 2023 года по настоящее время. С 2023 развитие системы «Эйдос» будет осуществляться на языках Питон (Python), а также [Аляска-2.0](#) + [Экспресс++](#).

[Скачать и запустить систему «Эйдос-X++» \(самую новую на текущий момент версию\) или обновление системы до текущей версии.](#) Это наиболее полная на данный момент незащищенная от несанкционированного копирования портативная (portable) версия системы (не требующая инсталляции) с полными [исходными текстами](#) текущей версии (за исключением ключей доступа к ftp-серверу системы «Эйдос» и

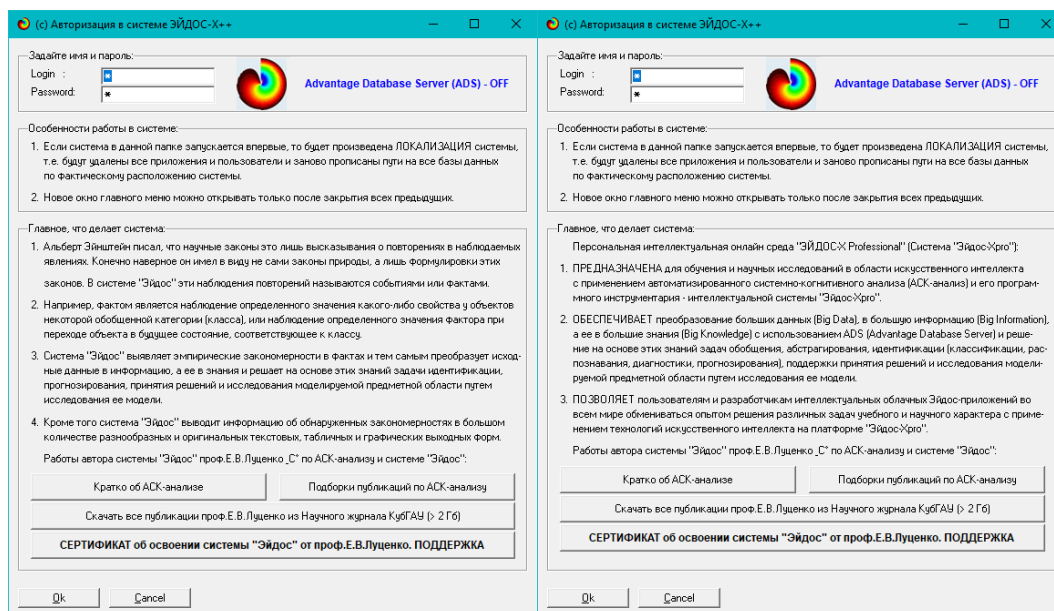
ключей лицензионного программного обеспечения), находящаяся в полном открытом бесплатном доступе (около 180 Мб). Обновление имеет объем около 10 Мб. [Кредо](http://lc.kubagro.ru). Лаборатория в [ResearchGate](https://www.researchgate.net/publication/311111111) по АСК-анализу и системе «Эйдос».

[Задание-инструкция для учащихся по разработке собственного интеллектуального облачного Эйдос-приложения](#)⁷

На рисунке 1 приведена титульная видеोगрамма DOS-версии системы «Эйдос», а на рисунке 2 – титульные видеोगраммы версии системы «Эйдос» на xBase++ (их в настоящее время 7 и они меняются по очереди при каждом запуске системы):

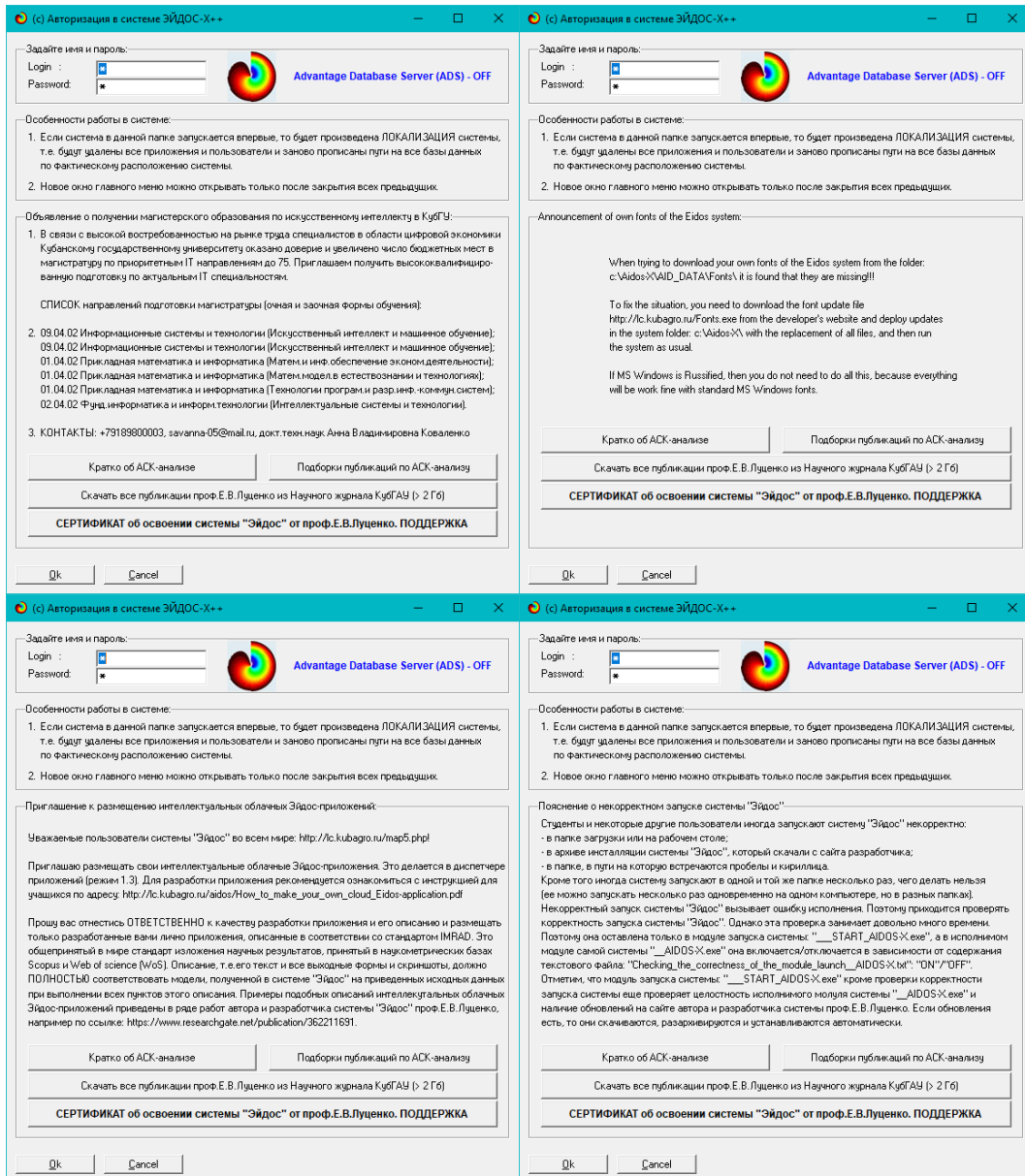


Рисунок 1. Титульная видеोगрамма DOS-версии системы «Эйдос» (до 2012 года)⁸



⁷ <http://lc.kubagro.ru/aidos/How to make your own cloud Eidos-application.pdf>

⁸ http://lc.kubagro.ru/pic/aidos_titul.jpg



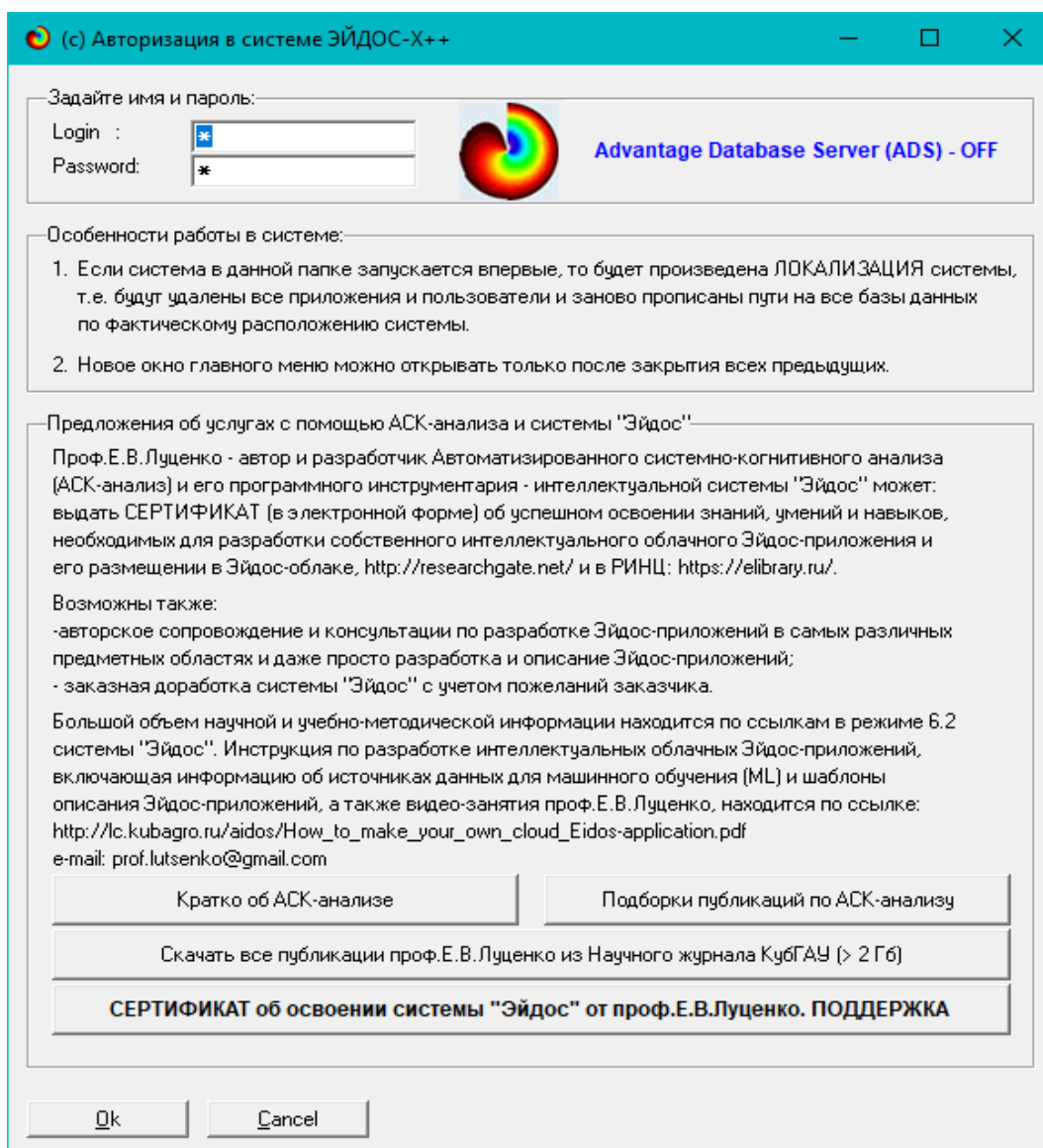


Рисунок 2. Титульные видеogramмы версии системы «Эйдос» на xBase++

2.5. Цель и задачи работы

Целью работы является решение поставленной проблемы.

Достижение поставленной цели в АСК-анализе обеспечивается решением следующих *задач* и подзадач, которые получаются в результате декомпозиции цели и являются *этапами* ее достижения:

Задача-1. Когнитивная структуризация предметной области.

Задача-2. Формализация предметной области.

Задача-3. Синтез статистических и системно-когнитивных моделей.

Многопараметрическая типизация и частные критерии знаний.

Задача-4. Верификация моделей.

Задача-5. Выбор наиболее достоверной модели.

Задача-6. Системная идентификация и прогнозирование.

Задача-7. Поддержка принятия решений (упрощенный вариант принятия решений как обратная задача прогнозирования, позитивный и

негативный информационные портреты классов, SWOT-анализ; развитый алгоритм принятия решений в АСК-анализе).

Задача-8 исследование объекта моделирования путем исследования его модели, включает ряд подзадач:

8.1) инвертированные SWOT-диаграммы значений описательных шкал (семантические потенциалы);

8.2) кластерно-конструктивный анализ классов;

8.3) кластерно-конструктивный анализ значений описательных шкал;

8.4) модель знаний системы «Эйдос» и нелокальные нейроны;

8.5) нелокальная нейронная сеть;

8.6) 3d-интегральные когнитивные карты;

8.7) 2d-интегральные когнитивные карты содержательного сравнения классов (опосредованные нечеткие правдоподобные рассуждения);

8.8) 2d-интегральные когнитивные карты содержательного сравнения значений факторов (опосредованные нечеткие правдоподобные рассуждения);

8.9) когнитивные функции;

8.10) значимость описательных шкал и их градаций;

8.11) степень детерминированности классов и классификационных шкал).

Для данной работы особое значение имеет решение подзадачи 8.1, т.к. она позволяет детально исследовать влияние каждого значения каждого фактора на риск возникновения ментальных расстройств.

На рисунке 3 приведена последовательность преобразования исходных данных в информацию, а ее в знания и применения этих знаний для решения различных задач в системе «Эйдос»:

**Последовательность обработки данных, информации и знаний в системе «Эйдос»,
повышение уровня системности данных, информации и знаний,
повышение уровня системности моделей**

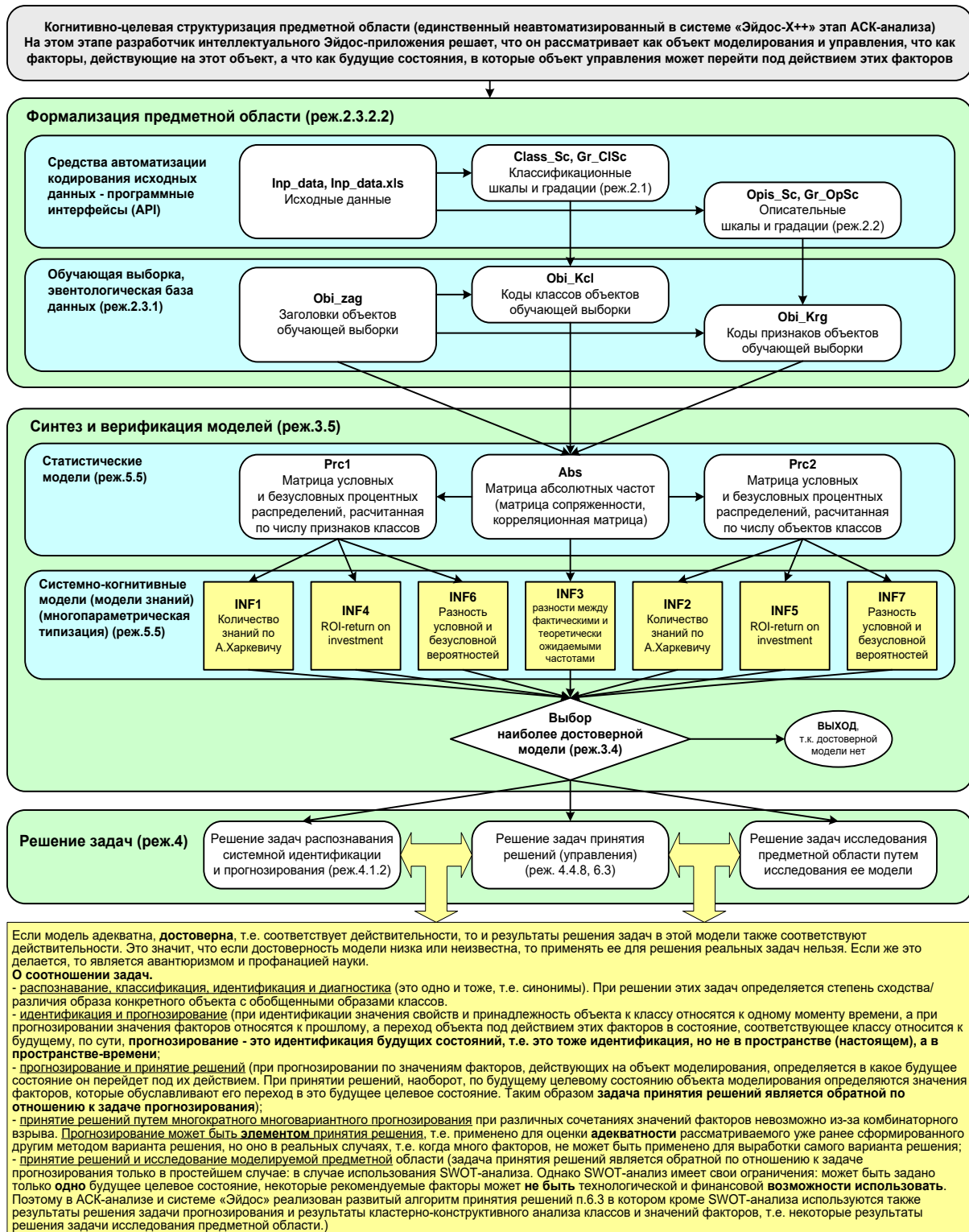


Рисунок 3. Последовательность преобразования исходных данных в информацию, а ее в знания и применения этих знаний для решения различных задач в системе «Эйдос» (этапы АСК-анализа)

3. RESULTS (РЕЗУЛЬТАТЫ)

3.1. Задача-1. Когнитивная структуризация предметной области. Две интерпретации классификационных и описательных шкал и градаций

3.1.1. Универсальная постановка задачи, не зависящая от предметной области

На этапе когнитивно-целевой структуризации предметной области мы неформализуемым путем решаем на качественном уровне, что будем рассматривать в качестве объекта моделирования, что в качестве факторов, действующих на моделируемый объект (причин), а что в качестве результатов действия этих факторов (последствий). По сути это постановка решаемой проблемы.

Описательные шкалы служат для формального описания факторов, а классификационные – результатов их действия на объект моделирования. Шкалы могут быть числовые и текстовые. Текстовые шкалы могут быть номинальные и порядковые.

Когнитивная структуризация предметной области является первым и единственным неавтоматизированным в системе «Эйдос» этапом АСК-анализа, т.е. все последующие этапы АСК анализа в ней полностью автоматизированы.

В АСК-анализе и системе «Эйдос» применяется две интерпретации классификационных и описательных шкал и градаций: *статичная и динамичная* и соответствующая терминология (обобщающая, статичная и динамичная). Есть также обобщающая интерпретация и соответствующая ей терминология.

Статичная интерпретация и терминология:

– градации классификационных шкал – это обобщающие категории видов объектов (классы);

– описательные шкалы – свойства объектов, градации описательных шкал – значения свойств (признаки) объектов.

Динамичная интерпретация и терминология:

– градации классификационных шкал – это обобщающие категории будущих состояний объекта моделирования (классы), описывающие результаты действия факторов на объект моделирования в натуральном и стоимостном выражении: например количество и качество продукции, прибыль и рентабельность;

– описательные шкалы – факторы, действующие на объект моделирования, градации описательных шкал – значения факторов, действующие на объект моделирования.

Обобщающая терминология:

- классификационные шкалы и градации;
- описательные шкалы и градации.

3.1.2. Конкретное решение задачи в данной работе

Исходные данные были взяты по ссылке <https://www.kaggle.com/datasets/sharmajicoder/student-mental-health-and-burnout>.

Для того, чтобы привести исходные данные в формат, понятный для системы "Эйдос" использовался Текстовый формат для всех ячеек.

В данной работе в качестве объекта моделирования выступает система факторов учебной нагрузки и образа жизни студентов, определяющая уровень риска нарушения психического здоровья и выгорания. В качестве описательных факторов рассматриваются демографические характеристики, показатели учебной нагрузки и параметры образа жизни студентов (таблица 1), а в качестве результата действия этих факторов — уровень риска нарушения психического здоровья и выгорания (низкий, средний, высокий). (таблица 2):

Таблица 1 – Описательные шкалы (факторы)

KOD_OPSC	NAME_OPSC
1	age
2	gender
3	academic_year
4	study_hours_per_day
5	exam_pressure
6	academic_performance
7	sleep_hours
8	physical_activity
9	social_support
10	screen_time
11	internet_usage
12	financial_stress
13	family_expectation

Источник: c:\Aidos-X\AID_DATA\A0000001\System\Opis_Sc.xlsx

Таблица 2 – Классификационные шкалы (результаты действия факторов)

KOD_CLSC	NAME_CLSC
1	risk_level

Источник: c:\Aidos-X\AID_DATA\A0000001\System\Class_Sc.xlsx

Для формирования xlsx-файлов, приведенных в таблицах 1 и 2, необходимо выполнить в системе "Эйдос" режим 5.12.

3.2. Задача-2. Формализация предметной области

3.2.1. Универсальная постановка задачи, не зависящая от предметной области

На этапе формализации предметной области разрабатываются классификационные и описательные шкалы и градации, а затем исходные данные кодируются с их использованием, в результате чего получается обучающая выборка. Обучающая выборка, по сути, представляет собой исходные данные, *нормализованные* с помощью классификационных и описательных шкал и градаций. Этим самым подготавливается все необходимое для выполнения следующего этапа АСК-анализа: синтеза и верификации статистических и системно-когнитивных моделей.

В системе «Эйдос» имеется большое количество разнообразных автоматизированных программных интерфейсов (API), обеспечивающих ввод в систему внешних данных различных типов: текстовых, табличных и графических, а также других, которые могут быть представлены в этом виде, например аудио или данные электроэнцефалограммы (ЭЦГ) или кардиограммы (ЭКГ).

Этим обеспечивается возможность комфортного для пользователя применения системы «Эйдос» для проведения научных исследований и решения практических задач в самых различных предметных областях и направлениях науки, практически везде, где человек применяет естественный интеллект [48, 49].

3.2.2. Конкретное решение задачи в данной работе

Таблица 3 – Исходные данные по влиянию различных факторов учебной нагрузки и образа жизни студентов на риск нарушения психического здоровья и выгорания

A	B	C	D	E	F	G	H	I	J	K	L	M	N	
1	age	gender	academic_year	study_hours_per_day	exam_pressure	academic_performance	sleep_hours	physical_activity	social_support	screen_time	internet_usage	financial_stress	family_expectation	risk_level
2	23	Male	2	5,569707636	6,487218157	68,41111424	8,86054469	2,728861103	6,47007979	4,98380036	4,983157062	3,446628272	3,586146691	Low
3	20	Male	3	5,597170756	5,83148989	67,98287074	7,463332043	3,90808662	0	3,98207953	5,19810421	2,814038981	5,478685992	Low
4	29	Male	2	2,580401084	6,015297105	58,37236268	8,946669953	3,29672008	6,901724922	5,428879937	3,058332551	4,918515196	6,068155255	Low
5	27	Male	4	4,607207637	6,684005378	68,92585312	4,571380141	2,065480224	2,349856597	6,304842185	6,931147236	6,915889451	6,557336841	High
6	24	Male	4	2,186589315	4,010450257	69,14191325	5,989324242	4,0265503613	4,512020775	4,930146307	5,134892803	4,382819825	5,594799449	Low
7	29	Female	3	7,697209613	8,460408095	68,3322456	6,574378981	3,928158537	3,869207542	3,918760170	10	2,877484242	10	Low
8	21	Female	3	7,012741987	7,287667142	75,1807871	7,3665058207	1,97541727	7,048036732	6,50291813	6,769425313	4,811232093	1,13025018	Low
9	23	Female	2	6,946341892	7,50193456	80,9940644	7,355032075	0	4,27019586	3,618190377	2,170216203	5,428242602	6,32679098	Low
10	26	Male	4	6,535983357	6,910836948	77,23699622	5,157026936	2,138839422	3,340809757	1,534403021	2,106578446	6,57850916	5,831088029	Medium
11	19	Female	3	5,292717779	7,108178979	73,80817779	6,281272725	0,991039453	9,161837595	4,628498228	2,05924422	3,282165011	4,52527239	Low
12	23	Male	1	5,059263593	4,222127503	68,00179626	3	3,854451512	5,238531884	5,896311941	5,494074611	7,478486888	4,444224092	Low
13	27	Male	4	6,076286465	6,270351506	69,4144103	5,691926991	4,65895419	7,312819132	8,826263026	8,333128988	6,785499198	6,374281197	Medium
14	27	Female	4	9,503651047	7,587848475	77,13746139	8,691459274	4,710295644	4,710295644	2,89440311	2,42076989	5,199621881	5,101514149	Low
15	24	Male	3	2,760563008	5,969034942	66,17629534	4,89476862	4,513007797	5,523283763	6,275790444	6,484984832	2,694726511	2,894726511	Low
16	21	Female	2	6,142740009	6,749749336	67,46245161	5,598242421	4,649199157	6,961852185	4,396103173	4,772923235	3,492452505	5,501027191	Low
17	20	Male	2	2,943620092	5,416680992	65,30946301	6,301093758	3,761488897	6,637380304	6,78772482	7,035296864	3,035296864	3,035296864	Medium
18	24	Male	2	8,757772728	8,422123742	70,24206832	6,602968034	2,67087635	2,117406672	4,677631817	4,565121535	6,654378789	4,859431446	Low
19	24	Female	3	7,688794682	5,809958353	78,62253331	5,806423995	2,810709005	4,781303378	8,135045085	9,385681883	2,57611293	3,453386922	Low
20	19	Female	4	3,91852514	5,72544236	68,81344176	4,194484607	3,209721343	6,636469595	6,48847403	8,94013719	6,200721229	2,393136078	Low
21	22	Female	3	1,910460004	3,031126457	76,88262654	7,160475822	2,427541117	4,015891418	6,731430165	6,049816317	3,72832781	5,810104595	Low
22	21	Male	3	6,420263813	6,98826955	68,9453629	7,614226307	2,005729001	3,871927197	5,149712258	5,094090472	7,085271888	2,797932721	Low
23	18	Male	1	7,225978374	6,800496376	74,89218287	9,74863258	2,153619009	6,26481795	5,522189333	4,12423101	2,878404336	3,010918975	Low
24	24	Female	2	4,294917708	5,443705962	78,12439543	4,744630243	4,755062965	6,62886119	3,806835238	2,508430722	5,728490763	5,728490763	Low
25	28	Female	4	0	1,987081353	60,82873378	4,765330285	1,312014988	3,532009532	6,943722161	6,187317988	6,448103142	9,230965554	Medium
26	22	Male	4	4,382791651	4,787815842	4,787815842	5,229642547	3,702617286	5,34619923	3,909316973	2,852225757	5,518651984	7,88231148	Low
27	18	Male	5	5,96332401	5,899011988	69,53218606	9,072123225	1,464485967	6,13875954	6,747893329	7,82920444	3,956704927	3,956704927	Low
28	28	Female	3	4,260471281	5,509789153	73,11345595	5,6085614	5,002852842	8,370387767	3,886426153	4,82830079	2,781271362	3,729378611	Low
29	21	Female	4	2,468877558	6,481769882	62,18057861	6,727786385	2,971073442	5,83944419	7,309608767	7,544184024	4,111398301	5,23789345	Low
30	17	Male	1	5,194316774	6,628475433	66,56623432	6,02076472	1,528889947	3,322038148	2,870581163	1	6,93547529	4,718167175	Medium
31	28	Male	2	2,354527491	4,087351291	73,13521351	7,96384831	1,52829978	3,484188028	3,862292338	4,4251115	5,469155978	4,904869664	Low
32	28	Female	4	7,319281108	8,589578136	79,56702504	7,44605652	3,32843864	6,799436019	7,805898472	6,702937863	4,72430101	9,059340655	Medium
33	22	Female	1	3,42639815	4,78956257	58,96497675	6,645801508	2,54438741	4,619168394	7,557717141	8,751709423	3,905316562	7,894149487	Low
34	29	Male	4	4,89997813	6,879224724	69,9894179	4,89292611	5,845386316	5,430306461	1,987389486	1	6,17710914	6,86666639	Medium
35	24	Female	4	4,043613022	4,508314264	75,71860265	8,29057068	0,245734305	3,33458136	4,621730672	4,173737655	5,023931399	7,62362372	Low
36	25	Female	4	6,96224417	7,103702502	78,84735984	6,834037071	5,39534306	3,5397082	3,917211367	3,855180919	6,319589671	6,371882003	Low
37	17	Male	3	7,523894922	6,824015881	70,46416958	7,534481185	3,70742229	9,53089695	5,916742702	6,30885922	4,866715031	6,29260365	Low
38	27	Female	1	3,07202655	3,87281527	65,54872193	8,70353383	4,772021192	6,892936455	3,849091872	3,291256345	6,29539345	6,29539345	Low
39	27	Female	2	4,32828833	4,67699497	76,99490719	7,456542893	0,895290279	6,742170743	6,541764988	7,71183966	6,093325325	6,071257672	Low
40	26	Male	1	6,790386535	6,522036869	79,06595312	9,271647759	2,53964147	3,505211463	2,948926442	1,231289788	5,950700129	6,603204514	Low
41	29	Male	4	7,952804459	5,180623661	77,65727588	7,77626742	3,900597818	5,42703404	3,276087001	5,09777852	4,901301099	6,910838618	Low
42	28	Male	4	3,46253066	3,97584296	69,74289406	7,87354066	2,33589621	6,718184497	5,093180665	5,38505495	2,69964761	4,752408361	Low
43	19	Male	2	2,124797851	4,907115983	66,81426282	7,868736554	2,494112501	6,22573677	4,651003132	3,786335458	7,05633097	6,47846201	Low
44	28	Female	4	6,271004916	9,760917157	71,6211651	4,881336802	6,981755347	10	5,72978859	6,628915128	3,98521043	5,965169354	Medium
45	23	Female	2	5,00361484	7,861520262	67,73040054	6,559291754	4,61865002	7,121972102	4,624569698	4,81822443	6,6474228	7,200539167	Medium
46	20	Male	4	0,92702821	5,349100192	56,66636269	6,60867242	0,552967855	5,848739154	3,816433623	2,368832312	4,67061678	10	Medium
47	25	Female	3	3,93818748	3,60311176	76,02984227	1,026984279	1,026984279	5,045782622	5,045782622	3,29028512	1,28999721	6,960889125	Low
48	19	Female	3	7,51201254	7,737680694	77,96594149	7,826679395	3,664950274	3,674204596	5,42157228	6,414110719	5,226303019	3,806416276	Low
49	21	Male	3	6,203509393	5,54571094	65,59984258	7,22812494	2,260524845	4,542202233	3,519381845	2,739327055	2,341750919	7,141118299	Low
50	19	Male	2	3,883178984	6,088616119	71,7455861	10	5,378921188	3,087229403	1	1	8,060065952	8,389204317	Low
51	23	Other	1	2,469364117	4,719703444	67,53266839	6,188736763	3,819402661	7,20689616	7,160557117	7,340745906	4,46531157	4,860204968	Low

Используя стандартные возможности MS Excel, исходные данные из таблицы 3 представим в виде, стандартном для системы «Эйдос» (таблица 4):

Таблица 4 – Excel-таблица исходных данных в стандарте системы «Эйдос»

	A	B	C	D	E	F	G	H	I	J	K	L	M	N
	age	gender	academic_year	study_hours_per_day	exam_pressure	academic_performance	sleep_hours	physical_activity	social_support	screen_time	internet_usage	financial_stress	family_expectation	risk_level
1														
2	23	Male	2	5,6	6,5	68,4	6,9	2,7	6,5	5,0	5,0	3,4	3,6	Low
3	20	Male	3	5,6	5,6	67,7	7,5	3,7	0,0	3,9	5,1	2,8	5,5	Low
4	29	Male	2	2,6	6,0	58,4	8,9	3,3	6,9	5,4	3,1	4,9	6,1	Low
5	27	Male	4	4,6	6,7	68,9	4,6	2,1	2,3	6,3	6,9	6,9	6,6	High
6	24	Male	4	2,2	4,0	69,1	6,0	4,0	4,5	4,9	5,1	4,4	5,9	Low
7	29	Female	3	7,7	8,5	68,3	6,6	0,0	3,9	3,9	3,9	2,9	10,0	Low
8	21	Female	3	7,0	7,3	75,2	3,7	2,0	7,0	6,5	6,8	4,8	1,1	Low
9	23	Female	2	6,9	7,5	80,9	7,4	0,0	4,3	3,6	2,2	5,4	6,7	Low
10	26	Male	4	6,5	6,9	77,2	5,2	2,1	3,3	1,5	2,1	6,6	5,8	Medium
11	19	Female	3	5,3	6,6	73,8	6,3	1,0	9,2	4,6	2,1	3,8	4,5	Low
12	23	Male	1	5,1	4,2	68,0	3,0	3,9	5,2	5,9	5,5	7,5	4,4	Low
13	27	Male	2	6,1	6,3	69,4	5,7	4,7	7,3	8,9	8,3	6,8	6,4	Medium
14	27	Female	4	9,5	7,6	77,1	8,7	1,8	4,7	2,9	2,4	5,2	5,1	Low
15	24	Male	3	2,8	6,0	66,2	4,9	4,5	5,5	6,8	6,3	8,5	2,9	Low
16	21	Female	2	6,1	6,7	67,5	5,6	6,5	7,0	4,4	4,8	3,5	5,5	Low
17	20	Male	2	2,9	5,4	65,3	5,4	3,3	3,8	6,6	6,8	7,0	3,4	Medium

Таблица 4 имеет следующую структуру:

- каждая строка описывает одного студента, всего их 1000;
- каждое наблюдение описывается одновременно двумя способами: с одной стороны — значениями факторов, действующих на объект моделирования (лингвистические и числовые переменные, градации описательных шкал, бесцветный фон), а с другой стороны — результатами действия этих факторов, выраженными в классификационной шкале (жёлтый фон). Такая структура описания наблюдений в технологиях искусственного интеллекта называется «онтологией», а модель представления знаний Марвина Мински (1975) называется «фрейм-экземпляр»;

- столбец 14 (`risk_level`) — это классификационная шкала, описывающая результат действия факторов и принимающая три значения: Low (низкий риск), Medium (средний риск) и High (высокий риск). В общем случае в исходных данных может быть несколько классификационных шкал, однако в настоящем исследовании используется только одна;

- столбцы с 1 (`age`) по 13 (`family_expectation`) — это описательные шкалы, формализующие факторы учебной нагрузки и образа жизни студентов. Эти шкалы имеют числовой и текстовый тип, а их градациями являются лингвистические и числовые переменные.

- при вводе данных в систему «Эйдос» нули и пробелы в исходных данных могут рассматриваться как значащие или как отсутствие данных. 2-й вариант и будет использован в данной работе.

Математическая модель системы «Эйдос» обеспечивает устойчивое выявление в сопоставимой форме силы и направления причинно-следственных зависимостей в неполных (фрагментированных) зашумленных взаимозависимых (нелинейных) данных очень большой размерности числовой и не числовой природы, измеряемых в различных типах шкал (номинальных, порядковых и числовых) и в различных единицах измерения.

Таким образом, система «Эйдос» не предъявляет чрезмерно жестких практически невыполнимых требований к исходным данным, а обрабатывает те данные, которые реально есть, например подобные представленным в таблице 4.

В системе «Эйдос» есть 6 основных автоматизированных программных интерфейсов (API), обеспечивающих ввод в систему и интеллектуальную обработку числовых, текстовых и графических данных, представленных в виде таблиц и файлов. Возможна обработка и других видов данных (например, данных землетрясений, ЭЭГ, ЭКГ, аудио и видео), которые возможно представить в этих форматах (рисунок 4).

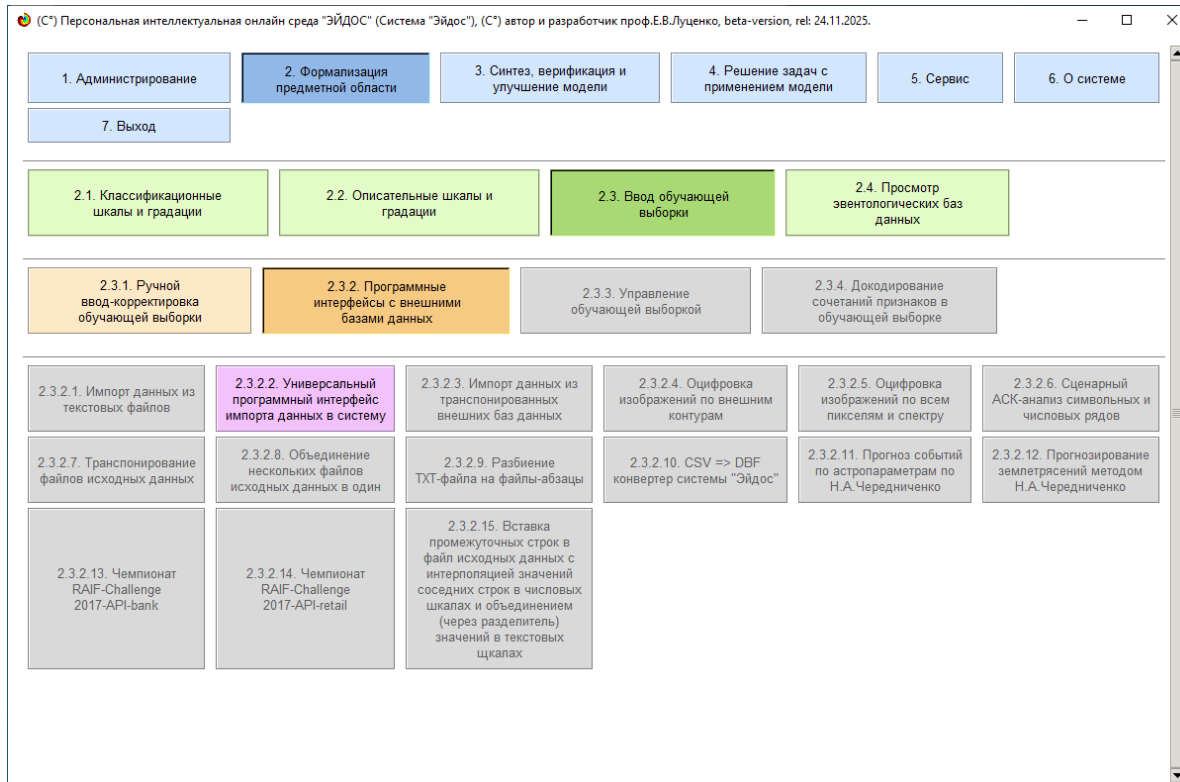


Рисунок 4. Автоматизированные программные интерфейсы (API) новой версии системы «Эйдос», написанной на Python

Для ввода исходных данных, представленных в таблице 4, в систему «Эйдос», используется один из ее автоматизированных программных интерфейсов (API), а именно универсальный автоматизированный программный интерфейс ввода данных из файлов MS Excel (API-2.3.2.2).

Требования API-2.3.2.2 к исходным данным подробно описаны в хелпах этого режима (рисунки 5):

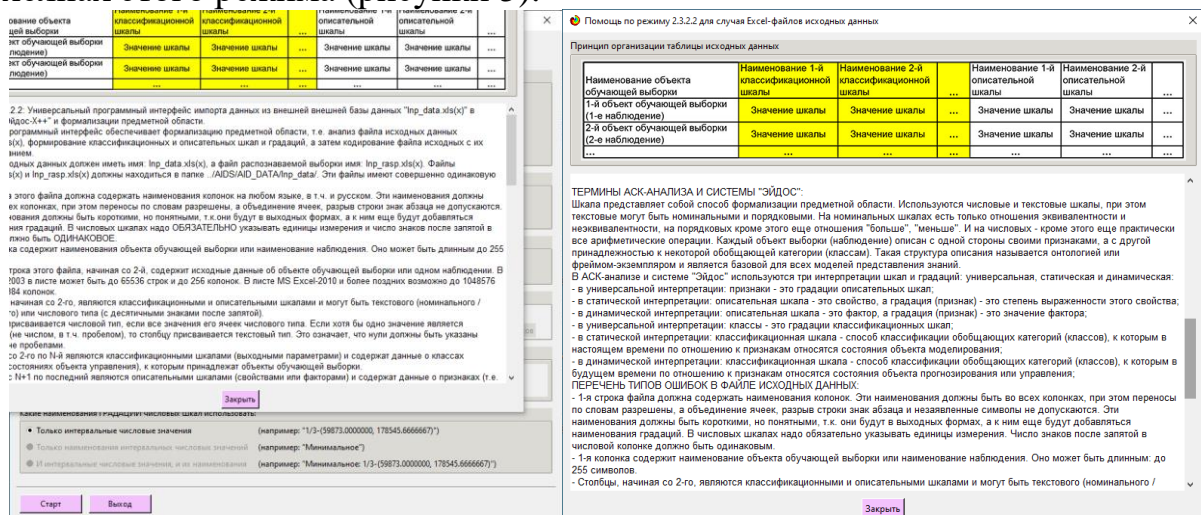


Рисунок 5. Хелпы API-2.3.2.2 системы «Эйдос»

Экранные формы управления API-2.3.2.2 системы «Эйдос» с *реальными параметрами*, использованными в данной работе, приведены на рисунках 6:

2.3.2.2. Универсальный программный интерфейс импорта данных в систему "ЭЙДОС-Х++"

Автоматическая формализация предметной области: генерация классификационных и описательных шкал и градаций, а также обучающей и распознаваемой выборки на основе базы исходных данных: "Inp_data"

Задайте тип файла исходных данных: "Inp_data":

XLS - MS Excel-2003 Стандарт XLS-файла

XLSX - MS Excel-2007(2010) Стандарт XLS-файла

DBF - DBASE IV (DBF/NTX) Стандарт DBF-файла

CSV => DBF конвертер Стандарт CSV-файла

Задайте параметры:

Нули и пробелы считать ОТСУТСТВИЕМ данных

Нули и пробелы считать ЗНАЧЕНИЯМИ данных

Создавать БД средних по классам "Inp_davr.dbf"?

Требования к файлу исходных данных

Задайте диапазон столбцов классификационных шкал:

Начальный столбец:

Конечный столбец:

Задайте диапазон столбцов описательных шкал:

Начальный столбец:

Конечный столбец:

Задайте режим:

Формализации предметной области (на основе "Inp_data")

Генерации распознаваемой выборки (на основе "Inp_gasp")

Задайте способ выбора размера интервалов:

Равные интервалы с разным числом наблюдений

Разные интервалы с равным числом наблюдений

Задание параметров формирования сценариев или способа интерпретации текстовых полей "Inp_data":

Не применять сценарный метод АСК-анализа

Применить сценарный метод АСК-анализа

Применить спец.интерпретацию текстовых полей классов

Применить спец.интерпретацию текстовых полей признаков

Параметры интерпретации значений текстовых полей "Inp_data":

Интерпретация TXT-полей классов:
Значения полей текстовых классификационных шкал файла исходных данных "Inp_data" рассматриваются как целое

Интерпретация TXT-полей признаков:
Значения полей текстовых описательных шкал файла исходных данных "Inp_data" рассматриваются как целое

Какие наименования ГРАДАЦИЙ числовых шкал использовать:

Только интервальные числовые значения (например: "1/3-(59873.0000000, 178545.6666667)")

Только наименования интервальных числовых значений (например: "Минимальное")

И интервальные числовые значения, и их наименования (например: "Минимальное: 1/3-(59873.0000000, 178545.6666667)")

Старт **Выход**

2.3.2.2. Параметры классификационных и описательных шкал и градаций

ЗАДАНИЕ В ДИАЛОГЕ РАЗМЕРНОСТИ МОДЕЛИ: (Равное число событий в интервалах)

Количество градаций классификационных и описательных шкал в модели, т.е.: [3 классов x 39 признаков]

Тип	Количество	Суммарное количество	Среднее количество	Количество	Суммарное	Среднее
Числовые	0	0	0.00	12	36	3.00
Текстовые	1	3	3.00	1	3	3.00
ВСЕГО:	1	3	3.00	13	39	3.00

Задайте количество числовых диапазонов (интервалов, градаций) в шкале: В классификационных шкал: В описательных шкал:

ПАРАМЕТРЫ КЛАССИФИКАЦИОННЫХ И ОПИСАТЕЛЬНЫХ ШКАЛ И ГРАДАЦИЙ

ПАРАМЕТРЫ ШКАЛ И ГРАДАЦИЙ С АДАПТИВНЫМИ ГРАНИЦАМИ И ПРИМЕРНО РАВНЫМ КОЛИЧЕСТВОМ НАБЛЮДЕНИЙ ПО ГРАДАЦИЯМ с коррекцией ошибки округления числа наблюдений по интервалу градации при переходе к следующей градации

КЛАССИФИКАЦИОННАЯ ШКАЛА: код: [1], наим.: "RISK_LEVEL", тип/число градаций в шкале: "Равное число событий в интервалах"/3

1 Наим.градации: 1/3-High, факт.число наблюдений на градации: 19

2 Наим.градации: 2/3-Low, факт.число наблюдений на градации: 747

3 Наим.градации: 3/3-Medium, факт.число наблюдений на градации: 233

ОПИСАТЕЛЬНАЯ ШКАЛА: код: [1], наим.: "AGE", набл.на шкалу (всего):999, тип шкалы/число градаций в шкале: "Равное число событий в интервалах"/3

4 Наим.градации: 1/3-(17.0000000, 21.0000000), размер интервала= 4.0000000, расч./факт.число наблюдений на градации: 333/333

5 Наим.градации: 2/3-(21.0000000, 25.0000000), размер интервала= 4.0000000, расч./факт.число наблюдений на градации: 333/333

6 Наим.градации: 3/3-(25.0000000, 29.0000000), размер интервала= 4.0000000, расч./факт.число наблюдений на градации: 333/333

ОПИСАТЕЛЬНАЯ ШКАЛА: код: [2], наим.: "GENDER", тип шкалы/число градаций в шкале: "Равное число событий в интервалах"/3

7 Наим.градации: 1/3-Female, факт.число наблюдений на градации: 481

8 Наим.градации: 2/3-Male, факт.число наблюдений на градации: 475

9 Наим.градации: 3/3-Other, факт.число наблюдений на градации: 43

ОПИСАТЕЛЬНАЯ ШКАЛА: код: [3], наим.: "ACADEMIC_YEAR", набл.на шкалу (всего):999, тип шкалы/число градаций в шкале: "Равное число событий в интервалах"/3

10 Наим.градации: 1/3-(1.0000000, 2.0000000), размер интервала= 1.0000000, расч./факт.число наблюдений на градации: 333/333

11 Наим.градации: 2/3-(2.0000000, 3.0000000), размер интервала= 1.0000000, расч./факт.число наблюдений на градации: 333/333

12 Наим.градации: 3/3-(3.0000000, 4.0000000), размер интервала= 1.0000000, расч./факт.число наблюдений на градации: 333/333

Пересчитать шкалы и градации **Записать TXT** **Выйти на создание модели**

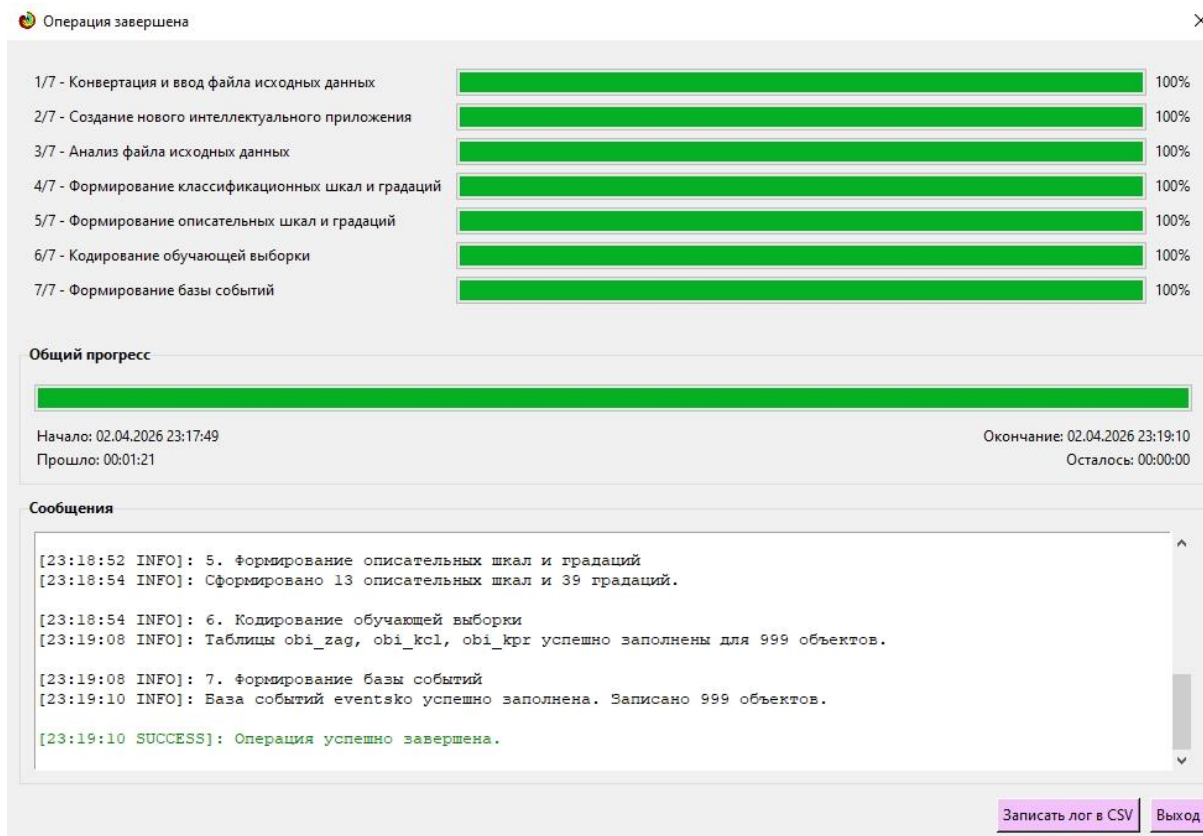


Рисунок 6. Экранные формы управления API-2.3.2.2 системы «Эйдос»

В таблицах 5, 6, 7 приведены классификационные и описательные шкалы и градации, а также обучающая выборка, сформированные API-2.3.2.2 при параметрах, показанных на рисунках 6.

Отметим, что суммарное количество градаций на 2-м рисунке 6 и в таблице 6 может не совпадать, если в некоторых описательных шкалах есть градации «Пробел» или нули, которые в соответствии с параметрами на 1-м рисунке 6 рассматриваются не как значащие, а как **отсутствие данных**.

Под несбалансированностью данных понимается неравномерность распределения значений свойств объекта моделирования или действующих на него факторов по диапазону изменения значений числовых шкал и между шкалами, как числовыми, так и текстовыми. Математическая модель АСК-анализа позволяет корректно преодолеть несбалансированность данных путем перехода от абсолютных частот к относительным и к количественным мерам знаний в системно-когнитивных моделях (мы увидим это ниже).

Таблица 5 – Классификационные шкалы и градации (полностью)

2.1. Классификационные шкалы и градации [Приложение: Приложение, созданное в API-2.3.2.2-20260402-231750]

Код	Наименование классификационной шкалы	Код	Наименование градации классификационной шкалы
1	risk_level	1	High
		2	Low
		3	Medium

Помощь Доб. шкалу Доб. град. шкалы Копир. шкалу Копир. град. шкалы Копир. шкалу с град. Удал. шкалу с град. Удал. град. шкалы Удаление и перекодирование Справочник классов Графики будущих сценариев Выход

Источник: c:\Aidos-X\AID_DATA\A0000001\System\Classes.xlsx

Таблица 6 – Описательные шкалы и градации (полностью)

2.2. Описательные шкалы и градации [Приложение: Приложение, созданное в API-2.3.2.2-20260402-231750]

Код	Наименование описательной шкалы	Код	Наименование градации описательной шкалы
1	age	1	1/3-{17.0000000, 21.0000000}
2	gender	2	2/3-{21.0000000, 25.0000000}
3	academic_year	3	3/3-{25.0000000, 29.0000000}
4	study_hours_per_day		
5	exam_pressure		
6	academic_performance		
7	sleep_hours		
8	physical_activity		
9	social_support		
10	screen_time		
11	internet_usage		
12	financial_stress		
13	family_expectation		

Помощь Доб. шкалу Доб. град. шкалы Копир. шкалу Копир. град. шкалы Копир. шкалу с град. Удал. шкалу с град. Удал. град. шкалы Перекодировать Очистить Справочник признаков Графики прошлых сценариев Выход

Источник: c:\Aidos-X\AID_DATA\A0000001\System\Attributes.xlsx

**Таблица 7 – Обучающая выборка
(фрагмент)**

2.3.1. Ручной ввод-корректировка обучающей выборки [Приложение: Приложение, созданное в API-2.3.2.2-20260402-231750]

Код объекта	Наименование объекта обучающей выборки	Дата	Время
1	23	02.04.2026	23:17:50
2	20	02.04.2026	23:17:50
3	29	02.04.2026	23:17:50
4	27	02.04.2026	23:17:50
5	24	02.04.2026	23:17:50
6	29	02.04.2026	23:17:50
7	21	02.04.2026	23:17:50
8	23	02.04.2026	23:17:50
9	26	02.04.2026	23:17:50
10	19	02.04.2026	23:17:50
11	23	02.04.2026	23:17:50
12	27	02.04.2026	23:17:50

Коды классов (градаций классификационных шкал)				Коды признаков (градаций описательных шкал)						
2	0	0	0	2	5	7	11	14	16	20
				23	27	29	32	34	37	0

Шкала: Градация:

Шкала: Градация:

Помощь | Скопировать обуч. выб в расп. | Добавить объект | Добавить классы | Добавить признаки | Удалить объект | Удалить классы | Удалить признаки | Очистить БД | Выход

Источник: c:\Aidos-X\AID_DATA\A0000001\System\EventsKO.xlsx

Отметим, что в системе «Эйдос» обычно используются базы данных с расширением «dbf». Они открываются в MS Excel или могут быть конвертированы в файлы xlsx с помощью онлайн-сервисов или в режиме 5.12 (этот режим системы «Эйдос» написан на Питоне).

3.3. Задача-3. Синтез статистических и системно-когнитивных моделей. Многопараметрическая типизация и частные критерии знаний

3.3.1. Универсальная постановка задачи, не зависящая от предметной области

Математические модели, на основе которых рассчитываются статистические и системно-когнитивные модели автоматизированного системно-когнитивного анализа (АСК-анализ) и интеллектуальной системы «Эйдос», подробно описаны в ряде монографий и статей автора [1-4]. Поэтому в данной работе мы рассмотрим эти вопросы очень кратко,

акцентируя внимание лишь на математической взаимосвязи коэффициента возврата инвестиций (ROI) с мерой χ -квадрат Карла Пирсона и с семантической мерой целесообразности информации Александра Харкевича.

Отметим, что модели системы «Эйдос» основаны на матрице абсолютных частот, отражающей число встреч градаций описательных шкал по градациям классификационных шкал (фактов). Но для решения всех задач используется не непосредственно сама эта матрица, а матрицы условных и безусловных процентных распределений и системно-когнитивные модели, которые рассчитываются на ее основе и отражают какое количество информации содержится в факте наблюдения определенной градации описательной шкалы о том, что объект моделирования перейдет в состояние, соответствующее определенной градации классификационной шкалы (классу).

Математическая модель АСК-анализа и системы «Эйдос» основана на системной нечеткой интервальной математике [1-7] и обеспечивает сопоставимую обработку больших объемов фрагментированных и зашумленных взаимозависимых (нелинейных) данных, представленных в различных типах шкал (дихотомических, номинальных, порядковых и числовых) и различных единицах измерения.

Суть математической модели АСК-анализа состоит в следующем.

Непосредственно на основе эмпирических данных рассчитывается матрица абсолютных частот (таблица 8):

Таблица 8 – Матрица абсолютных частот (статистическая модель ABS)

		Классы					Сумма
		1	...	j	...	W	
Значения факторов	1	N_{11}		N_{1j}		N_{1W}	
	...						
	i	N_{i1}		N_{ij}		N_{iW}	$N_{i\Sigma} = \sum_{j=1}^W N_{ij}$
	...						
	M	N_{M1}		N_{Mj}		N_{MW}	
Суммарное количество признаков по классу				$N_{\Sigma j} = \sum_{i=1}^M N_{ij}$			$N_{\Sigma\Sigma} = \sum_{i=1}^W \sum_{j=1}^M N_{ij}$

Суммарное количество объектов обучающей выборки по классу		$N_{\Sigma j}$		$N_{\Sigma\Sigma} = \sum_{j=1}^W N_{\Sigma j}$
---	--	----------------	--	--

На основе таблицы 8 рассчитываются матрицы условных и безусловных процентных распределений (таблица 9).

Таблица 9 – Матрица условных и безусловных процентных распределений (статистические модели PRC1 и PRC2)

		Классы					Безусловная вероятность признака
		1	...	j	...	w	
Значения факторов	1	P_{11}		P_{1j}		P_{1w}	
	...						
	i	P_{i1}		$P_{ij} = \frac{N_{ij}}{N_{\Sigma j}}$		P_{iw}	$P_{i\Sigma} = \frac{N_{i\Sigma}}{N_{\Sigma\Sigma}}$
	...						
	M	P_{M1}		P_{Mj}		P_{Mw}	
Безусловная вероятность класса				$P_{\Sigma j}$			

Отметим, что в АСК-анализе и его программном инструментарии интеллектуальной системе «Эйдос» используется два способа расчета матриц условных и безусловных процентных распределений:

1-й способ: в качестве $N_{\Sigma j}$ используется суммарное количество признаков по классу;

2-й способ: в качестве $N_{\Sigma j}$ используется суммарное количество объектов обучающей выборки по классу.

На практике часто встречается существенная **несбалансированность** данных, под которой понимается сильно отличающееся количество наблюдений объектов обучающейся выборки, относящихся к различным градациям одной классификационной или описательной шкалы. Поэтому решать задачу на основе непосредственно матрицы абсолютных частот (таблица 8) было бы очень неразумно (за исключением меры взаимосвязи хи-квадрат) и переход от абсолютных частот к условным и безусловным

относительным частотам (частостям) (таблица 9) является весьма обоснованным и логичным.

Этот переход полностью снимает проблему *несбалансированности* данных, т.к. в последующем анализе используется не матрица абсолютных частот (таблица 8), а матрицы условных и безусловных процентных распределений (таблица 9), а также матрицы системно-когнитивных моделей, рассчитываемые на основе матрица абсолютных частот и матрицы условных и безусловных процентных распределений. Этот подход снимает также проблему обеспечения сопоставимости обработки в одной модели исходных данных, представленных в различных видах шкал (дихотомических, номинальных, порядковых и числовых) и в разных единицах измерения [8]. В системе «Эйдос» этот подход применяется всегда при решении любых задач.

Затем на основе таблиц 8 и 9 с использованием частных критериев, знаний приведенных таблице 10, рассчитываются матрицы 7 системно-когнитивных моделей (таблица 11).

Таблица 10– Различные аналитические формы частных критериев знаний, применяемые в АСК-анализе и системе «Эйдос»

Наименование модели знаний и частный критерий	Выражение для частного критерия	
	Через относительные частоты	Через абсолютные частоты
ABS , матрица абсолютных частот, N_{ij} - фактическое число встреч i -го признака у объектов j -го класса; \bar{N}_{ij} - теоретическое число встреч i -го признака у объектов j -го класса; N_i – суммарное количество признаков в i -й строке; N_j – суммарное количество признаков или объектов обучающей выборки в j -м классе; N – суммарное количество признаков по всей выборке (таблица 7)	N_{ij} – фактическая частота; $N_i = \sum_{j=1}^M N_{ij}; N_j = \sum_{i=1}^W N_{ij}; N = \sum_{i=1}^W \sum_{j=1}^M N_{ij};$ $\bar{N}_{ij} = \frac{N_i N_j}{N}$ – теоретическая частота.	
PRC1 , матрица условных P_{ij} и безусловных P_i процентных распределений, в качестве N_j используется суммарное количество признаков по классу	...	$P_{ij} = \frac{N_{ij}}{N_j}; P_i = \frac{N_i}{N}$
PRC2 , матрица условных P_{ij} и безусловных P_i процентных распределений, в качестве N_j используется суммарное количество объектов обучающей выборки по классу	...	$P_{ij} = \frac{N_{ij}}{N_j}; P_i = \frac{N_i}{N}$
INF1 , частный критерий: количество знаний по А.Харкевичу, 1-й вариант расчета вероятностей: N_j – суммарное количество признаков по j -му классу. Вероятность того, что если у объекта j -го класса обнаружен признак, то это i -й признак	$I_{ij} = \Psi \times \log_2 \frac{P_{ij}}{P_i}$	$I_{ij} = \Psi \times \log_2 \frac{N_{ij}}{\bar{N}_{ij}} = \Psi \times \log_2 \frac{N_{ij} N}{N_i N_j}$
INF2 , частный критерий: количество знаний по А.Харкевичу, 2-й вариант расчета вероятностей: N_j – суммарное количество объектов по j -му классу. Вероятность того, что если предъявлен объект j -го класса, то у него будет обнаружен i -й признак.		
INF3 , частный критерий: Хи-квадрат: разности между фактическими и теоретически ожидаемыми абсолютными частотами	...	$I_{ij} = N_{ij} - \bar{N}_{ij} = N_{ij} - \frac{N_i N_j}{N}$
INF4 , частный критерий: ROI - Return On Investment, 1-й вариант расчета вероятностей: N_j – суммарное количество признаков по j -му классу	$I_{ij} = \frac{P_{ij}}{P_i} - 1 = \frac{P_{ij} - P_i}{P_i}$	$I_{ij} = \frac{N_{ij}}{\bar{N}_{ij}} - 1 = \frac{N_{ij} N}{N_i N_j} - 1$
INF5 , частный критерий: ROI - Return On Investment, 2-й вариант расчета вероятностей: N_j – суммарное количество объектов по j -му		

классу		
INF6, частный критерий: разность условной и безусловной вероятностей, 1-й вариант расчета вероятностей: N_j – суммарное количество признаков по j -му классу	$I_{ij} = P_{ij} - P_i$	$I_{ij} = \frac{N_{ij}}{N_j} - \frac{N_i}{N} = \frac{N_{ij}N - N_iN_j}{N_jN}$
INF7, частный критерий: разность условной и безусловной вероятностей, 2-й вариант расчета вероятностей: N_j – суммарное количество объектов по j -му классу		

Обозначения к таблице:

i – значение прошлого параметра;

j – значение будущего параметра;

N_{ij} – количество встреч j -го значения будущего параметра при i -м значении прошлого параметра;

M – суммарное число значений всех прошлых параметров;

W – суммарное число значений всех будущих параметров.

N_i – количество встреч i -м значения прошлого параметра по всей выборке;

N_j – количество встреч j -го значения будущего параметра по всей выборке;

N – количество встреч j -го значения будущего параметра при i -м значении прошлого параметра по всей выборке.

I_{ij} – частный критерий знаний: количество знаний в факте наблюдения i -го значения прошлого параметра о том, что объект перейдет в состояние, соответствующее j -му значению будущего параметра;

Ψ – нормировочный коэффициент (Е.В.Луценко, 2002), преобразующий количество информации в формуле А.Харкевича в биты и обеспечивающий для нее соблюдение принципа соответствия с формулой Р.Хартли;

P_i – безусловная относительная частота встречи i -го значения прошлого параметра в обучающей выборке;

P_{ij} – условная относительная частота встречи i -го значения прошлого параметра при j -м значении будущего параметра.

В таблице 10 приведены формулы:

– для сравнения фактических и теоретических абсолютных частот;

– для сравнения условных и безусловных относительных частот («вероятностей»).

И это **сравнение** в таблицах 8 и 9 осуществляется двумя возможными способами: путем **вычитания** и путем **деления**.

Таблица 11 – Матрица системно-когнитивной модели

		Классы					Значимость фактора
		1	...	j	...	W	
Значения факторов	1	I_{11}		I_{1j}		I_{1W}	$\sigma_{1\Sigma} = \sqrt{\frac{1}{W-1} \sum_{j=1}^W (I_{1j} - \bar{I}_1)^2}$
	...						
	i	I_{i1}		I_{ij}		I_{iW}	$\sigma_{i\Sigma} = \sqrt{\frac{1}{W-1} \sum_{j=1}^W (I_{ij} - \bar{I}_i)^2}$
...							
M	I_{M1}		I_{Mj}		I_{MW}	$\sigma_{M\Sigma} = \sqrt{\frac{1}{W-1} \sum_{j=1}^W (I_{Mj} - \bar{I}_M)^2}$	
Степень редукции класса	$\sigma_{\Sigma 1}$		$\sigma_{\Sigma j}$		$\sigma_{\Sigma W}$	$H = \sqrt{\frac{1}{(W \cdot M - 1)} \sum_{j=1}^W \sum_{i=1}^M (I_{ij} - \bar{I})^2}$	

Количество частных критериев знаний и основанных на них системно-когнитивных моделей (таблица 10), применяемых в настоящее время в системе «Эйдос» равно 7 определяется тем, что они получаются путем всех возможных вариантов сравнения фактических и теоретических абсолютных частот, условных и безусловных относительных частот путем вычитания и путем деления, и при этом N_j рассматривается как суммарное количество или признаков, или объектов обучающей выборки в j -м классе, а **нормировка к нулю** (для аддитивных интегральных критериев), если нет связи между наличием признака и принадлежностью объекта к классу, осуществляется либо логарифмированием, либо вычитанием единицы (таблица 12).

Таблица 12– Конфигуратор системно-когнитивных моделей АСК-анализа и интеллектуальной системы «Эйдос»

	Способ сравнения	Нормировка не требуется	Нормировка к 0 путем взятия логарифма	Нормировка к 0 путем вычитания 1
Сравнение фактических и теоретических абсолютных частот	Путем деления	---	INF1, INF2, Александра Харкевича	INF4, INF5, Коэффициент возврата инвестиций ROI
	Путем вычитания	INF3, χ^2 -квадрат Карла Пирсона	---	---
Сравнение условных и безусловных относительных частот	Путем деления	---	INF1, INF2, Александра Харкевича	INF4, INF5, Коэффициент возврата инвестиций ROI
	Путем вычитания	INF6, INF7	---	---

Обратим особое внимание на то, что сравнение фактических и теоретических абсолютных частот путем деления приводит при нормировках к нулю (что нужно для применения аддитивных интегральных критериев) путем взятия логарифма и путем вычитания 1 к **тем же самым** моделям, что и сравнение условных и безусловных относительных частот путем деления с теми же самыми способами нормировки. Таким образом, если на основе матрицы абсолютных частот рассчитать матрицы условных и безусловных процентных распределений, а затем сравнить фактические абсолютные частоты с теоретическими путем вычитания и деления, а также сравнить условные и безусловные относительные частоты также путем вычитания и деления и провести нормировку к 0 путем взятия логарифма и путем вычитания 1, то получается 3 статистических модели: матрица абсолютных частот и две матрицы относительных частот, т.е. условных и безусловных процентных распределений, а также всего 7 системно-когнитивных моделей. Других же системно-когнитивных моделей, рассчитываемых на основе приведенных статистических моделей просто нет. Это и есть конфигуратор статистических и когнитивных моделей в смысле В.А.Лефевра. **Под**

конфигуратором В.А.Лефевр понимал минимальный полный набор понятийных шкал или конструктов, т.е. понятий, достаточный для адекватного описания предметной области [4]⁹. Необходимо отметить, что все эти модели рассчитываются в интеллектуальной системе «Эйдос».

Когда мы сравниваем фактические и теоретические абсолютные частоты путем вычитания у нас получается частный критерий знаний: «хи-квадрат» (СК-модель INF3), когда же мы сравниваем их путем деления, то у нас получается частный критерий: «количество информации по А.Харкевичу» (СК-модели INF1, INF2) или «коэффициент возврата инвестиций ROI» - Return On Investment (СК-модели INF4, INF5) в зависимости от способа нормировки.

Когда же мы сравниваем условные и безусловные относительные частоты путем вычитания у нас получается частный критерий знаний: «коэффициент взаимосвязи» (СК-модели INF6, INF7), когда же мы сравниваем их путем деления, то у нас получается частный критерий: «количество информации по А.Харкевичу» (СК-модели INF1, INF2).

Таким образом, мы видим, что все частные критерии знаний тесно взаимосвязаны друг с другом. Особенно интересна связь знаменитого критерия хи-квадрат К.Пирсона с замечательной мерой количества информации А.Харкевича и с известным в экономике коэффициентом ROI.

Вероятность рассматривается как предел, к которому стремится относительная частота (отношение количества благоприятных исходов к числу испытаний) при неограниченном увеличении количества испытаний. Ясно, что вероятность – это математическая абстракция, которая никогда не встречается на практике (также как и другие математические и физические абстракции, типа математической точки, материальной точки, бесконечно малой и т.п.). На практике встречается только относительная частота. Но она может быть весьма близкой к вероятности. Например, при 480 наблюдений различие между относительной частотой и вероятностью (погрешность) составляет около 5%, при 1250 наблюдениях – около 2.5%, при 10000 наблюдениях – 1%.

Суть этих методов в том, что вычисляется количество информации в значении фактора о том, что объект моделирования перейдет под его действием в определенное состояние, соответствующее классу. Это позволяет сопоставимо и корректно обрабатывать разнородную информацию о наблюдениях объекта моделирования, представленную в различных типах измерительных шкал и различных единицах измерения [8].

На основе системно-когнитивных моделей, представленных в таблице 11 (отличаются частыми критериями, приведенными в таблице 10), решаются задачи идентификации (классификации, распознавания,

⁹ См. 1.2.1.2.1.1. Определение понятия конфигулятора, http://lc.kubagro.ru/aidos/aidos06_lec/index.htm

диагностики, прогнозирования), поддержки принятия решений (обратная задача прогнозирования), а также задача исследования моделируемой предметной области путем исследования ее системно-когнитивной модели.

Отметим, что как значимость значения фактора, степень детерминированности класса и ценность или качество модели в АСК-анализе рассматривается вариабельность значений частных критериев этого значения фактора, класса или модели в целом (таблица 13).

Таблица 13 – Уточнение терминологии АСК-анализа

№	Традиционные термины (синонимы)	Новый термин	Формула
1	1. Значимость значения фактора (признака). 2. Дифференцирующая мощность значения фактора (признака). 3. Ценность значения фактора (признака) для решения задачи идентификации и других задач	Корень из информационной мощности значения фактора	$\sigma_{i\Sigma} = \sqrt[2]{\frac{1}{W-1} \sum_{j=1}^W (I_{ij} - \bar{I}_i)^2}$
2	1. Степень детерминированности класса. 2. Степень обусловленности класса.	Корень из информационной мощности класса	$\sigma_{\Sigma j} = \sqrt[2]{\frac{1}{M-1} \sum_{i=1}^M (I_{ij} - \bar{I}_j)^2}$
3	1. Качество модели. 2. Ценность модели. 3. Степень сформированности модели. 4. Количественная мера степени выраженности закономерностей в моделируемой предметной области	Корень из информационной мощности модели	$H = \sqrt[2]{\frac{1}{(W \cdot M - 1)} \sum_{j=1}^W \sum_{i=1}^M (I_{ij} - \bar{I})^2}$

Численно эта вариабельность может измеряться разными способами, например средним отклонением модулей частных критериев от среднего, дисперсией или среднеквадратичным отклонением или его квадратом. В системе «Эйдос» принят последний вариант, т.к. эта величина совпадает с мощностью сигнала, в частности мощностью информации, а в АСК-анализе все модели рассматриваются как источник информации об объекте моделирования. Поэтому есть все основания уточнить традиционную терминологию АСК-анализа (таблица 13):

Итак, в разделе раскрывается простая Математическая взаимосвязь меры χ -квадрат Карла Пирсона с коэффициентом возврата инвестиций (ROI) и с семантической мерой целесообразности информации Александра Харкевича. Эта взаимосвязь обнаруживается, если на основе матрицы абсолютных частот рассчитать матрицы условных и безусловных процентных распределений, а затем сравнить фактические абсолютные частоты с теоретическими путем вычитания и деления, а также сравнить условные и безусловные относительные частоты также путем вычитания и деления и выполнить нормировку к нулю путем взятия логарифма или

вычитания 1. При этом получается 3 статистических модели: матрица абсолютных частот и две матрицы относительных частот, т.е. условных и безусловных процентных распределений, а также всего 7 системно-когнитивных моделей. Именно 7, а не большее количество системно-когнитивных моделей в итоге получается потому, что модели, получающиеся в результате сравнения фактических и теоретических абсолютных частот путем деления и нормировки к нулю путем взятия логарифма или вычитания 1 **тождественно совпадают** с моделями, получающимися путем сравнения условных и безусловных относительных частот путем деления и нормировки к нулю путем взятия логарифма или вычитания 1. Это и есть конфигурактор статистических и когнитивных моделей в смысле В.А.Лефевра, содержащий минимальное количество моделей, позволяющих полно описать моделируемую предметную область.

Показательно, примечательно и весьма замечательно, что *модель меры χ -квадрат Карла Пирсона из статистики оказалась математически тесно связанной с коэффициентом возврата инвестиций (ROI), применяемой в экономике в теории управления портфелем инвестиций и с мерой информации Александра Харкевича из семантической теории информации и теории управления знаниями. Все эти модели рассчитываются в интеллектуальной системе «Эйдос».*

3.3.2. Конкретное решение задачи в данной работе

В системе «Эйдос» синтез моделей производится в режиме 3.5 (рисунок 7):

3.5. Синтез и верификация моделей

Задайте базовые модели для синтеза и верификации

Базовые статистические модели:

1. ABS - частный критерий: количество встреч сочетаний: "класс-признак" у объектов обуч.выборки

Задайте источник данных для расчета модели ABS:

Обучающая выборка Abs Prc1 Prc2 Inf1 Inf2
 Inf3 Inf4 Inf5 Inf6 Inf7

Задайте значение фона в матрице абсолютных частот: [Помощь](#)

2. PRC1 - частный критерий: усл. вероятность i-го признака среди признаков объектов j-го класса
 3. PRC2 - частный критерий: условная вероятность i-го признака у объектов j-го класса

Базовые системно-когнитивные модели (базы знаний):

4. INF1 - частный критерий: количество знаний по А.Харкевичу; вероятности из PRC1
 5. INF2 - частный критерий: количество знаний по А.ХАРКЕВИЧУ; вероятности из PRC2
 6. INF3 - частный критерий: Хи-квадрат; разности между фактическими и ожидаемыми абс.частотами
 7. INF4 - частный критерий: ROI (Return On Investment); вероятности из PRC1
 8. INF5 - частный критерий: ROI (Return On Investment); вероятности из PRC2
 9. INF6 - частный критерий: разн.усли безусл.вероятностей; вероятности из PRC1
 10. INF7 - частный критерий: разн.усли безусл.вероятностей; вероятности из PRC2

Какие модели создавать?

Создавать только базовые модели
 Создавать модели 2-го уровня
 Создавать модели 3-го уровня

[Помощь](#)

Базовые модели - это модели: Prc1,Prc2,Inf1,Inf2,Inf3, Inf4,Inf5,Inf6,Inf7 полученные расчетным путем по формулам, приведенным в хелпе режима 5.5 на основе модели Abs.

Модель Abs называется матрицей абсолютных частот и содержит абсолютное количество встреч сочетаний "признак x класс", посчитанное по всей выборке.

Модель Abs еще называют "матрицей сопряженности" или "корреляционной матрицей". Формы по достоверности моделей формируются в режиме 3.4.

Параметры копирования обучающей выборки в распознаваемую (бутстрепный подход)

Какие объекты обуч.выборки копировать:

Копировать всю обучающую выборку
 Копировать только текущий объект
 Копировать каждый N-й объект
 Копировать N случайных объектов
 Копировать объекты от N1 до N2 (fastest) до
 Вообще не менять распознаваемую выборку

Удалять скопированные объекты:

Не удалять
 Удалять

[Пояснение по алгоритму верификации](#)
[Подробнее](#)

Выполнить:

Синтез и верификацию
 Только верификацию
 Только синтез

Задайте процессор: CPU GPU

Задайте алгоритм: Классика - дольше Упрощенно-быстрее

Использование только наиболее достоверных результатов распознавания: Rasp.dbf и целесообразность применения бутстрепного подхода

Расчетный размер БД результатов распознавания Rasp.dbf равен 14194 байт, т.е.: 0.0006610 % от MAX-возможного, (от 2ГБ)

УЧИТЫВАТЬ только наиболее достоверные результаты распознавания с МОДУЛЕМ инт.крит. "Резонанс знаний" выше %

[Помощь по синтезу моделей](#) [Помощь по верификации моделей](#)

[Старт](#) [Cancel](#)

3.5. Синтез и верификация моделей. Процесс завершен

Подготовительные шаги

1. Очистка предыдущих результатов верификации

2. Копирование обучающей выборки в распознаваемую

Стадия синтеза модели

№	Наименование модели	прогресс-бар	%	№	Стадия верификации модели	прогресс-бар	%
3	1. ABS - ЧАСТНЫЙ КРИТЕРИЙ: КОЛИЧЕСТВО ВСТРЕЧ СОЧЕТАНИЙ: "КЛАСС-ПРИЗНАК" У ОБЪЕКТОВ ОБУЧ	<input type="text" value="100%"/>	100%	13		<input type="text" value="100%"/>	100%
4	2. PRC1 - ЧАСТНЫЙ КРИТЕРИЙ: УСЛ.ВЕРОЯТНОСТЬ I-ГО ПРИЗНАКА СРЕДИ ПРИЗНАКОВ ОБЪЕКТОВ J-ГО КЛАССА	<input type="text" value="100%"/>	100%	14		<input type="text" value="100%"/>	100%
5	3. PRC2 - ЧАСТНЫЙ КРИТЕРИЙ: УСЛОВНАЯ ВЕРЯТНОСТЬ I-ГО ПРИЗНАКА У ОБЪЕКТОВ J-ГО КЛАССА	<input type="text" value="100%"/>	100%	15		<input type="text" value="100%"/>	100%
6	4. INF1 - ЧАСТНЫЙ КРИТЕРИЙ: КОЛИЧЕСТВО ЗНАНИЙ ПО А.ХАРКЕВИЧУ; ВЕРЯТНОСТИ ИЗ PRC1	<input type="text" value="100%"/>	100%	16		<input type="text" value="100%"/>	100%
7	5. INF2 - ЧАСТНЫЙ КРИТЕРИЙ: КОЛИЧЕСТВО ЗНАНИЙ ПО А.ХАРКЕВИЧУ; ВЕРЯТНОСТИ ИЗ PRC2	<input type="text" value="100%"/>	100%	17		<input type="text" value="100%"/>	100%
8	6. INF3 - ЧАСТНЫЙ КРИТЕРИЙ: ХИ-КВАДРАТ; РАЗНОСТИ МЕЖДУ ФАКТИЧЕСКИМИ И ОЖИДАЕМЫМИ АБС.ЧАСТОТАМИ	<input type="text" value="100%"/>	100%	18		<input type="text" value="100%"/>	100%
9	7. INF4 - ЧАСТНЫЙ КРИТЕРИЙ: ROI (RETURN ON INVESTMENT); ВЕРЯТНОСТИ ИЗ PRC1	<input type="text" value="100%"/>	100%	19		<input type="text" value="100%"/>	100%
10	8. INF5 - ЧАСТНЫЙ КРИТЕРИЙ: ROI (RETURN ON INVESTMENT); ВЕРЯТНОСТИ ИЗ PRC2	<input type="text" value="100%"/>	100%	20		<input type="text" value="100%"/>	100%
11	9. INF6 - ЧАСТНЫЙ КРИТЕРИЙ: РАЗН.УСЛИ БЕЗУСЛ.ВЕРЯТНОСТЕЙ; ВЕРЯТНОСТИ ИЗ PRC1	<input type="text" value="100%"/>	100%	21		<input type="text" value="100%"/>	100%
12	10. INF7 - ЧАСТНЫЙ КРИТЕРИЙ: РАЗН.УСЛИ БЕЗУСЛ.ВЕРЯТНОСТЕЙ; ВЕРЯТНОСТИ ИЗ PRC2	<input type="text" value="100%"/>	100%	22		<input type="text" value="100%"/>	100%

Общий прогресс

Начало: 02.03.2026 18:02:52 Окончание: 02.03.2026 18:03:25
 Прошло: 00:00:32 Осталось: 00:00:00

Сообщения

```
[18:03:23 INFO]: ШАГ 7: Измерение достоверности модели 'INF7'...
[18:03:23 INFO]: Расчет агрегированных метрик для модели 'INF7'...
[18:03:24 SUCCESS]: Агрегированные метрики для модели 'INF7' сохранены.
[18:03:24 INFO]: Накопление статистики DostRasp для модели 'INF7'...
[18:03:24 INFO]: Расчет метрик YesModClsIt для модели 'INF7' (пропущено).

[18:03:24 INFO]: финальная обработка и сортировка таблиц dost_models...
[18:03:24 SUCCESS]: Таблица dost_models финализирована и отсортирована.

[18:03:24 INFO]: ШАГ 8: формирование итоговой БД DostRasp...
[18:03:24 INFO]: формирование итоговой таблиц DostRasp...
[18:03:25 SUCCESS]: Таблица DostRasp успешно создана.

[18:03:25 INFO]: ШАГ 10: Создание форм 'Достоверность идент. классов'...
[18:03:25 INFO]: Создание форм 'Достоверность идент. классов' (пропущено).

[18:03:25 SUCCESS]: Операция успешно завершена.
```

[Сохранить лог](#) [Выход](#)

Рисунок 7. Экранные формы режима синтеза и верификации моделей

В результате работы режима 3.5 создано 3 статистических и 7 системно-когнитивных моделей, некоторые из которых приведены на рисунках 8-11:

5.5. Просмотр основных баз данных всех моделей

Задайте модель для просмотра: **Abs** Prc1 Prc2 Inf1 Inf2 Inf3 Inf4 Inf5 Inf6 Inf7 Количество знаков после запятой: 3 (макс: 17) **ОМОЦ**

Модель: "Abs"

Описательные шкалы и градации (признаки)

Код признака		1 - risk_level - High	2 - risk_level - Low	3 - risk_level - Medium	Сумма	Среднее	Средн. квадр. отклонение	Средний модуль отклонения от среднего
1	age - 1/3-{17.0000000, 21.0000000}	4.000	306.000	90.000	400.000	133.333	155.593	115.111
2	age - 2/3-{21.0000000, 25.0000000}	7.000	214.000	65.000	286.000	95.333	106.782	79.111
3	age - 3/3-{25.0000000, 29.0000000}	8.000	227.000	78.000	313.000	104.333	111.850	81.778
4	gender - Female	9.000	361.000	111.000	481.000	160.333	181.111	133.778
5	gender - Male	8.000	353.000	114.000	475.000	158.333	176.721	129.778
6	gender - Other	2.000	33.000	8.000	43.000	14.333	16.442	12.444
7	academic_year - 1/3-{1.0000000, 2.0000000}	10.000	362.000	126.000	498.000	166.000	179.377	130.667
8	academic_year - 2/3-{2.0000000, 3.0000000}	4.000	216.000	54.000	274.000	91.333	110.821	83.111
9	academic_year - 3/3-{3.0000000, 4.0000000}	5.000	169.000	53.000	227.000	75.667	84.317	62.222
10	study_hours_per_day - 1/3-{0.0316154, 4.3010886}	1.000	290.000	39.000	330.000	110.000	157.038	120.000
11	study_hours_per_day - 2/3-{4.3010886, 5.9653006}	8.000	243.000	80.000	331.000	110.333	120.401	88.444
12	study_hours_per_day - 3/3-{5.9653006, 11.5363859}	10.000	209.000	112.000	331.000	110.333	99.510	66.889
13	exam_pressure - 1/3-{1.9870814, 5.4009151}	1.000	304.000	28.000	333.000	111.000	167.687	128.667
14	exam_pressure - 2/3-{5.4009151, 6.6956572}	5.000	246.000	82.000	333.000	111.000	123.089	90.000
15	exam_pressure - 3/3-{6.6956572, 10.0000000}	13.000	197.000	123.000	333.000	111.000	92.585	65.333
16	academic_performance - 1/3-{52.6234400, 68.6112024}	7.000	252.000	74.000	333.000	111.000	126.621	94.000
17	academic_performance - 2/3-{68.6112024, 73.6726263}	5.000	249.000	79.000	333.000	111.000	125.108	92.000
18	academic_performance - 3/3-{73.6726263, 87.0875336}	7.000	246.000	80.000	333.000	111.000	122.479	90.000
19	sleep_hours - 1/3-{3.0000000, 5.7363845}	16.000	193.000	124.000	333.000	111.000	89.213	63.333
20	sleep_hours - 2/3-{5.7363845, 7.1098283}	3.000	246.000	84.000	333.000	111.000	123.730	90.000

Экспорт в CSV Экспорт всех моделей в MS Excel **Выход**

Рисунок 8. Статистическая модель «ABS», матрица абсолютных частот (фрагмент)

5.5. Просмотр основных баз данных всех моделей

Задайте модель для просмотра: Abs Prc1 Prc2 Inf1 Inf2 Inf3 Inf4 Inf5 Inf6 Inf7 Количество знаков после запятой: 3 (макс: 17) Омош

Модель: "Prc2"

Код признака	Описательные шкалы и градации (признаки)	Уровни риска			Безусловная вероятность	Среднее	Средн. квадр. отклонение	Средний модуль отклонения от среднего
		1 - risk_level - High	2 - risk_level - Low	3 - risk_level - Medium				
1	age - 1/3-{17.0000000, 21.0000000}	21.053	40.964	38.627	40.040	33.548	10.884	8.330
2	age - 2/3-{21.0000000, 25.0000000}	36.842	28.648	27.897	28.629	31.129	4.962	3.809
3	age - 3/3-{25.0000000, 29.0000000}	42.105	30.388	33.476	31.331	35.323	6.073	4.521
4	gender - Female	47.368	48.327	47.639	48.148	47.778	0.494	0.366
5	gender - Male	42.105	47.256	48.927	47.548	46.096	3.556	2.660
6	gender - Other	10.526	4.418	3.433	4.304	6.126	3.843	2.934
7	academic_year - 1/3-{1.0000000, 2.0000000}	52.632	48.461	54.077	49.850	51.723	2.916	2.175
8	academic_year - 2/3-{2.0000000, 3.0000000}	21.053	28.916	23.176	27.427	24.381	4.068	3.023
9	academic_year - 3/3-{3.0000000, 4.0000000}	26.316	22.624	22.747	22.723	23.895	2.097	1.614
10	study_hours_per_day - 1/3-{0.0316154, 4.3010886}	5.263	38.822	16.738	33.033	20.274	17.057	12.365
11	study_hours_per_day - 2/3-{4.3010886, 5.9653006}	42.105	32.530	34.335	33.133	36.323	5.088	3.855
12	study_hours_per_day - 3/3-{5.9653006, 11.5363859}	52.632	27.979	48.069	33.133	42.893	13.116	9.943
13	exam_pressure - 1/3-{1.9870814, 5.4009151}	5.263	40.696	12.017	33.333	19.325	18.813	14.247
14	exam_pressure - 2/3-{5.4009151, 6.6956572}	26.316	32.932	35.193	33.333	31.480	4.613	3.443
15	exam_pressure - 3/3-{6.6956572, 10.0000000}	68.421	26.372	52.790	33.333	49.194	21.254	15.215
16	academic_performance - 1/3-{52.6234400, 68.6112024}	36.842	33.735	31.760	33.333	34.112	2.562	1.820
17	academic_performance - 2/3-{68.6112024, 73.6726263}	26.316	33.333	33.906	33.333	31.185	4.226	3.246
18	academic_performance - 3/3-{73.6726263, 87.0875336}	36.842	32.932	34.335	33.333	34.703	1.981	1.426
19	sleep_hours - 1/3-{3.0000000, 5.7363845}	84.211	25.837	53.219	33.333	54.422	29.206	19.859
20	sleep_hours - 2/3-{5.7363845, 7.1098283}	15.789	32.932	36.052	33.333	28.258	10.910	8.312

Экспорт в CSV Экспорт всех моделей в MS Excel Выход

Рисунок 9. Статистическая модель «PRC2», матрица условных и безусловных процентных распределений (фрагмент)

5.5. Просмотр основных баз данных всех моделей

Задать модель для просмотра: Abs Prc1 Prc2 Inf1 Inf2 Inf3 Inf4 Inf5 Inf6 Inf7 Количество знаков после запятой: 3 (макс: 17) [Омоц](#)

Модель: "Inf1"

Код признака	Описательные шкалы и градации (признаки)	Описательные шкалы и градации (признаки)			Сумма	Среднее	Средн. квадр. отклонение	Средний модуль отклонения от среднего
		1 - risk_level - High	2 - risk_level - Low	3 - risk_level - Medium				
1	age - 1/3-{17.0000000, 21.0000000}	-0.108	0.004	-0.006	-0.110	-0.037	0.062	0.047
2	age - 2/3-{21.0000000, 25.0000000}	0.042	0.000	-0.004	0.038	0.013	0.026	0.020
3	age - 3/3-{25.0000000, 29.0000000}	0.049	-0.005	0.011	0.055	0.018	0.028	0.021
4	gender - Female	-0.003	0.001	-0.002	-0.004	-0.001	0.002	0.001
5	gender - Male	-0.020	-0.001	0.005	-0.017	-0.006	0.013	0.010
6	gender - Other	0.150	0.004	-0.038	0.116	0.039	0.098	0.074
7	academic_year - 1/3-{1.0000000, 2.0000000}	0.009	-0.005	0.014	0.018	0.006	0.009	0.007
8	academic_year - 2/3-{2.0000000, 3.0000000}	-0.044	0.009	-0.028	-0.064	-0.021	0.027	0.020
9	academic_year - 3/3-{3.0000000, 4.0000000}	0.025	-0.001	0.000	0.024	0.008	0.014	0.011
10	study_hours_per_day - 1/3-{0.0316154, 4.3010886}	-0.308	0.027	-0.114	-0.394	-0.131	0.168	0.117
11	study_hours_per_day - 2/3-{4.3010886, 5.9653006}	0.040	-0.003	0.006	0.043	0.014	0.023	0.017
12	study_hours_per_day - 3/3-{5.9653006, 11.5363859}	0.077	-0.028	0.062	0.111	0.037	0.057	0.044
13	exam_pressure - 1/3-{1.9870814, 5.4009151}	-0.309	0.033	-0.171	-0.447	-0.149	0.172	0.122
14	exam_pressure - 2/3-{5.4009151, 6.6956572}	-0.040	-0.002	0.009	-0.033	-0.011	0.025	0.019
15	exam_pressure - 3/3-{6.6956572, 10.0000000}	0.120	-0.039	0.077	0.158	0.053	0.082	0.061
16	academic_performance - 1/3-{52.6234400, 68.6112024}	0.017	0.002	-0.008	0.011	0.004	0.013	0.009
17	academic_performance - 2/3-{68.6112024, 73.6726263}	-0.040	0.000	0.003	-0.037	-0.012	0.024	0.018
18	academic_performance - 3/3-{73.6726263, 87.0875336}	0.017	-0.002	0.005	0.020	0.007	0.009	0.007
19	sleep_hours - 1/3-{3.0000000, 5.7363845}	0.155	-0.043	0.078	0.191	0.064	0.100	0.071
20	sleep_hours - 2/3-{5.7363845, 7.1098283}	-0.125	-0.002	0.013	-0.114	-0.038	0.076	0.058

Экспорт в CSV Экспорт всех моделей в MS Excel [Выход](#)

Рисунок 10. Системно-когнитивная модель «INF1», матрица информативностей (по А.Харкевичу) (фрагмент)

5.5. Просмотр основных баз данных всех моделей

Задайте модель для просмотра: Abs Prc1 Prc2 Inf1 Inf2 Inf3 Inf4 Inf5 Inf6 Inf7 Количество знаков после запятой: 3 (макс: 17) ОМОЦ

Модель: "Inf3"

Описательные шкалы и градации (признаки)

Код признака		1 - risk_level - High	2 - risk_level - Low	3 - risk_level - Medium	Сумма	Среднее	Средн. квадр. отклонение	Средний модуль отклонения от среднего
1	age - 1/3-{17.0000000, 21.0000000}	-3.610	6.967	-3.357	0.000	0.000	6.035	4.644
2	age - 2/3-{21.0000000, 25.0000000}	1.559	0.191	-1.750	0.000	0.000	1.663	1.167
3	age - 3/3-{25.0000000, 29.0000000}	2.045	-6.994	4.948	-0.000	-0.000	6.228	4.662
4	gender - Female	-0.151	1.412	-1.262	0.000	0.000	1.343	0.942
5	gender - Male	-1.036	-2.102	3.139	0.000	0.000	2.770	2.092
6	gender - Other	1.182	0.854	-2.036	-0.000	-0.000	1.771	1.357
7	academic_year - 1/3-{1.0000000, 2.0000000}	0.526	-10.296	9.770	-0.000	-0.000	10.044	6.864
8	academic_year - 2/3-{2.0000000, 3.0000000}	-1.213	11.162	-9.950	0.000	0.000	10.608	7.441
9	academic_year - 3/3-{3.0000000, 4.0000000}	0.682	-0.701	0.020	0.000	0.000	0.692	0.468
10	study_hours_per_day - 1/3-{0.0316154, 4.3010886}	-5.278	43.298	-38.020	-0.000	-0.000	40.915	28.865
11	study_hours_per_day - 2/3-{4.3010886, 5.9653006}	1.703	-4.450	2.747	-0.000	-0.000	3.889	2.967
12	study_hours_per_day - 3/3-{5.9653006, 11.5363859}	3.703	-38.450	34.747	-0.000	-0.000	36.739	25.633
13	exam_pressure - 1/3-{1.9870814, 5.4009151}	-5.335	55.055	-49.720	-0.000	-0.000	52.591	36.703
14	exam_pressure - 2/3-{5.4009151, 6.6956572}	-1.335	-2.945	4.280	-0.000	-0.000	3.793	2.854
15	exam_pressure - 3/3-{6.6956572, 10.0000000}	6.665	-51.945	45.280	-0.000	-0.000	48.954	34.630
16	academic_performance - 1/3-{52.6234400, 68.6112024}	0.665	3.055	-3.720	-0.000	-0.000	3.436	2.480
17	academic_performance - 2/3-{68.6112024, 73.6726263}	-1.335	0.055	1.280	-0.000	-0.000	1.308	0.890
18	academic_performance - 3/3-{73.6726263, 87.0875336}	0.665	-2.945	2.280	-0.000	-0.000	2.675	1.963
19	sleep_hours - 1/3-{3.0000000, 5.7363845}	9.665	-55.945	46.280	-0.000	-0.000	51.794	37.297
20	sleep_hours - 2/3-{5.7363845, 7.1098283}	-3.335	-2.945	6.280	-0.000	-0.000	5.442	4.187

Экспорт в CSV Экспорт всех моделей в MS Excel Выход

Рисунок 11 . Системно-когнитивная модель «INF3», матрица Хи-квадрат (по К.Пирсону) (фрагмент)

Полученные модели корректно использовать для решения задач только в том случае, если они достаточно достоверны (адекватны), т.е. верно отражают моделируемую предметную область. Поэтому в следующем разделе оценим достоверность созданных статистических и системно-когнитивных моделей.

3.3. Задача-4. Верификация моделей

3.4.1. Универсальная постановка задачи, не зависящая от предметной области

Оценка достоверности моделей в системе «Эйдос» осуществляется путем решения задачи классификации объектов обучающей выборки по обобщенным образам классов и подсчета количества истинных и ложных положительных и отрицательных решений по F-мере Ван Ризбергена, а также по критериям L1- L2-мерам проф. Е.В.Луценко, которые предложены для того, чтобы смягчить или полностью преодолеть некоторые недостатки F-меры [9].

Достоверность моделей можно оценивать и путем решения других задач, например задач прогнозирования, выработки управляющих решений, исследования объекта моделирования путем исследования его модели. Но это более трудоемко и даже всегда возможно, особенно на экономических и политических моделях.

В режиме 3.4 системы «Эйдос» и ряде других изучается достоверность каждой частной модели в соответствии с этими мерами достоверности.

3.4.2. Конкретное решение задачи в данной работе

В соответствии с критерием достоверности L1-мерой проф.Е.В.Луценко наиболее достоверной является СК-модель INF4 и INF5 с интегральным критерием: «Сумма знаний»: **L1=0.605** при максимуме 1 (рисунок 12). Для решения поставленных в работе задач будем использовать модель INF1.

3.4. Обобщ.форма по достов.моделей при разн.инт.крит.([Приложение: Приложение, созданное в API-2.3.2.2-20260402-231750])

№	Наименование модели и частного критерия	Интегральный критерий	Полнота модели	F-мера Ван Ризбергена	Сумма модулей сходства истинно-положит. решений (STP)	Сумма модулей сходства истинно-отрицат. решений (STN)
1	ABS - частный критерий: количество встреч сочетаний: "класс-признак" у объектов обуч.выборки	корреляция абс.частот с обр.объекта	0.884	0.580	254.972	163.432
2	ABS - частный критерий: количество встреч сочетаний: "класс-признак" у объектов обуч.выборки	сумма абс.частот по признакам объекта	1.000	0.500	745.640	0.000
3	PRC1 - частный критерий: усл. вероятность i-го признака среди признаков объектов j-го класса	корреляция усл.отн.частот с обр.объекта	0.884	0.585	254.972	163.432
4	PRC1 - частный критерий: усл. вероятность i-го признака среди признаков объектов j-го класса	сумма усл.отн.частот по признакам объекта	1.000	0.500	657.261	0.000
5	PRC2 - частный критерий: условная вероятность i-го признака у объектов j-го класса	корреляция усл.отн.частот с обр.объекта	0.884	0.584	254.972	163.432
6	PRC2 - частный критерий: условная вероятность i-го признака у объектов j-го класса	сумма усл.отн.частот по признакам объекта	1.000	0.500	657.095	0.000
7	INF1 - частный критерий: количество знаний по А.Харкевичу; вероятности из PRC1	семантический резонанс знаний	0.697	0.556	190.489	317.703
8	INF1 - частный критерий: количество знаний по А.Харкевичу; вероятности из PRC1	сумма знаний	0.619	0.605	30.649	297.528
9	INF2 - частный критерий: количество знаний по А.Харкевичу; вероятности из PRC2	семантический резонанс знаний	0.697	0.556	190.491	317.706
10	INF2 - частный критерий: количество знаний по А.Харкевичу; вероятности из PRC2	сумма знаний	0.617	0.604	30.698	296.982
11	INF3 - частный критерий: Хи-квадрат; разности между фактическими и ожидаемыми абс.частотами	семантический резонанс знаний	0.690	0.554	207.478	339.834
12	INF3 - частный критерий: Хи-квадрат; разности между фактическими и ожидаемыми абс.частотами	сумма знаний	0.690	0.554	205.411	226.147
13	INF4 - частный критерий: ROI (Return On Investment); вероятности из PRC1	семантический резонанс знаний	0.688	0.567	212.707	361.052
14	INF4 - частный критерий: ROI (Return On Investment); вероятности из PRC1	сумма знаний	0.699	0.543	65.640	172.030
15	INF5 - частный критерий: ROI (Return On Investment); вероятности из PRC2	семантический резонанс знаний	0.688	0.567	212.710	361.058
16	INF5 - частный критерий: ROI (Return On Investment); вероятности из PRC2	сумма знаний	0.698	0.543	65.693	171.295
17	INF6 - частный критерий: разн. усл. и безуслов. вероятностей; вероятности из PRC1	семантический резонанс знаний	0.690	0.555	207.903	339.039
18	INF6 - частный критерий: разн. усл. и безуслов. вероятностей; вероятности из PRC1	сумма знаний	0.690	0.539	66.403	178.808
19	INF7 - частный критерий: разн. усл. и безуслов. вероятностей; вероятности из PRC2	семантический резонанс знаний	0.689	0.554	207.871	338.987
20	INF7 - частный критерий: разн. усл. и безуслов. вероятностей; вероятности из PRC2	сумма знаний	0.686	0.536	66.464	178.040

Помощь по мерам | Помощь по распред. | TP,TN,FP,FN | (Т-Ф)/(Т+Ф)*100

Рисунок 12. Экранные формы режима измерения достоверности моделей 3.4

На рисунках 13 приведены частотные распределения количества истинных и ложных, положительных и отрицательных решений в наиболее достоверной по L1-мере проф.Е.В.Луценко [9] СК-модели INF1.

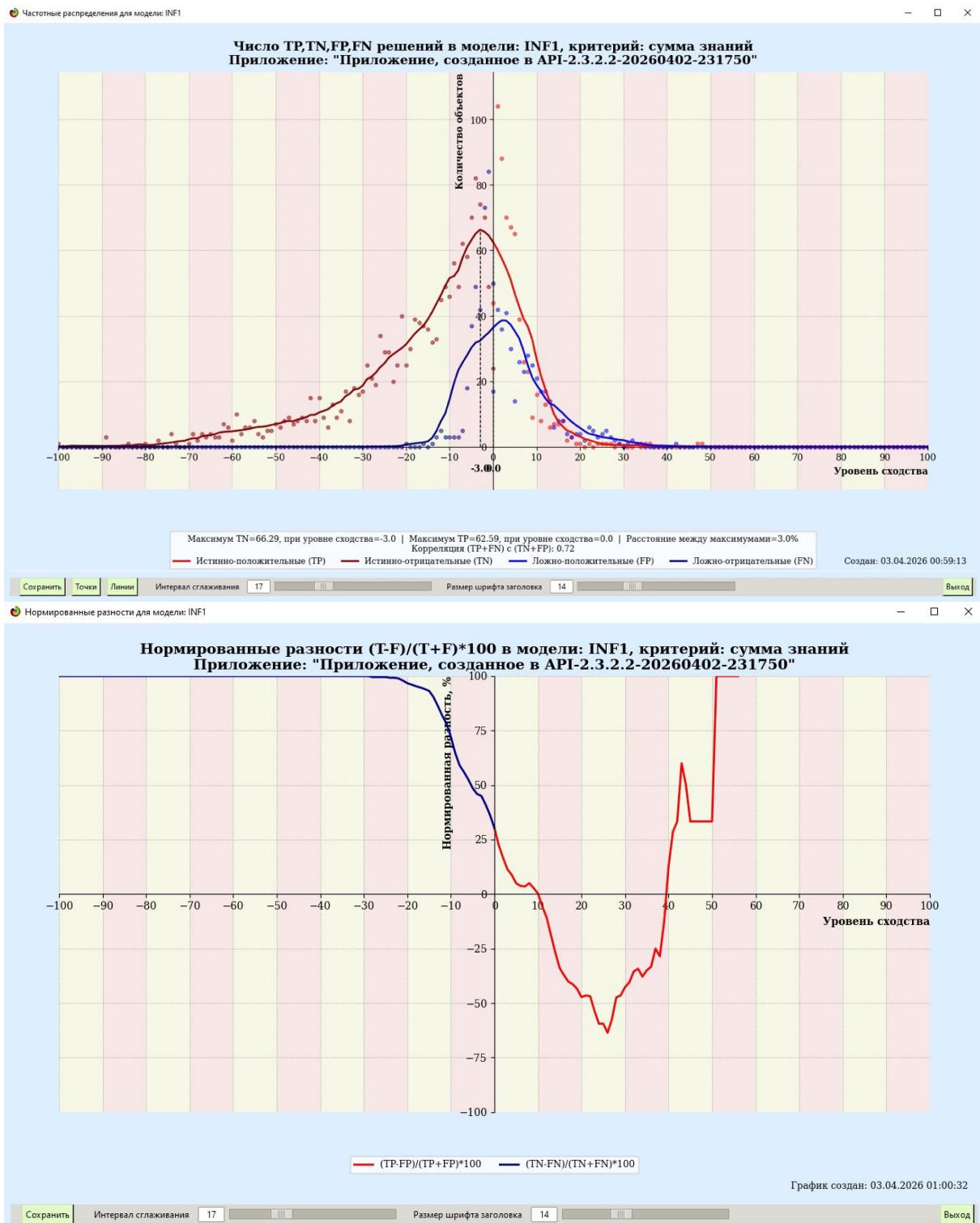


Рисунок 13. Частотные распределения количества истинных и ложных, положительных и отрицательных решений в наиболее достоверной по L1-мере проф.Е.В.Луценко СК-модели INF1 [9]

Из этих частотных распределений видно, что в наиболее достоверной по критерию достоверности L1-мерой проф.Е.В.Луценко СК-модели INF1:

– отрицательные ложные решения в данной задаче вообще не встречаются не встречаются, а в общем случае такие решения практически не встречаются за исключением очень небольшого количества случаев с очень низкими уровнями различия;

– при уровнях сходства меньше 30% в данной задаче преобладают ложные положительные решения, а при более высоких уровнях сходства – истинные положительные решения. В общем случае при уровнях сходства выше 60% ложных положительных решений практически вообще нет;

– **чем выше уровень сходства, тем больше доля истинных решений. Поэтому уровень сходства является адекватной внутренней мерой системы «Эйдос», так сказать адекватной мерой самооценки или аудита степени достоверности решений и уровня риска ошибочного решения.**

На рисунках 14 приведены экранные формы хелпов режима 3.4, в которых подробно объясняется смысл этого режима. Эти формы приводятся в данной работе вместо более детального описания данного режима.

Помощь по режиму 3.4: Виды прогнозов и меры достоверности моделей в системе "Эйдос-Х++"

Помощь по режиму 3.4: Виды прогнозов и меры достоверности моделей в системе "Эйдос-Х++".

Представим себе, что мы выбрасываем кубик с 6 гранями...
Тогда возможны следующие варианты прогнозов:

ПОЛОЖИТЕЛЬНЫЙ ПСЕВДОПРОГНОЗ.
Предположим, модель дает такой прогноз, что выпадет все: и 1, и 2, и 3, и 4, и 5, и 6. Понятно, что из всего этого выпадет лишь что-то одно. В этом случае модель не предскажет, что не выпадет, но зато она обязательно предскажет, что выпадет. Однако при этом очень много объектов будет отнесено к классам, к которым они не относятся.
Тогда вероятность истинно-положительных решений у модели будет 1/6, а вероятность ложно-положительных решений - 5/6. Ясно, что такой прогноз бесполезен, поэтому он и назван мной псевдопрогнозом.

ОТРИЦАТЕЛЬНЫЙ ПСЕВДОПРОГНОЗ.
Если же модель предсказывает, что ничего не выпадет, т.е. не выпадет ни 1, ни 2, ни 3, ни 4, ни 5, ни 6, но что-то из этого, естественно, обязательно выпадет. Конечно, модель не предсказала, что выпадет, зато она очень хорошо предсказала, что не выпадет. Вероятность истинно-отрицательных решений у модели будет 5/6, а вероятность ложно-отрицательных решений - 1/6. Такой прогноз гораздо достовернее, чем положительный псевдопрогноз, но тоже бесполезен.

ИДЕАЛЬНЫЙ ПРОГНОЗ.
Если в случае с кубиком мы прогнозируем, что выпадет, например 1, и соответственно прогнозируем, что не выпадет 2, 3, 4, 5, и 6, то это идеальный прогноз, имеющий, если он осуществляется, 100% достоверность идентификации и не идентификации. Идеальный прогноз, который полностью снимает неопределенность о будущем состоянии объекта прогнозирования, на практике удается получить крайне редко и обычно мы имеем дело с реальным прогнозом.

РЕАЛЬНЫЙ ПРОГНОЗ.
На практике мы чаще всего сталкиваемся именно с этим видом прогноза. Реальный прогноз уменьшает неопределенность о будущем состоянии объекта прогнозирования, но не полностью, как идеальный прогноз, а оставляет некоторую неопределенность не снятой.
Например, для игрального кубика дается такой прогноз: выпадет 1 или 2, и, соответственно, не выпадет 3, 4, 5 или 6. Понятно, что полностью на практике такой прогноз не может осуществиться, т.к. варианты выпадения кубика альтернативны: т.е. не может выпасть одновременно и 1, и 2. Поэтому у реального прогноза всегда будет определенная ошибка идентификации. Соответственно, если не осуществятся один или несколько из прогнозируемых вариантов, то возникнет и ошибка в идентификации, т.к. это не прогнозировалось моделью. Теперь представьте себе, что у Вас не 1 кубик и прогноз его поведения, а тысячи. Тогда можно посчитать средневзвешенные характеристики всех этих видов прогнозов.

Таким образом, если просуммировать число верно идентифицированных и не верно идентифицированных объектов и вычсть число ошибочно идентифицированных и не идентифицированных объектов, а затем разделить на число всех объектов то это и будет критерий качества модели (классификатора), учитывающий как ее способность верно относить объекты к классам, которым они относятся, так и ее способность верно не относить объекты к тем классам, к которым они не относятся. Этот критерий предложен и реализован в системе "Эйдос" проф. Е.В. Луценко в 1994 году. Эта мера достоверности модели предполагает два варианта нормировки: {-1, +1} и {0, 1};

$$L_1 = (TP + TN - FP - FN) / (TP + TN + FP + FN)$$
 (нормировка: {-1, +1})

$$L_2 = (1 + (TP + TN - FP - FN)) / (TP + TN + FP + FN)$$
 (нормировка: {0, 1})
 где количество: TP - истинно-положительных решений; TN - истинно-отрицательных решений; FP - ложно-положительных решений; FN - ложно-отрицательных решений;

Классическая F-мера достоверности моделей Ван Ризбергена (колонка выделена ярко-голубым фоном):

$$F\text{-мера} = 2 * (Precision * Recall) / (Precision + Recall)$$
 - достоверность модели
 Precision = TP / (TP + FP) - точность модели;
 Recall = TP / (TP + FN) - полнота модели;

L1-мера проф. Е.В. Луценко - нечеткое мультиклассовое обобщение классической F-меры с учетом СУММ уровней сходства (колонка выделена ярко-зеленым фоном):

$$L1\text{-мера} = 2 * (SPrecision * SRecall) / (SPrecision + SRecall)$$

 SPrecision = STP / (STP + SFP) - точность с учетом сумм уровней сходства;
 SRecall = STP / (STP + SFN) - полнота с учетом сумм уровней сходства;
 STP - Сумма модулей сходства истинно-положительных решений; STN - Сумма модулей сходства истинно-отрицательных решений;
 SFP - Сумма модулей сходства ложно-положительных решений; SFN - Сумма модулей сходства ложно-отрицательных решений.

L2-мера проф. Е.В. Луценко - нечеткое мультиклассовое обобщение классической F-меры с учетом СРЕДНИХ уровней сходства (колонка выделена желтым фоном):

$$L2\text{-мера} = 2 * (APrecision * ARecall) / (APrecision + ARecall)$$

 APrecision = ATP / (ATP + AFP) - точность с учетом средних уровней сходства;
 ARecall = ATP / (ATP + AFN) - полнота с учетом средних уровней сходства;
 ATP = STP / TP - Среднее модулей сходства истинно-положительных решений; AFN = SFN / FN - Среднее модулей сходства истинно-отрицательных решений;
 AFP = SFP / FP - Среднее модулей сходства ложно-положительных решений; AFN = SFN / FN - Среднее модулей сходства ложно-отрицательных решений.

Строки с максимальными значениями F-меры, L1-меры и L2-меры выделены фоном цвета, соответствующего колонке.

Из графиков частотных распределений истинно-положительных, истинно-отрицательных, ложно-положительных и ложно-отрицательных решений видно, что чем выше модуль уровня сходства, тем больше доля истинных решений. Это значит, что модуль уровня сходства является адекватной мерой степени истинности решения и степени уверенности системы в этом решении. Поэтому система "Эйдос" имеет адекватный критерий достоверности собственных решений, с помощью которого она может отфильтровать заведомо ложные решения.

Луценко Е.В. Инвариантное относительно объемов данных нечеткое мультиклассовое обобщение F-меры достоверности моделей Ван Ризбергена в АСК-анализе и системе "Эйдос" / Е.В. Луценко // Политематический сетевой электронный научный журнал Кубанского государственного аграрного университета (Научный журнал КубГАУ) [Электронный ресурс]. - Краснодар: КубГАУ, 2017. - №02(126). С. 1 - 32. - IDA [article ID]: 1261702001. - Режим доступа: <http://ej.kubagro.ru/2017/02/pdf/01.pdf>

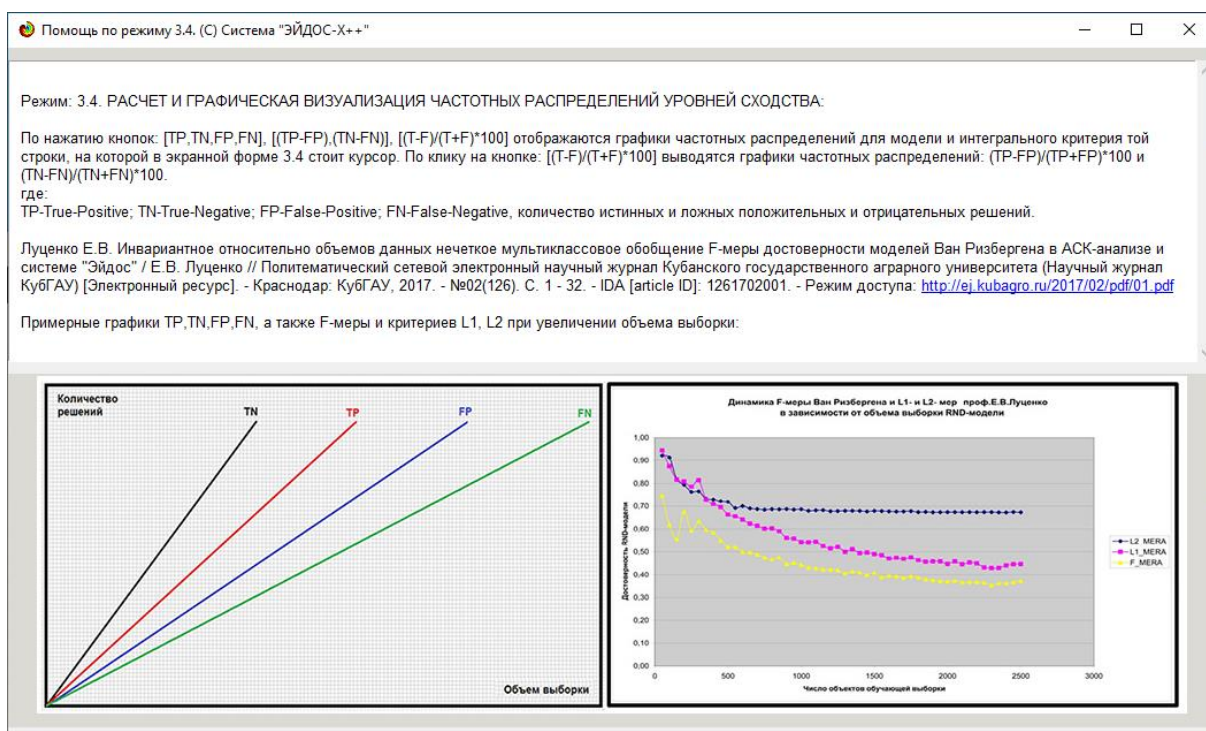


Рисунок 14. Экранные формы хелпов режима измерения достоверности моделей

3.4. Задача-5. Выбор наиболее достоверной модели

3.5.1. Универсальная постановка задачи, не зависящая от предметной области

Все последующие задачи решаются в наиболее достоверной модели.

Причины этого просты. Если модель достоверна, то:

- идентификация объекта с классом достоверна, т.е. модель относит объекты к классам, к которым они действительно принадлежат;
- прогнозирование достоверно, т.е. действительно наступают те события, которые прогнозируются;
- принятие решений адекватно (достоверно), т.е. после реализации принятых управляющих решений объект управления действительно переходит в целевые будущие состояния;
- исследование достоверно, т.е. полученные в результате исследования модели объекта моделирования выводы могут быть с полным основанием отнесены к объекту моделирования.

3.5.2. Конкретное решение задачи в данной работе

Технически сам выбор наиболее достоверной модели и задание ее текущей осуществляется в режиме 4.1.2 системы «Эйдос» и проходит быстро (рисунки 15). Это необходимо делать лишь для решения задачи

идентификации и прогнозирования (в режиме 4.1.2), которая требует и потребляет наибольшие вычислительные ресурсы и поэтому решается только для модели, заданной в качестве текущей. Все остальные расчеты проводятся в системе «Эйдос» сразу во всех моделях.

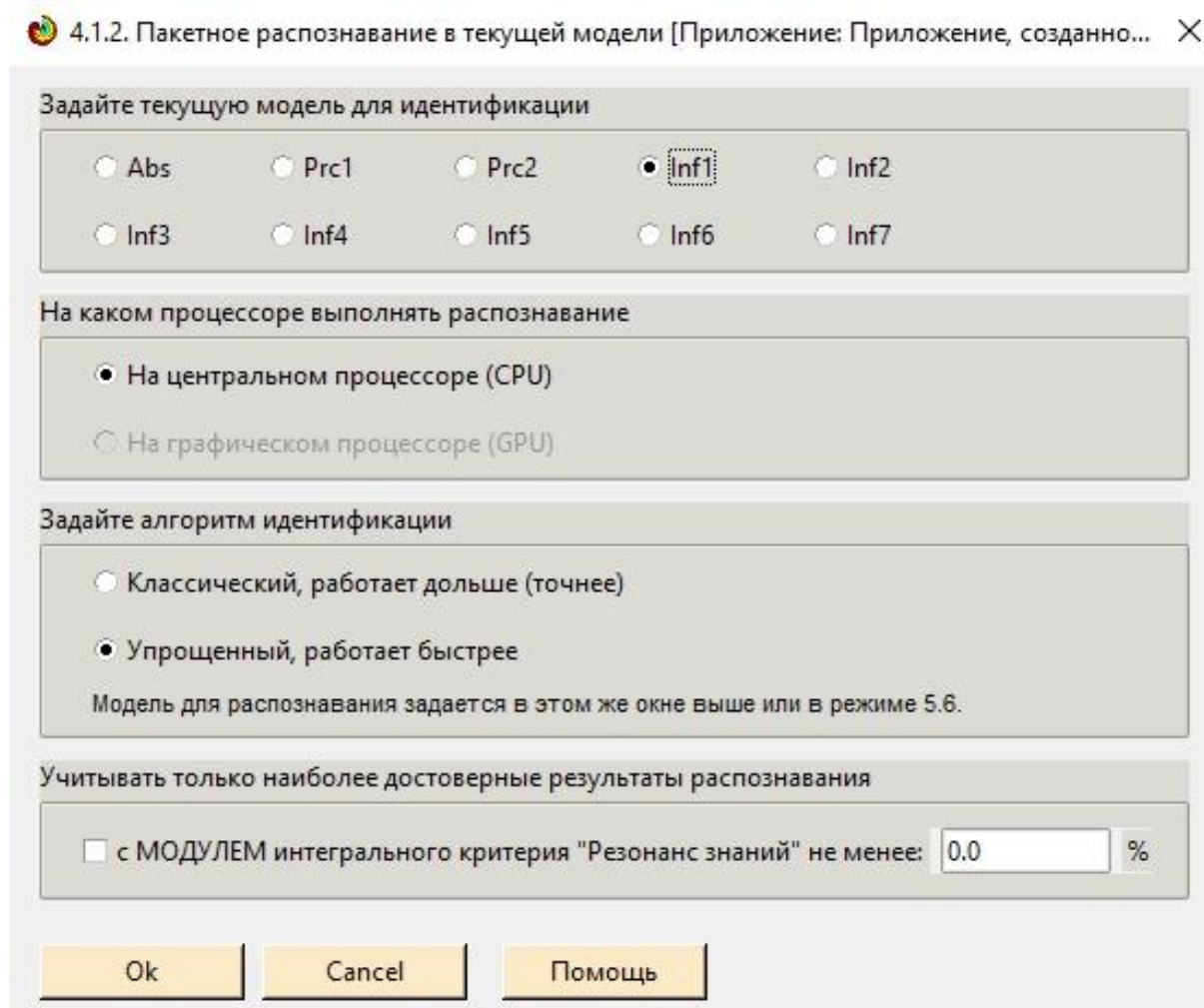


Рисунок 15. Задание СК-модели INF1 в качестве текущей

3.5. **Задача-6. Системная идентификация и прогнозирование**

3.6.1. Универсальная постановка задачи, не зависящая от предметной области

При решении *задачи идентификации* каждый объект распознаваемой выборки сравнивается по всем своим признакам с каждым из обобщенных образов классов. Смысл решения задачи идентификации заключается в том, что при определении принадлежности конкретного объекта к

обобщенному образу классу об этом конкретном объекте *по аналогии становится известно все, что известно об объектах этого класса, по крайней мере, самое существенное о них, т.е. чем они отличаются от объектов других классов.*

Задачи идентификации и прогнозирования взаимосвязаны и мало чем отличаются друг от друга. Главное различие между ними в том, что при идентификации значения свойств и принадлежность объекта к классу относятся к одному моменту времени, а при прогнозировании значения факторов относятся к прошлому, а переход объекта под действием этих факторов в состояние, соответствующее классу относится к будущему (рисунок 3).

Задача решается в модели, заданной в качестве текущей, т.к. является весьма трудоемкой в вычислительном отношении. Правда с разработкой и реализацией в системе «Эйдос» высокоэффективных алгоритмов распознавания и использованием графического процессора (GPU) для расчетов эта проблема практически снялась.

Сравнение осуществляется путем применения *неметрических интегральных критериев*, которых в настоящее время в системе «Эйдос» используется два. Эти интегральные критерии интересны тем, что корректны¹⁰ в неортонормированных пространствах, которые всегда и встречаются на практике, и являются фильтрами подавления шума.

3.6.1.1. Интегральный критерий «Сумма знаний»

Интегральный критерий «Сумма знаний» представляет собой суммарное количество знаний, содержащееся в системе факторов различной природы, характеризующих сам объект управления, управляющие факторы и окружающую среду, о переходе объекта в будущие целевые или нежелательные состояния.

Интегральный критерий представляет собой аддитивную функцию от частных критериев знаний, представленных в help режима 5.5:

$$I_j = (\vec{I}_{ij}, \vec{L}_i).$$

В выражении круглыми скобками обозначено скалярное произведение. В координатной форме это выражение имеет вид:

$$I_j = \sum_{i=1}^M I_{ij} L_i,$$

где: M – количество градаций описательных шкал (признаков);

¹⁰ В отличие от Евклидова расстояния, которое используется для подобных целей наиболее часто

$\vec{I}_{ij} = \{I_{ij}\}$ – вектор состояния j–го класса;

$\vec{L}_i = \{L_i\}$ – вектор состояния распознаваемого объекта, включающий все виды факторов, характеризующих сам объект, управляющие воздействия и окружающую среду (массив–локатор), т.е.:

$$\vec{L}_i = \begin{cases} 1, & \text{если } i - \text{й фактор действует;} \\ n, & \text{где } n > 0, \text{ если } i - \text{й фактор действует с истинностью } n; \\ 0, & \text{если } i - \text{й фактор не действует.} \end{cases}$$

В текущей версии системы «Эйдос-Х++» значения координат вектора состояния распознаваемого объекта принимались равными либо 0, если признака нет, или n, если он присутствует у объекта с интенсивностью n, т.е. представлен n раз (например, буква «о» в слове «молоко» представлена 3 раза, а буква «м» - один раз).

3.6.1.2. Интегральный критерий «Семантический резонанс знаний»

Интегральный критерий «Семантический резонанс знаний»

представляет собой *нормированное* суммарное количество знаний, содержащееся в системе факторов различной природы, характеризующих сам объект управления, управляющие факторы и окружающую среду, о переходе объекта в будущие целевые или нежелательные состояния.

Интегральный критерий представляет собой аддитивную функцию от частных критериев знаний, представленных в help режима 3.3 и имеет вид:

$$I_j = \frac{1}{\sigma_j \sigma_l M} \sum_{i=1}^M (I_{ij} - \bar{I}_j) (L_i - \bar{L}),$$

где:

M – количество градаций описательных шкал (признаков); \bar{I}_j – средняя информативность по вектору класса; \bar{L} – среднее по вектору объекта;

σ_j – среднеквадратичное отклонение частных критериев знаний вектора класса; σ_l – среднеквадратичное отклонение по вектору распознаваемого объекта.

$\vec{I}_{ij} = \{I_{ij}\}$ – вектор состояния j–го класса; $\vec{L}_i = \{L_i\}$ – вектор состояния распознаваемого объекта (состояния или явления), включающий все виды факторов, характеризующих сам объект, управляющие воздействия и окружающую среду (массив–локатор), т.е.:

$$\bar{L}_i = \begin{cases} 1, & \text{если } i - \text{й фактор действует;} \\ n, & \text{где } n > 0, \text{ если } i - \text{й фактор действует с истинностью } n; \\ 0, & \text{если } i - \text{й фактор не действует.} \end{cases}$$

В текущей версии системы «Эйдос-Х++» значения координат вектора состояния распознаваемого объекта принимались равными либо 0, если признака нет, или n , если он присутствует у объекта с интенсивностью n , т.е. представлен n раз (например, буква «о» в слове «молоко» представлена 3 раза, а буква «м» - один раз).

Приведенное выражение для интегрального критерия «Семантический резонанс знаний» получается непосредственно из выражения для критерия «Сумма знаний» после замены координат перемножаемых векторов их стандартизированными значениями:

$$I_{ij} \rightarrow \frac{I_{ij} - \bar{I}_j}{\sigma_j}, \quad L_i \rightarrow \frac{L_i - \bar{L}}{\sigma_l}.$$

Произведением двух стандартизированных (единичных) векторов класса и объекта. Существуют и много других способов нормирования, например, путем применения вейвлетов и сплайнов, в частности линейной интерполяции:

$$I_{ij} \rightarrow \frac{I_{ij} - I_j^{\min}}{I_j^{\max} - I_j^{\min}}, \quad L_i \rightarrow \frac{L_i - L^{\min}}{L^{\max} - L^{\min}},$$

Это позволяет предложить неограниченное количество других видов интегральных критериев. Но результаты их применения едва ли они будут существенно отличаться от уже существующих, поэтому они не реализованы в системе «Эйдос».

3.6.1.3. Важные математические свойства интегральных критериев

Данные интегральные критерии обладают очень интересными **математическими свойствами**, которые обеспечивают ему важные достоинства:

Во-первых, интегральный критерий имеет **неметрическую** природу, т.е. он является мерой сходства векторов класса и объекта, но не расстоянием между ними, а косинусом угла между ними, т.е. это межвекторное или информационное расстояние. Поэтому его применение является корректным в **неортонормированных** пространствах, которые, как правило, и встречаются на практике и в которых применение Евклидова расстояния (теоремы Пифагора) является некорректным.

Во-вторых, данный интегральный критерий является **фильтром**, подавляющим белый шум, который всегда присутствует в эмпирических исходных данных и в моделях, созданных на их основе. Это свойство подавлять белый шум проявляется у данного критерия тем ярче, чем больше в модели градаций описательных шкал.

В-третьих, интегральный критерий сходства представляет собой количественную меру сходства/различия конкретного объекта с обобщенным образом класса и имеет тот же смысл, что и **функция**

принадлежности элемента множеству в нечеткой логике Лотфи Заде. **Однако** в нечеткой логике эта функция задается исследователем априорно путем выбора из нескольких возможных вариантов, а в АСК-анализе и его программном инструментарии – интеллектуальной системе «Эйдос» она рассчитывается в соответствии с хорошо обоснованной математической моделью непосредственно на основе эмпирических данных.

В-четвертых, кроме того значение интегрального критерия сходства представляет собой адекватную самооценку **степени уверенности** системы в положительном или отрицательном решении о принадлежности/непринадлежности объекта к классу или **риска ошибки** при таком решении.

В-пятых, по сути, при распознавании происходит расчет коэффициентов I_j разложения функции объекта L_i в ряд по функциям классов I_{ij} , т.е. определяется **вес** каждого обобщенного образа класса в образе объекта, что подробнее описано в работах [2, 3, 4].

На рисунках 17 приведены экранные формы режима идентификации и прогнозирования 4.1.2 системы «Эйдос».

3.6.2. Конкретное решение задачи идентификации и прогнозирования в данной работе в системе «Эйдос»

В АСК-анализе разработаны, а в системе «Эйдос» реализованы развитые методы прогнозирования, основанные на сценарном методе АСК-анализа или сценарном АСК-анализе [11]. Но в задачи данной работы не входит их подробное рассмотрение, тем более, что они подробно освещены и на теоретическом уровне, и с детальными численными примерами в работах [4-7, 11] и в ряде других [48].

Поэтому в данной работе рассмотрим стандартный несколько упрощенный вариант решения задачи идентификации и прогнозирования. Запустим режим 4.1.2 системы «Эйдос» (рисунок 16).

По результатам решения задачи идентификации и прогнозирования в системе «Эйдос» выдается большое количество разнообразных выходных форм, которых в настоящее время 14 (рисунок 17).

Из этих выходных форм рассмотрим только две: 4.1.3.1 и 4.1.3.2 (рисунок 18).

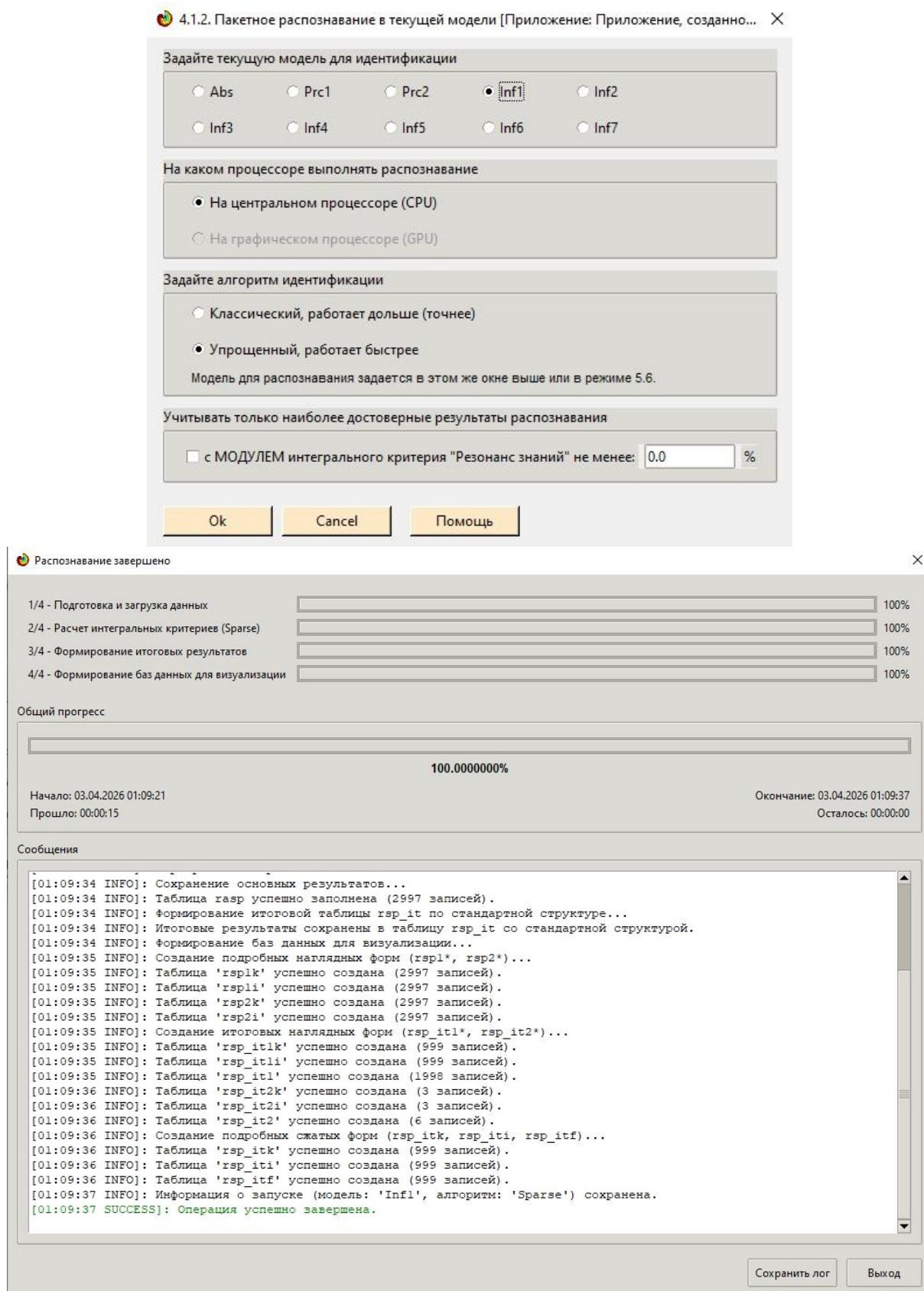


Рисунок 16. Экранные формы режима 4.1.2 идентификации и прогнозирования

По результатам решения задачи идентификации и прогнозирования в системе «Эйдос» выдается большое количество разнообразных выходных форм, которых в настоящее время 14 (рисунок 17).

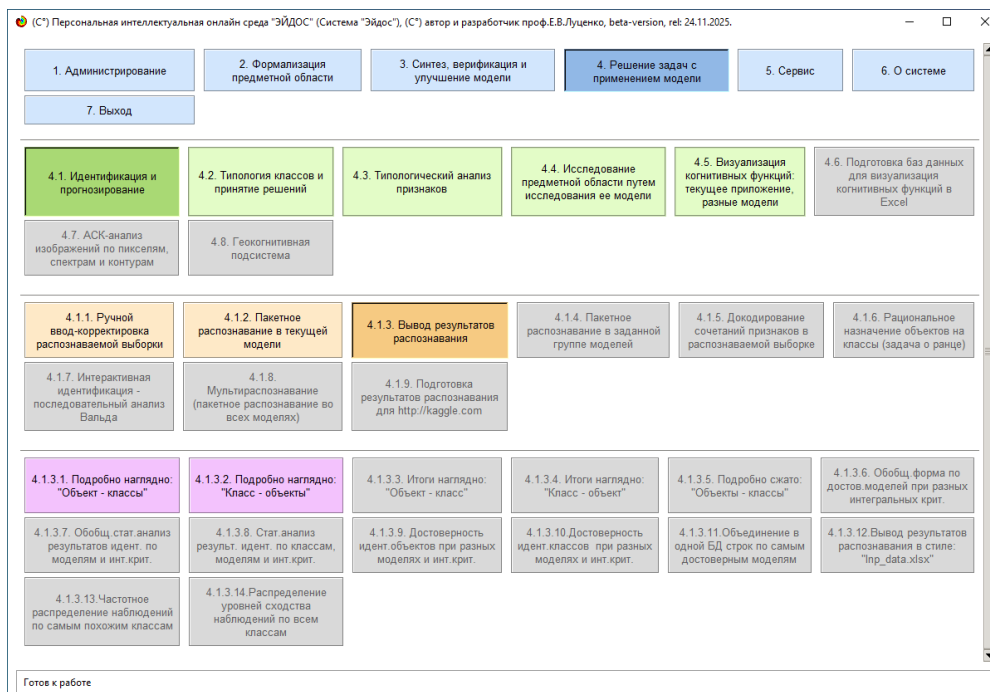


Рисунок 17. Меню подсистемы 4.1.3 системы «Эйдос», обеспечивающей вывод форм по результатам решения задачи идентификации и прогнозирования

Из этих выходных форм рассмотрим только две: 4.1.3.1 и 4.1.3.2 (рисунок 18):

3.7. Задача-7. Поддержка принятия решений

3.7.1. Упрощенный вариант принятия решений как обратная задача прогнозирования, позитивный и негативный информационные портреты классов, SWOT-анализ

3.7.1.1. Универсальная постановка задачи, не зависящая от предметной области

Задачи прогнозирования и принятия решений относятся друг к другу как прямая и *обратная* задачи:

- при прогнозировании по значениям факторов, действующих на объект моделирования, определяется в какое будущее состояние он перейдет под их действием;

- при принятии решений, наоборот, по будущему целевому состоянию объекта моделирования определяются значения факторов, которые обуславливают его переход в это будущее целевое состояние.

Таким образом, задача принятия решений является *обратной* по отношению к задаче прогнозирования. Но это так только в простейшем случае: в случае использования SWOT-анализа (режим 4.4.8 системы «Эйдос») [10] (рисунки 19).

На первом рисунке 19 приведена экранная форма задания в диалоге параметров отображения SWOT-диаграммы. На этой экранной форме в верхнем окне пользователь курсором выбирает исследуемый класс, внизу слева задает модель для исследования, а справа внизу задает отображать ли SWOT-диаграмму. Кроме того пользователь может включить или выключить фильтры по факторам и посмотреть помощь по режиму. При включении фильтра по фактору, на котором стоит курсор, на экранных формах отображается влияние только значения этого фактора.

Графические выходные формы, приведенные на рисунках 19, интуитивно понятны и не требуют особых комментариев. Отметим лишь, что на SWOT-диаграммах наглядно показаны знак и сила влияния каждого значения фактора на переход объекта моделирования в состояние, соответствующее классу, выбранному в верхнем окне. Знак показан цветом, а сила влияния – толщиной линии.

Слева на SWOT-диаграмме приведены значения факторов, способствующих переходу объекта моделирования в состояние, соответствующее классу, выбранному в верхнем окне (показаны красным цветом), а справа – препятствующих этому переходу (показаны синим цветом). Сила влияния каждого значения фактора на поведение объекта моделирования показана толщиной линии.

Необходимо подчеркнуть, что в системе «Эйдос» SWOT-диаграммы формируются автоматически на основе статистических и системно-

КОГНИТИВНЫХ моделей, созданных непосредственно на основе эмпирических данных, а не как обычно не формализуемым экспертным путем на основе интуиции, опыта и профессиональной компетенции, т.е. практически «на глазок», а в некоторых случаях и вообще «от фонаря».

3.7.1.2. Конкретное решение задачи идентификации и прогнозирования в данной работе в системе «Эйдос»

4.4.8. Количественный автоматизированный SWOT-анализ классов средствами АСК-анализа

Выбор класса, соответствующего будущему состоянию объекта управления

Код	Наименование класса	Редукция	Н объектов (абс.)	Н объектов (%)
1	[1]-risk_level-[1]-High		0	
2	[1]-risk_level-[2]-Low		0	
3	[1]-risk_level-[3]-Medium		0	

SWOT-анализ класса: 1 "RISK_LEVEL-High" в модели: 4 "INF1-частный критерий: количество знаний по А.Харкевичу; вероятности из PRC1"

Способствующие факторы и сила их влияния

Код	Наименование фактора и его значения	Сила влияния
19	[7]-sleep_hours-[19]-1/3-(3.0000000, 5.7363845)	0.155
6	[2]-gender-[6]-Other	0.150
36	[12]-financial_stress-[36]-3/3-(5.8959311, 10.0000000)	0.121
15	[5]-exam_pressure-[15]-3/3-(6.6956572, 10.0000000)	0.120
22	[8]-physical_activity-[22]-1/3-(0.0186973, 2.4644247)	0.098
25	[9]-social_support-[25]-1/3-(0.1024542, 4.0038240)	0.094
12	[4]-study_hours_per_day-[12]-3/3-(5.9653006, 11.5363859)	0.077
29	[10]-screen_time-[29]-2/3-(4.0945544, 5.9060962)	0.059
39	[13]-family_expectation-[39]-3/3-(6.9165005, 10.0000000)	0.059
3	[1]-age-[3]-3/3-(25.0000000, 29.0000000)	0.049

Препятствующие факторы и сила их влияния

Код	Наименование фактора и его значения	Сила влияния
13	[5]-exam_pressure-[13]-1/3-(1.9870814, 5.4009151)	-0.309
10	[4]-study_hours_per_day-[10]-1/3-(0.0316154, 4.3010886)	-0.308
24	[8]-physical_activity-[24]-3/3-(3.7159824, 7.0000000)	-0.304
35	[12]-financial_stress-[35]-2/3-(4.2364485, 5.8959311)	-0.192
33	[11]-internet_usage-[33]-3/3-(5.9694898, 12.7628539)	-0.125
20	[7]-sleep_hours-[20]-2/3-(5.7363845, 7.1098283)	-0.125
37	[13]-family_expectation-[37]-1/3-(0.5474334, 5.2180356)	-0.125
27	[9]-social_support-[27]-3/3-(5.7668523, 10.0000000)	-0.123
1	[1]-age-[1]-1/3-(17.0000000, 21.0000000)	-0.108
30	[10]-screen_time-[30]-3/3-(5.9060962, 11.5463767)	-0.077

ВКЛЮЧИТЬ фильтр по фактору ВКЛЮЧИТЬ фильтр по фактору ВКЛЮЧИТЬ фильтр по фактору ВКЛЮЧИТЬ фильтр по фактору

Помощь ABS PRC1 PRC2 INF1 INF2 INF3 INF4 INF5 INF6 INF7 Размер шрифта: 9 SWOT-диаграмма заданного класса SWOT-диаграммы всех классов

SWOT-диаграмма класса в модели: "частный критерий: количество знаний по А.Харкевичу; вероятности из PRC1"

SWOT-ДИАГРАММА КЛАССА В МОДЕЛИ: 4 "INF1-частный критерий: количество знаний по А.Харкевичу; вероятности из PRC1"
 Приложение: "Приложение, Созданное в API-2.3.2.2-20260402-231750"
 Шкала: [1] risk level
 Класс: [1] High

СПОСОБУЮЩИЕ значения факторов и сила их влияния:

[7] sleep_hours [19] 1/3-(3.0000000, 5.7363845)	I=0.155
[2] gender [6] Other	I=0.150
[12] financial_stress [36] 3/3-(5.8959311, 10.0000000)	I=0.121
[5] exam_pressure [15] 3/3-(6.6956572, 10.0000000)	I=0.120
[8] physical_activity [22] 1/3-(0.0186973, 2.4644247)	I=0.098
[9] social_support [25] 1/3-(0.1024542, 4.0038240)	I=0.094
[4] study_hours_per_day [12] 3/3-(5.9653006, 11.5363859)	I=0.077
[10] screen_time [29] 2/3-(4.0945544, 5.9060962)	I=0.059
[13] family_expectation [39] 3/3-(6.9165005, 10.0000000)	I=0.059
[1] age [3] 3/3-(25.0000000, 29.0000000)	I=0.049

ПРЕПЯТСТВУЮЩИЕ значения факторов и сила их влияния:

[5] exam_pressure [13] 1/3-(1.9870814, 5.4009151)	I=-0.309
[4] study_hours_per_day [10] 1/3-(0.0316154, 4.3010886)	I=-0.308
[8] physical_activity [24] 3/3-(3.7159824, 7.0000000)	I=-0.304
[12] financial_stress [35] 2/3-(4.2364485, 5.8959311)	I=-0.192
[11] internet_usage [33] 3/3-(5.9694898, 12.7628539)	I=-0.125
[7] sleep_hours [20] 2/3-(5.7363845, 7.1098283)	I=-0.125
[13] family_expectation [37] 1/3-(0.5474334, 5.2180356)	I=-0.125
[9] social_support [27] 3/3-(5.7668523, 10.0000000)	I=-0.123
[1] age [1] 1/3-(17.0000000, 21.0000000)	I=-0.108
[10] screen_time [30] 3/3-(5.9060962, 11.5463767)	I=-0.077

Фильтр по факторам ВЫКЛЮЧЕН. Диапазон кодов значений: 1-39

СИСТЕМА ДЕТЕРМИНАЦИИ КЛАССА ФАКТОРАМИ И ИХ ЗНАЧЕНИЯМИ:

Значения факторов, СПОСОБУЮЩИЕ периоду объекта управления в состоянии, соответствующее классу
 Значения факторов, ПРЕПЯТСТВУЮЩИЕ периоду объекта управления в состоянии, соответствующее классу

Толщина линии отражает степень влияния.

Формы созданы: 03.04.2026-01:21:42

Масштаб линий: 5.0000000000000000 Размер шрифта: 9 Шрифт заголовка: 14 Сохранить Выход

Рисунок 19. Примеры экранной формы режима автоматизированного SWOT-анализа (режим 4.4.8 системы «Эйдос»)

Из приведённых выходных форм SWOT-анализа чётко видно, что на риск нарушения психического здоровья и выгорания студентов наиболее сильное пагубное воздействие оказывают такие факторы, как высокое экзаменационное давление, большое количество часов самостоятельной работы в день и недостаточная продолжительность сна.

3.7.2. Развитый алгоритм принятия решений в адаптивных интеллектуальных системах управления на основе АСК-анализа и системы «Эйдос»

3.7.2.1. Универсальная постановка задачи, не зависящая от предметной области

Однако SWOT-анализ (режим 4.4.8 системы «Эйдос») имеет свои ограничения: может быть задано только одно будущее целевое состояние, целевые состояния могут быть недостижимыми одновременно (альтернативными) или совместимыми по системе обуславливающих их значений факторов, некоторые рекомендуемые факторы может не быть технологической и финансовой возможности использовать и возможно надо искать им замену, примерно так же влияющую на объект моделирования.

Поэтому в АСК-анализе и системе «Эйдос» реализован развитый алгоритм принятия решений (режим 6.3) в котором кроме SWOT-анализа используются также результаты решения задачи прогнозирования и результаты кластерно-конструктивного анализа классов и значений факторов, т.е. некоторые результаты решения задачи исследования предметной области. Этот алгоритм описан в работах [11, 12, 13] и в ряде других работ.

Приведем этот алгоритм и в данной работе (рисунок 20).

Шаг 1-й. Руководство ставит цели управления, т.е. определяет будущие целевые состояния объекта управления. Обычно целевые состояния в натуральном выражении – это количество и качество продукции, а в стоимостном выражении – прибыль и рентабельность. Объект управления как система, эффективность объекта управления как **системное свойство**, повышение уровня системности объекта управления как цель управления (нелинейность). Модель отражает определенный уровень технологий, поэтому целевые состояния, недостижимые в одной модели, могут оказаться достижимыми в другой с большим числом факторов [11, 12, 13, 14, 15, 16].

Шаг 2-й (см.реж.6.4). Когнитивно-целевая структуризация и формализация предметной области (реж.2.3.2.2), синтез и верификация моделей (реж.3.5), определяем наиболее достоверную из них по F-критерию Ван Ризбергена и критериям L1 и L2 проф.Е.В.Луценко (реж.3.4)

[9]. Повышение уровня системности и адекватности модели объекта управления (принцип Уильяма Росса Эшби) [14, 15].

Шаг 3-й. Если целевое состояние одно, то переходим на шаг 6, а иначе на шаг 4.

Шаг 4-й. Иначе оцениваем **корректность** поставленных целей путем сравнения системы детерминации целевых состояний методом **когнитивной кластеризации** (4.2.2.3) или на основе матрицы сходства (4.2.2.1), т.е. определяем, являются ли целевые состояния совместимыми, т.е. достижимыми одновременно, по обуславливающим их значениями факторов, или они являются взаимоисключающими (альтернативными) по системе детерминации и одновременно недостижимы.

Шаг 5-й. Поставленные цели управления корректны, совместимы, достижимы одновременно? Если да – переход на шаг 6, иначе на шаг 1.

Шаг 6-й. Решаем задачу поддержки принятия решений в упрощенном варианте путем решения обратной задачи прогнозирования в автоматизированном **SWOT-анализе** (реж.4.4.8) для каждого из целевых состояний и **объединяем** рекомендованные значения факторов в одну систему управляющих факторов [10].

Шаг 7-й. Оцениваем технологические и финансовые **возможности** применения на практике рекомендованных на шаге 6 значений факторов.

Шаг 8-й. Если такая возможность имеется для всех значений факторов, то принимаем их для реализации на практике и переходим на шаг 13 для проверки эффективности принятых решений, а иначе переходим на шаг 9.

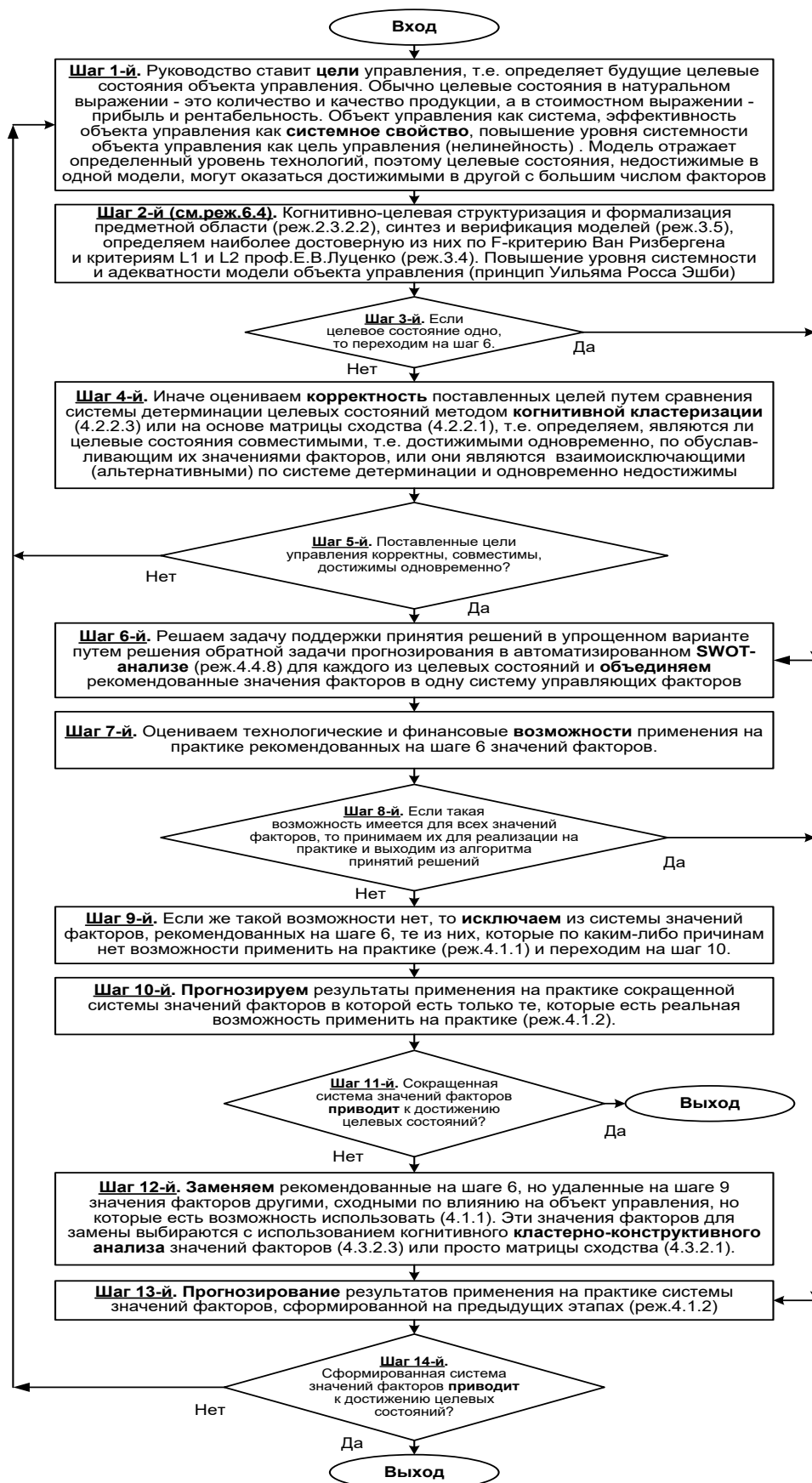


Рисунок 20. Развитый алгоритм принятия решений в интеллектуальных системах управления на основе АСК-анализа и системы «Эйдос»

Шаг 9-й. Если же такой возможности нет, то **исключаем** из системы значений факторов, рекомендованных на шаге 6, те из них, которые по каким-либо причинам нет возможности применить на практике (реж.4.1.1) и переходим на шаг 10.

Шаг 10-й. **Прогнозируем** результаты применения на практике сокращенной системы значений факторов в которой есть только те, которые есть реальная возможность применить на практике (реж.4.1.2).

Шаг 11-й. Сокращенная система значений факторов **приводит** к достижению целевых состояний? Если да, то выход из алгоритма принятия решений, а иначе переход на шаг 12.

Шаг 12-й. **Заменяем** рекомендованные на шаге 6, но удаленные на шаге 9 значения факторов другими, сходными по влиянию на объект управления, но которые есть возможность использовать (4.1.1). Эти значения факторов для замены выбираются с использованием когнитивного **кластерно-конструктивного анализа** значений факторов (4.3.2.3) или просто матрицы сходства (4.3.2.1) [16].

Шаг 13-й. **Прогнозирование** результатов применения на практике системы значений факторов, сформированной на предыдущих этапах (реж.4.1.2)

Шаг 14-й. Сформированная система значений факторов **приводит** к достижению целевых состояний? Если да – то выход из алгоритма принятия решений, а иначе переход на шаг 1.

Приведенный выше развитый алгоритм принятия решений может быть применен в адаптивных интеллектуальных системах управления на основе АСК-анализа и системы «Эйдос». Принципиальная схема подобной системы приведена на рисунке 21:

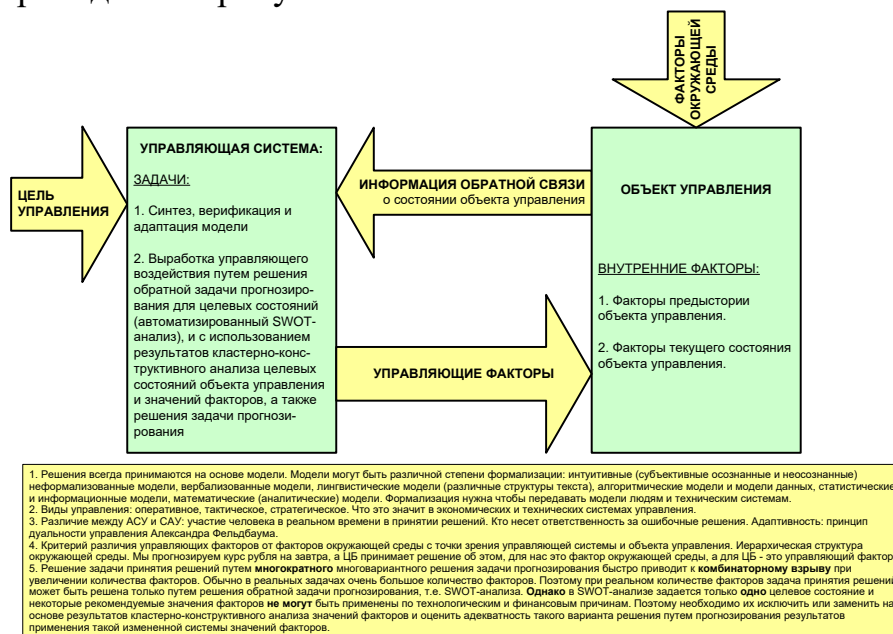


Рисунок 21. Принципиальная схема адаптивной интеллектуальной системы управления на основе АСК-анализа и системы «Эйдос»

Как мы видим в развитом алгоритме принятия решений широко используются результаты конкретного решения различных задач: и задачи прогнозирования, и некоторых задач исследования объекта моделирования путем исследования его модели. Необходимо особо отметить, что система «Эйдос» поддерживает решение всех этих задач, которые необходимо решать в развитом алгоритме принятия решений. Потому ниже кратко рассмотрим решение этих и некоторых других задач.

3.7.2.2. Конкретное решение задачи управления в данной работе в системе «Эйдос»

Необходимо отметить, что модели системы Эйдос – это феноменологические модели, отражающие эмпирические закономерности в фактах обучающей выборки, т.е. они не отражают причинно-следственного *механизма* детерминации, а только сам факт и характер детерминации (силу и направление влияния факторов). *Содержательное* объяснение конкретных механизмов этих эмпирических закономерностей формулируется уже экспертами на теоретическом уровне познания в содержательных научных законах [12, 17].

3.8. Задача-8. Исследование объекта моделирования путем исследования его модели

3.8.1. Инвертированные SWOT-диаграммы значений описательных шкал (семантические потенциалы)

3.8.1.1. Универсальная постановка задачи, не зависящая от предметной области

Инвертированные SWOT-диаграмм (предложены автором в работе [10]), отражают силу и направление влияния конкретной градации описательной шкалы на переход объекта моделирования в состояния, соответствующие градациям классификационных шкал (классы). Это и есть *смысл* (семантический потенциал) этой градации описательной шкалы. Инвертированные SWOT-диаграммы выводятся в режиме 4.4.9 системы «Эйдос».

3.8.1.2. Конкретное решение задачи в данной работе

Примеры инвертированных SWOT-диаграмм приведены на рисунках 22 для некоторых значений факторов:

4.4.9. Количественный автоматизированный SWOT-анализ значений факторов средствами АСК-анализа

Выбор значения фактора, оказывающего влияние на переход объекта управления в будущее состояние

Код	Наименование значения фактора	Редукция	N объектов (абс.)	N объектов (%)
1	[1] age -> [1] 1/3-{17.0000000, 21.0000000}			
2	[1] age -> [2] 2/3-{21.0000000, 25.0000000}			
3	[1] age -> [3] 3/3-{25.0000000, 29.0000000}			
4	[2] gender -> [4] Female			
5	[2] gender -> [5] Male			
6	[2] gender -> [6] Other			
7	[3] academic_year -> [7] 1/3-{1.0000000, 2.0000000}			
8	[3] academic_year -> [8] 2/3-{2.0000000, 3.0000000}			
9	[3] academic_year -> [9] 3/3-{3.0000000, 4.0000000}			
10	[4] study_hours_per_day -> [10] 1/3-{0.0316154, 4.3010886}			

SWOT-анализ значения фактора: 1 "AGE-1/3-{17.0000000, 21.0000000}" в модели: 4 "INF1-частный критерий: количество знаний по А.Харкевичу; вероятности из PRC1"

Способствует переходу в состояния (классы):

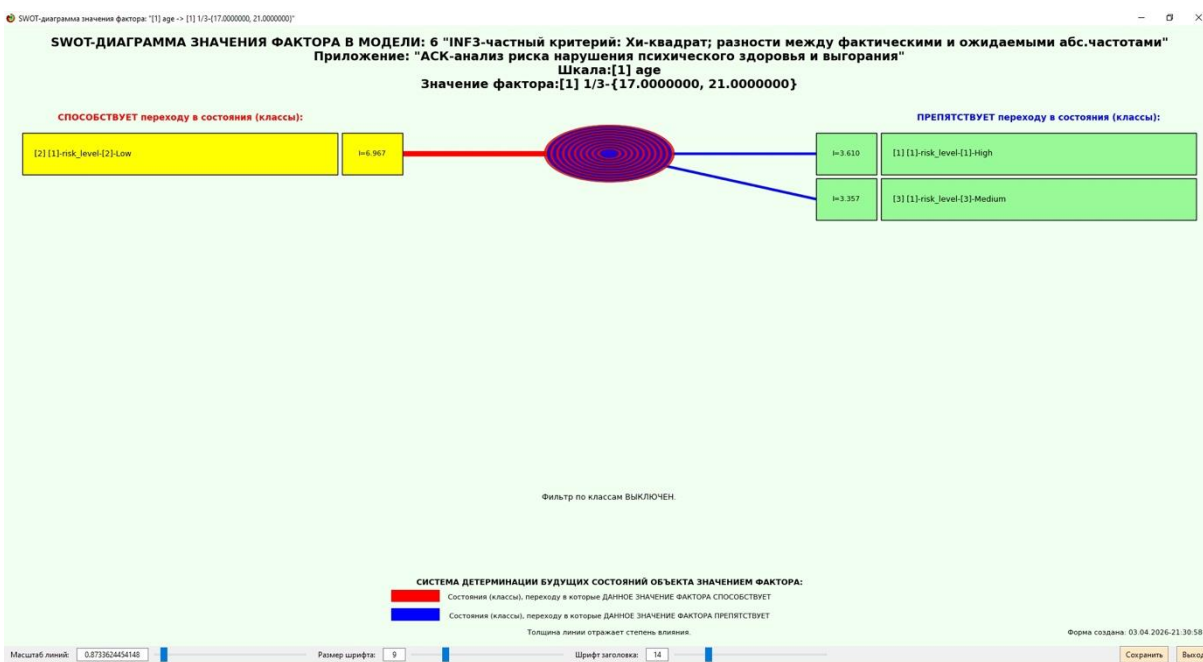
Код	Наименование класса	Сила влияния
2	[1]-risk_level-[2]-Low	0,004

Препятствует переходу в состояния (классы):

Код	Наименование класса	Сила влияния
1	[1]-risk_level-[1]-High	-0,108
3	[1]-risk_level-[3]-Medium	-0,006

ВКЛЮЧИТЬ фильтр по кл. шкале ВЫКЛЮЧИТЬ фильтр по кл. шкале ВКЛЮЧИТЬ фильтр по кл. шкале ВЫКЛЮЧИТЬ фильтр по кл. шкале

Помощь ABS PRC1 PRC2 **INF1** INF2 INF3 INF4 INF5 INF6 INF7 Размер шрифта: 9 SWOT-диаграмма значения фактора SWOT-диаграммы всех факторов



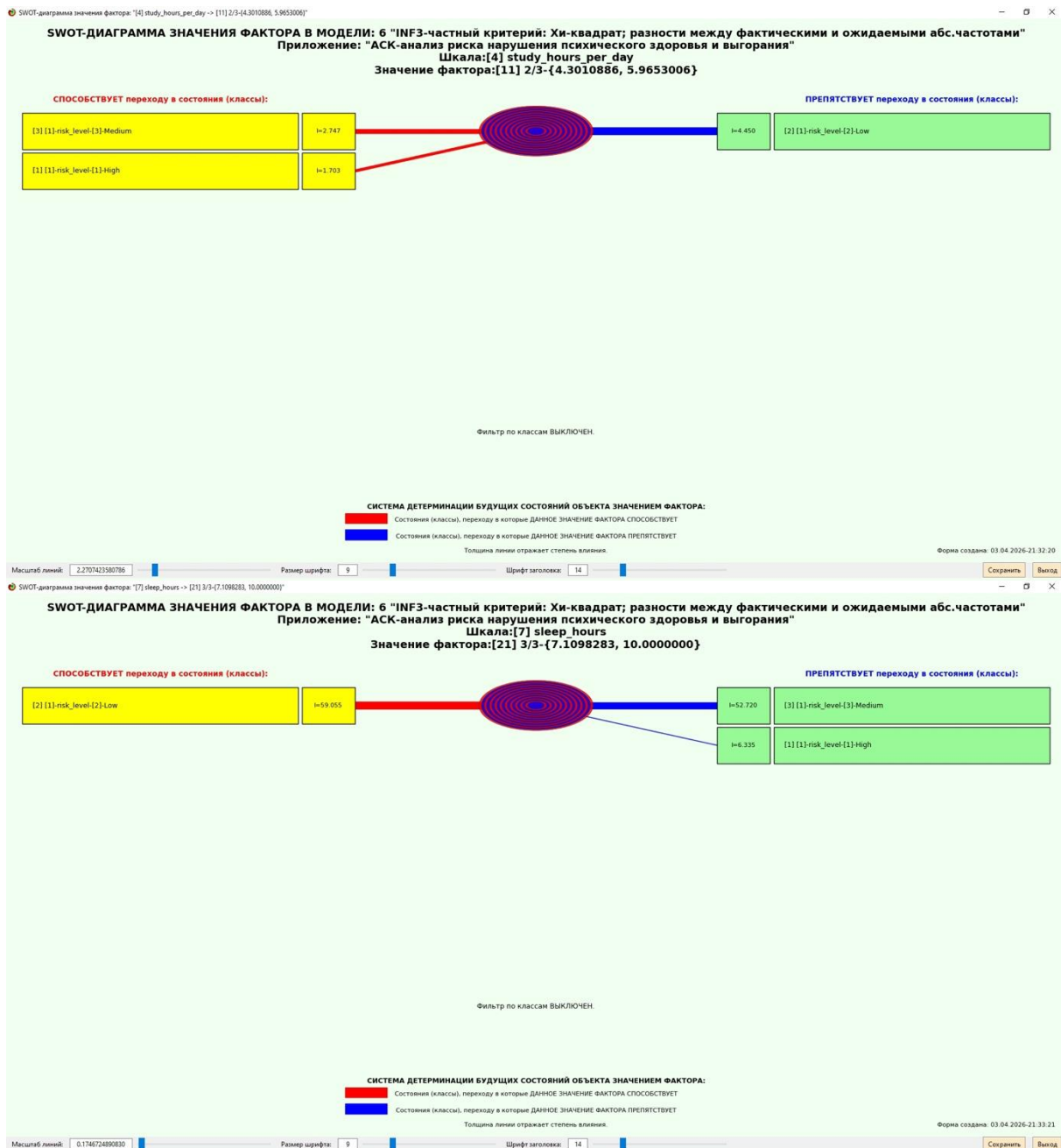


Рисунок 22. Примеры инвертированных SWOT-диаграмм влияния значений факторов на переход объекта моделирования в будущие состояния, соответствующие классам

Приведенные на рисунке инвертированные SWOT-диаграммы исчерпывающим образом отражают силу и направление влияния каждого значения каждого фактора на переход объекта моделирования в состояния, соответствующие различным классам.

Из приведенных выходных форм SWOT-анализа четко видно, что с увеличением возраста резко падает риск ментальных расстройств, а наиболее четко он выражен у людей в возрасте от 18 до 30 лет.

3.8.2. Кластерно-конструктивный анализ классов

3.8.2.1. Универсальная постановка задачи, не зависящая от предметной области

В системе «Эйдос» (в режиме 4.2.2.4, рисунок 23) рассчитывается матрица сходства классов (таблица 14) по системе их детерминации и на основе этой матрицы рассчитывается и выводится три основных формы:

– круговая 2d-когнитивная диаграмма классов (режим 4.2.2.2) (рисунок 24);

– агломеративные дендрограммы, полученные в результате *когнитивной (истинной) кластеризации классов* (предложена автором в 2011 году в работе [16]) (режим 4.2.2.3) (рисунок 26);

– график изменения межкластерных расстояний (режим 4.2.2.3) (рисунок 25).

Эта матрица сходства (таблица 14) используются и при расчете некоторых других выходных форм.

3.8.2.2. Конкретное решение задачи в данной работе

На рисунке 23 представлены экранные формы режима 4.2.2.4, обеспечивающего расчет матрицы сходства классов по системе их детерминации, т.е. по обуславливающим их значениям факторов:

4.2.2.4. Классическая кластеризация классов

1. Выбор модели для кластеризации

- 1. ABS - Абсолютные частоты
- 2. PRC1 - Условная вероятность (1)
- 3. PRC2 - Условная вероятность (2)
- 4. INF1 - Количество знаний (Харкевич, PRC-1)
- 5. INF2 - Количество знаний (Харкевич, PRC-2)
- 6. INF3 - Хи-квадрат
- 7. INF4 - ROI (PRC-1)
- 8. INF5 - ROI (PRC-2)
- 9. INF6 - Разность вероятностей (PRC-1)
- 10. INF7 - Разность вероятностей (PRC-2)

2. Параметры круговой диаграммы

Связи не менее (%):

Показывать классы без связей

Размер по X (px):

Размер по Y (px):

Толщина линий (px):

Разрешение (DPI):

3. Параметры дендрограммы

Размер по X (px):

Размер по Y (px):

Толщина линий (px):

Шрифт заголовка:

Шрифт объектов:

Разрешение (DPI):

4. Методы кластеризации

- Single (одиночная связь)
- Complete (полная связь)
- Average (средняя связь)
- Weighted (взвешенная связь)
- Centroid (центроидная связь)
- Median (медианная связь)
- Ward (метод Уорда)
- Выбрать все

5. Действия

Лог выполнения

[01:48:18] Ожидание запуска...

0% Начало: --:--:-- Прошло: 00:00:00 Осталось: --:--:-- Окончание: --:--:--

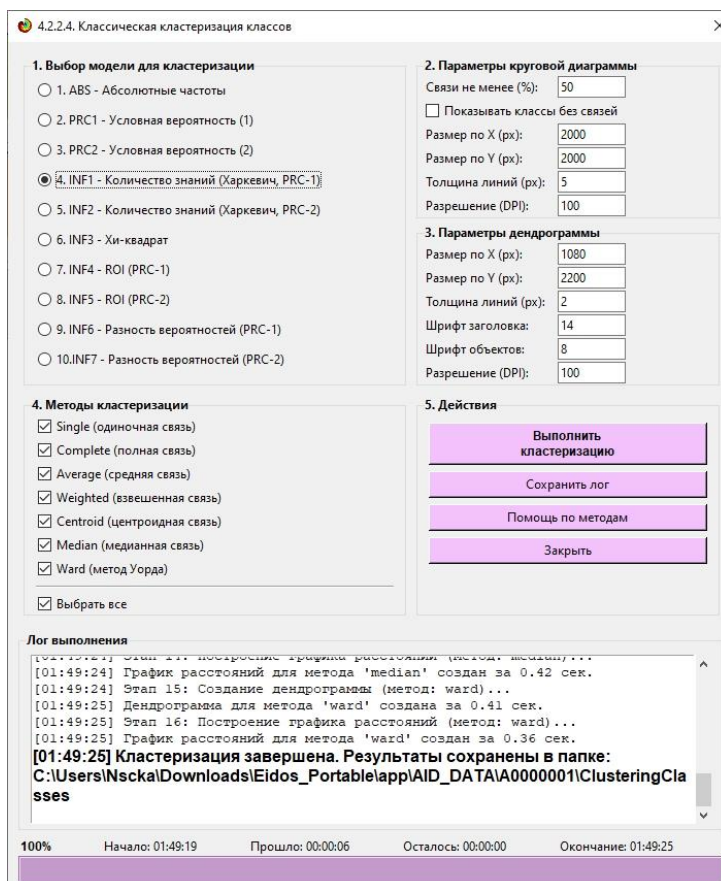


Рисунок 23. Экранные формы режима 4.2.2.4, обеспечивающего расчет матриц сходства классов

ЗАВИСИМОСТЬ МЕЖКЛАСТЕРНЫХ РАССТОЯНИЙ ОТ УРОВНЯ ИЕРАХИИ (КЛАССЫ)

Приложение: АСК-анализ рисков ментальных расстройств
 Модель: 7. INF4 - частный критерий: ROI (Return On Investment); вероятности из PRC-1
 Метод кластеризации: average

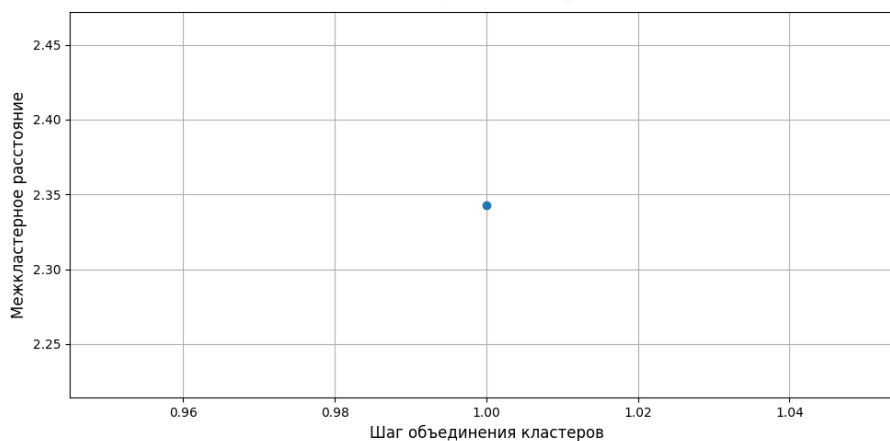


Рисунок 25. График изменения межкластерных расстояний (режим 4.2.2.3)

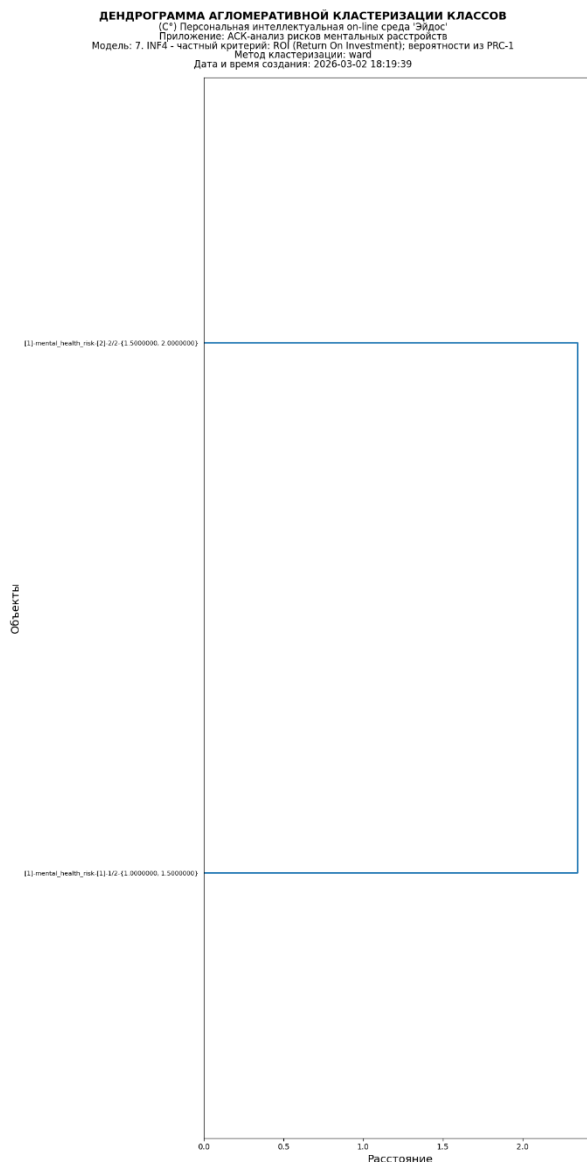


Рисунок 26. Агломеративная дендрограмма, полученная в результате когнитивной (истинной) кластеризации классов (режим 4.2.2.3)

3.8.3. Кластерно-конструктивный анализ значений описательных шкал

3.8.3.1. Универсальная постановка задачи, не зависящая от предметной области

В системе «Эйдос» (в режиме 4.3.2.1, рисунок 27) рассчитывается матрица сходства признаков (таблица 15) по их смыслу и на основе этой матрицы рассчитывается и выводится четыре основных формы:

- круговая 2d-когнитивная диаграмма признаков (режим 4.3.2.2) рисунок 28);

- агломеративные дендрограммы, полученные в результате *когнитивной (истинной) кластеризации признаков* (предложена автором в 2011 году в работе [16]) (режим 4.3.2.3) рисунок 29);

– график изменения межкластерных расстояний (режим 4.3.2.3) рисунок 30).

Эта матрица сходства (таблица 15) используются и при расчете некоторых других выходных форм.

3.8.3.2. Конкретное решение задачи в данной работе

На рисунке 27 представлены экранные формы режима 4.3.2.4, обеспечивающего расчет матрицы сходства значений факторов по силе и направлению их влияния на переход объекта моделирования в различные будущие состояния, соответствующие классам:

4.3.2.4. Классическая кластеризация признаков

1. Выбор модели для кластеризации

- 1. ABS - Абсолютные частоты
- 2. PRC1 - Условная вероятность (1)
- 3. PRC2 - Условная вероятность (2)
- 4. INF1 - Количество знаний (Харкевич, PRC-1)
- 5. INF2 - Количество знаний (Харкевич, PRC-2)
- 6. INF3 - Хи-квадрат
- 7. INF4 - ROI (PRC-1)
- 8. INF5 - ROI (PRC-2)
- 9. INF6 - Разность вероятностей (PRC-1)
- 10. INF7 - Разность вероятностей (PRC-2)

2. Параметры круговой диаграммы

Связи не менее (%):

Показывать признаки без связей

Размер по X (px):

Размер по Y (px):

Толщина линий (px):

Разрешение (DPI):

3. Параметры дендрограммы

Размер по X (px):

Размер по Y (px):

Толщина линий (px):

Шрифт заголовка:

Шрифт объектов:

Разрешение (DPI):

4. Методы кластеризации

- Single (одиночная связь)
- Complete (полная связь)
- Average (средняя связь)
- Weighted (взвешенная связь)
- Centroid (центроидная связь)
- Median (медианная связь)
- Ward (метод Уорда)

Выбрать все

5. Действия

Лог выполнения

```
[18:21:16] Этап 14: Построение графика расстояний (метод: median)...
[18:21:16] График расстояний для метода 'median' создан за 0.20 сек.
[18:21:16] Этап 15: Создание дендрограммы (метод: ward)...
[18:21:17] Дендрограмма для метода 'ward' создана за 0.48 сек.
[18:21:17] Этап 16: Построение графика расстояний (метод: ward)...
[18:21:17] График расстояний для метода 'ward' создан за 0.21 сек.
[18:21:17] Кластеризация завершена. Результаты сохранены в папке:
C:\Users\ivboxuser\Desktop\Eidos_Portable\app\AID_DATA\A0000001\ClusteringAttributes
```

100% Начало: 18:21:09 Прошло: 00:00:07 Осталось: 00:00:00 Окончание: 18:21:17

Рисунок 7. Экранные формы режима 4.3.2.4, обеспечивающего расчет матриц сходства значений факторов

Таблица 14 – Матрица сходства значений факторов в СК-модели INF1 (фрагмент)

kod_pr	[1]-age-[1]-1/4- {18.0000000, 28.5000000}	[1]-age-[2]-2/4- {28.5000000, 39.0000000}	[1]-age-[3]-3/4- {39.0000000, 49.5000000}	[1]-age-[4]-4/4- {49.5000000, 60.0000000}	[2]- gender- [5]- Female	[2]- gender- [6]- Male
[1]-age-[1]-1/4- {18.0000000, 28.5000000}	1	-1	-1	-1	-1	-1
[1]-age-[2]-2/4- {28.5000000, 39.0000000}	-1	1	1	1	1	1
[1]-age-[3]-3/4- {39.0000000, 49.5000000}	-1	1	1	1	1	1
[1]-age-[4]-4/4- {49.5000000, 60.0000000}	-1	1	1	1	1	1
[2]-gender-[5]- Female	-1	1	1	1	1	1
[2]-gender-[6]- Male	-1	1	1	1	1	1
[2]-gender-[7]- Other	1	-1	-1	-1	-1	-1
[3]- marital_status- [8]-Divorced	-1	1	1	1	1	1
[3]- marital_status- [9]-Married	-1	1	1	1	1	1
[3]- marital_status- [10]-Single	1	-1	-1	-1	-1	-1
[4]- education_level- [11]-Bachelor	-1	1	1	1	1	1
[4]- education_level- [12]-High School	-1	1	1	1	1	1
[4]- education_level- [13]-Master	1	-1	-1	-1	-1	-1
[4]- education_level- [14]-PhD	1	-1	-1	-1	-1	-1

ДЕНДРОГРАММА АГЛОМЕРАТИВНОЙ КЛАСТЕРИЗАЦИИ ПРИЗНАКОВ
 (С*) Персональная интеллектуальная on-line среда "Эйдос"
 Приложение: АСК-анализ рисков Ментальных Расстройств
 Модель: 7. INF4 - частный критерий: ROI (Return On Investment); вероятности из PRC-1
 Метод кластеризации: ward
 Дата и время создания: 2026-03-02 18:21:16

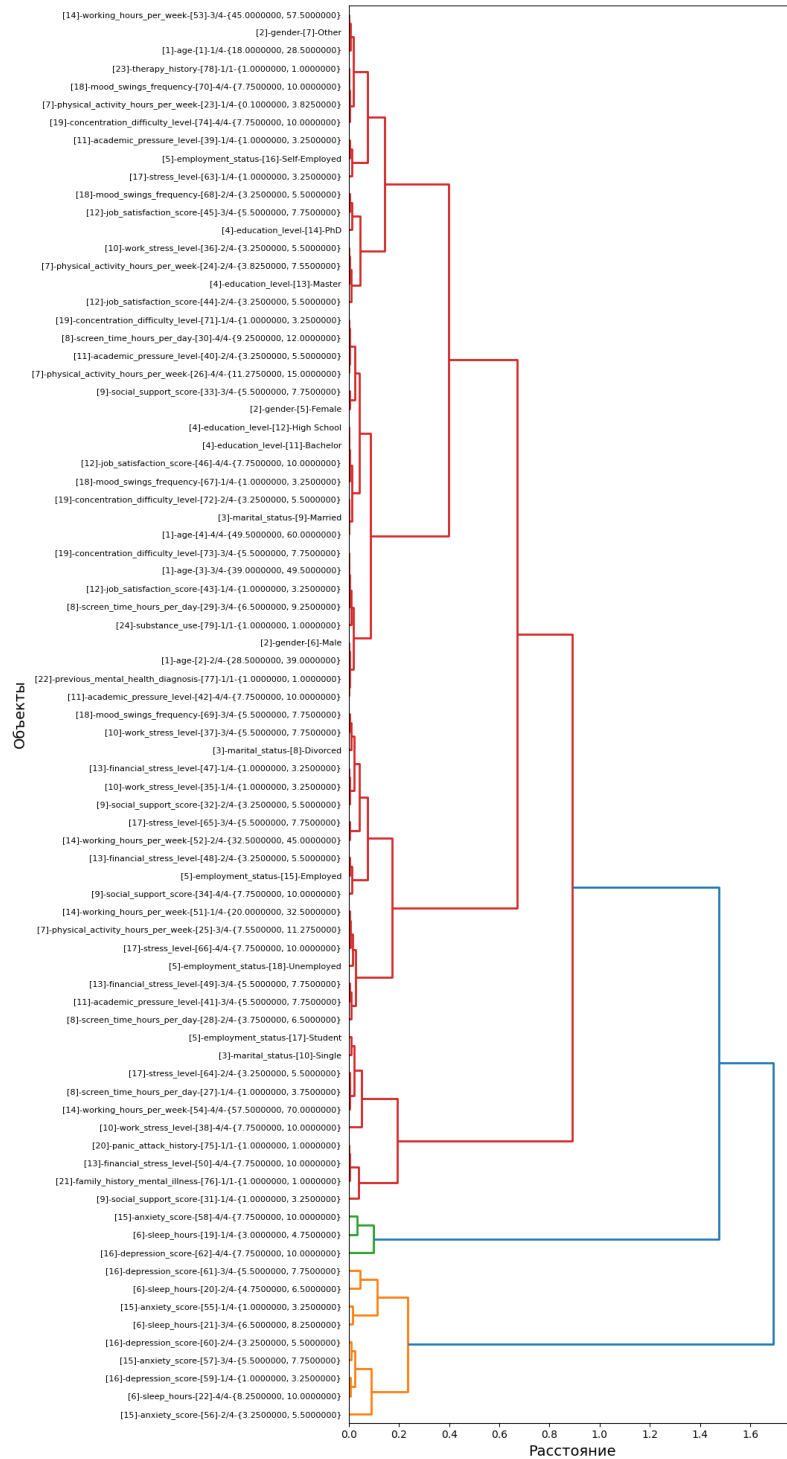


Рисунок 29. Агломеративная дендрограмма, полученная в результате когнитивной (истинной) кластеризации признаков (режим 4.3.2.3)

ЗАВИСИМОСТЬ МЕЖКЛАСТЕРНЫХ РАССТОЯНИЙ ОТ УРОВНЯ ИЕРАРХИИ (ПРИЗНАКИ)

Приложение: АСК-анализ рисков ментальных расстройств
 Модель: 7. INF4 - частный критерий: ROI (Return On Investment); вероятности из PRC-1
 Метод кластеризации: average

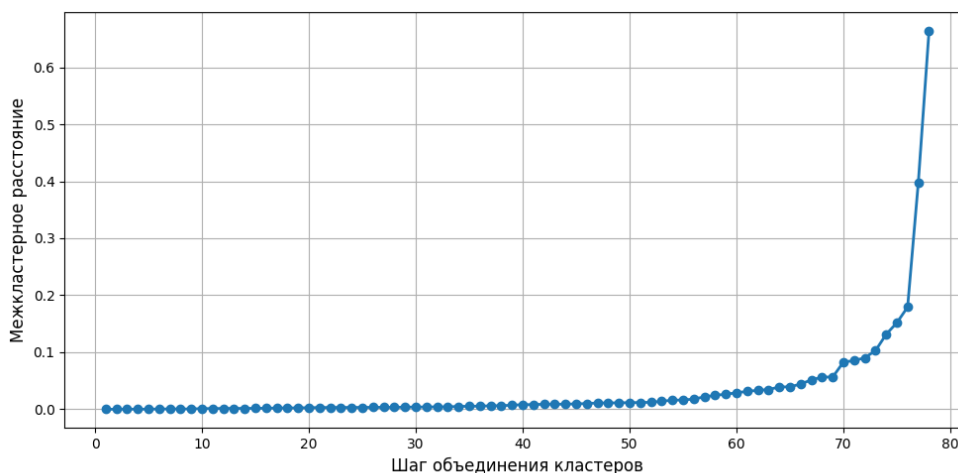


Рисунок 30. График изменения межкластерных расстояний (режим 4.3.2.3)

3.8.4. Модель знаний системы «Эйдос» и нелокальные нейроны

3.8.4.1. Универсальная постановка задачи, не зависящая от предметной области

Модель знаний системы «Эйдос» относится к **нечетким декларативным гибридным** моделям и объединяет в себе некоторые положительные особенности нейросетевой и фреймовой моделей представления знаний.

Классы в этой модели соответствуют нейронам и фреймам, а признаки рецепторам и шпациям (описательные шкалы – слотам).

От фреймовой модели представления знаний модель системы «Эйдос» отличается своей эффективной и простой программной реализацией, полученной за счет того, что разные фреймы отличаются друг от друга не набором слотов и шпаций, а лишь информацией в них. *Поэтому в системе «Эйдос» при увеличении числа фреймов само количество баз данных не увеличивается, а увеличивается лишь их размерность.* Это является очень важным свойством моделей системы «Эйдос», существенно облегчающим и упрощающим программную реализацию и быстрое действие системы.

От нейросетевой модели представления знаний модель системы «Эйдос» отличается тем, что [18]:

1) весовые коэффициенты на рецепторах не подбираются итерационным методом обратного распространения ошибки, а рассчитываются методом прямого счета на основе хорошо теоретически обоснованной модели, основанной на ***теории информации*** (это напоминает байесовские сети);

2) весовые коэффициенты имеют хорошо теоретически обоснованную *содержательную интерпретацию*, основанную на теории информации;

3) нейросеть является *нелокальной*, как сейчас говорят «полносвязной».

В системе «Эйдос» нелокальные нейроны визуализируются (режим 4.4.10 системы «Эйдос») в виде специальных графических форм, на которых сила и направление влияния рецепторов нейрона на степень его активации/торможения, которые отображаются соответственно в форме цвета и толщины дендрита (рисунок 31). В форме управления визуализацией есть возможность задавать фильтры по факторам, которые надо визуализировать.

3.8.4.2. Конкретное решение задачи в данной работе

4.4.10. Графическое отображение нелокальных нейронов в системе 'Эйдос'

Выбор нелокального нейрона (класса) для визуализации

Код	Наименование нелокального нейрона (класса)
1	[1]-RISK_LEVEL-[1]-high
2	[1]-RISK_LEVEL-[2]-low
3	[1]-RISK_LEVEL-[3]-medium

Подготовка визуализации нейрона: 1 "[1]-RISK_LEVEL-[1]-high" в модели: 4 "INF1"

АКТИВИРУЮЩИЕ рецепторы и сила их влияния

Код	Наименование описательной шкалы и градации	Сила
19	[7] sleep_hours -> [19] 1/3-(-3.0000000, 5.7363845)	0.1551
6	[2] gender -> [6] Other	0.1497
36	[12] financial_stress -> [36] 3/3-(-5.8959311, 10.0000000)	0.1214
15	[5] exam_pressure -> [15] 3/3-(-6.6956572, 10.0000000)	0.1203
22	[8] physical_activity -> [22] 1/3-(-0.0186973, 2.4644247)	0.0980
25	[9] social_support -> [25] 1/3-(-0.1024542, 4.0038240)	0.0944
12	[4] study_hours_per_day -> [12] 3/3-(-5.9653006, 11.5363859)	0.0774
29	[10] screen_time -> [29] 2/3-(-4.0945544, 5.9060962)	0.0588
39	[13] family_expectation -> [39] 3/3-(-6.9165005, 10.0000000)	0.0588
3	[1] age -> [3] 3/3-(-25.0000000, 29.0000000)	0.0494
2	[1] age -> [2] 2/3-(-21.0000000, 25.0000000)	0.0422

ТОРМОЗЯЩЕЕ рецепторы и сила их влияния

Код	Наименование описательной шкалы и градации	Сила
13	[5] exam_pressure -> [13] 1/3-(-1.9870814, 5.4009151)	-0.3091
10	[4] study_hours_per_day -> [10] 1/3-(-0.0316154, 4.3010886)	-0.3075
24	[8] physical_activity -> [24] 3/3-(-3.7159824, 7.0000000)	-0.3040
35	[12] financial_stress -> [35] 2/3-(-4.2364485, 5.8959311)	-0.1920
33	[11] internet_usage -> [33] 3/3-(-5.9694898, 12.7628539)	-0.1251
20	[7] sleep_hours -> [20] 2/3-(-5.7363845, 7.1098283)	-0.1251
37	[13] family_expectation -> [37] 1/3-(-0.5474334, 5.2180356)	-0.1251
27	[9] social_support -> [27] 3/3-(-5.7668523, 10.0000000)	-0.1251
1	[1] age -> [1] 1/3-(-17.0000000, 21.0000000)	-0.1077
30	[10] screen_time -> [30] 3/3-(-5.9060962, 11.5463767)	-0.0770
34	[12] financial_stress -> [34] 1/3-(-0.0156249, 4.2364485)	-0.0760

ВКЛЮЧИТЬ фильтр по фактору

Помощь ABS PRC1 PRC2 INF1 INF2 INF3 INF4 INF5 INF6 INF7

Сортировать рецепторы: по информативности по модулю информативности

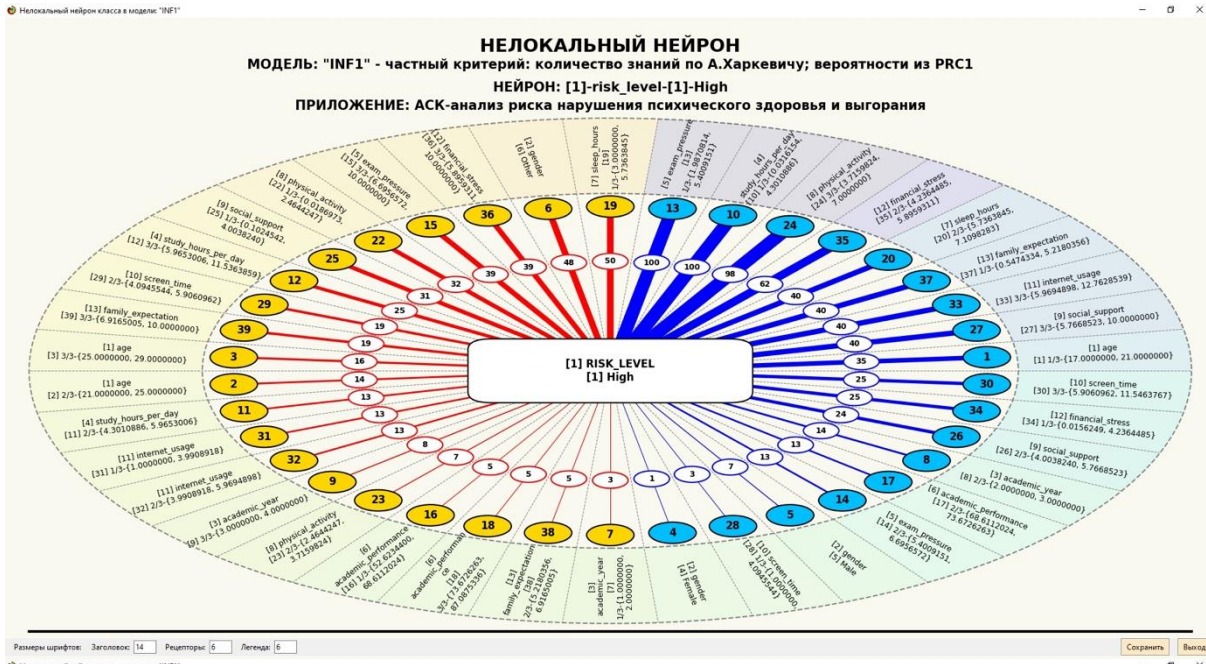
Отображать рецепторы: с наименованиями только с кодами

Размер изображения: по оси X: 1920 по оси Y: 1080

Размер шрифта графической формы: Заголовок: 14 Рецепторы: 6 Легенда: 6

Размер шрифта в таблицах данной формы: 9

СТАРТ Максимальное количество отображаемых рецепторов: 999 Минимальный вес. коэфф. отображаемых рецепторов: 0.000 ОДИН НЕЙРОН



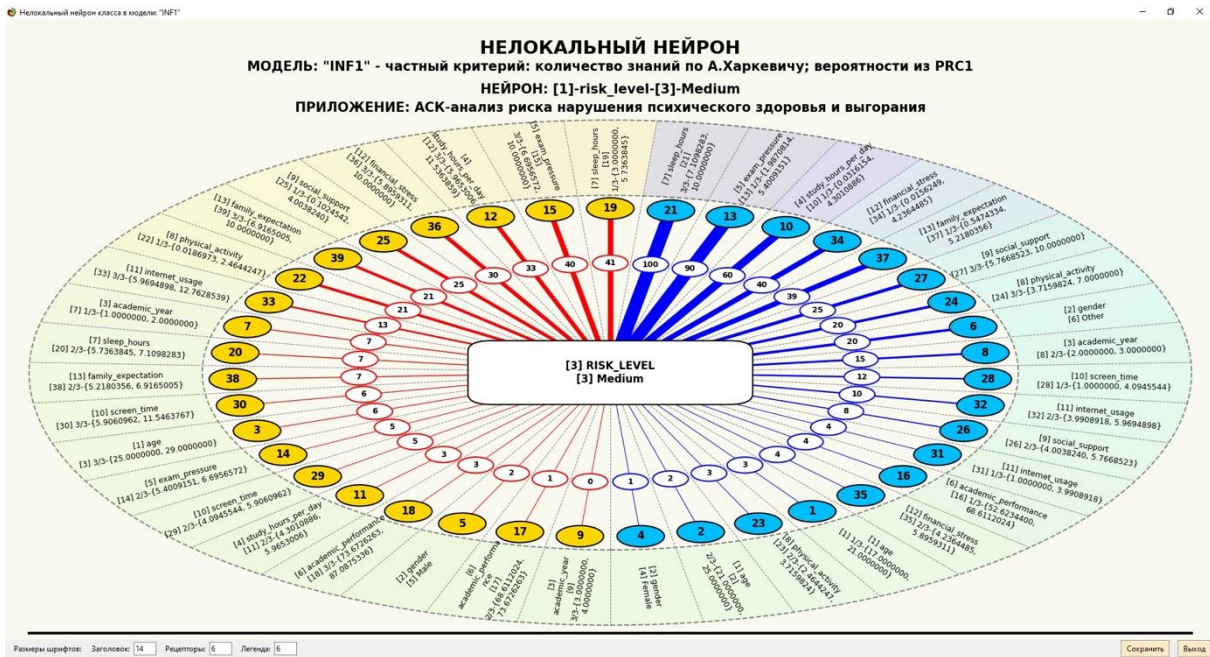


Рисунок 31. Примеры нелокальных нейронов, соответствующие классам

3.8.5. Нелокальная нейронная сеть

3.8.5.1. Универсальная постановка задачи, не зависящая от предметной области

В системе «Эйдос» есть возможность построения моделей, соответствующих многослойным нейронным сетям [18].

Есть также возможность визуализации любого одного слоя нелокальной нейронной сети (режим 4.4.11 системы «Эйдос»).

Такой слой в наглядной форме отражает силу и направление влияния рецепторов ряда нейрона на степень их активации/торможения в форме цвета и толщины дендритов.

Нейроны на изображении слоя нейронной сети расположены слева направо в порядке убывания модуля суммарной силы их детерминации рецепторами, т.е. слева находятся результаты, наиболее жестко обусловленные действующими на них значениями факторов, а справа – менее жестко обусловленные (рисунок 32). В форме управления визуализацией есть возможность задавать фильтры по факторам, которые надо визуализировать.

3.8.5.2. Конкретное решение задачи в данной работе

4.4.11. Отображение Парето-подмножества нелокальной нейронной сети в системе 'Эйдос'

Выбор нелокальных нейронов (классов) для визуализации в нейросети

Код	Наименование нелокального нейрона (класса)
1	[1]-RISK_LEVEL-[1]-high
2	[1]-RISK_LEVEL-[2]-low
3	[1]-RISK_LEVEL-[3]-medium

Подготовка визуализации нейрона: 1 "[1]-RISK_LEVEL-[1]-high" в модели: "INF1"

АКТИВИРУЮЩИЕ рецепторы и сила их влияния

Код	Наименование фактора и его значения	Сила влияния
19	[7] sleep_hours -> [19] 1/3-(-3.0000000, 5.7363845)	0.1551
6	[2] gender -> [6] Other	0.1497
36	[12] financial_stress -> [36] 3/3-(-5.8959311, 10.0000000)	0.1214
15	[5] exam_pressure -> [15] 3/3-(-6.0956572, 10.0000000)	0.1203
22	[8] physical_activity -> [22] 1/3-(-0.0186973, 2.4644247)	0.0980
25	[9] social_support -> [25] 1/3-(-0.1024542, 4.0038240)	0.0944
12	[4] study_hours_per_day -> [12] 3/3-(-5.9653006, 11.5363859)	0.0774
29	[10] screen_time -> [29] 2/3-(-4.0945544, 5.9060962)	0.0588
39	[13] family_expectation -> [39] 3/3-(-6.9165005, 10.0000000)	0.0588
3	[1] age -> [3] 3/3-(-25.0000000, 29.0000000)	0.0494
2	[1] age -> [2] 2/3-(-21.0000000, 25.0000000)	0.0422
11	[4] study_hours_per_day -> [11] 2/3-(-4.3010886, 5.9653006)	0.0401

ТОРМОЗЯЩИЕ рецепторы и сила их влияния

Код	Наименование фактора и его значения	Сила влияния
13	[5] exam_pressure -> [13] 1/3-(-1.9870814, 5.4009151)	-0.3091
10	[4] study_hours_per_day -> [10] 1/3-(-0.0316154, 4.3010886)	-0.3075
24	[8] physical_activity -> [24] 3/3-(-3.7159824, 7.0000000)	-0.3040
35	[12] financial_stress -> [35] 2/3-(-4.2364485, 5.8959311)	-0.1920
33	[11] internet_usage -> [33] 3/3-(-5.9694898, 12.7628539)	-0.1251
20	[7] sleep_hours -> [20] 2/3-(-5.7363845, 7.1098283)	-0.1251
37	[13] family_expectation -> [37] 1/3-(-0.5474334, 5.2180356)	-0.1251
27	[9] social_support -> [27] 3/3-(-5.7668523, 10.0000000)	-0.1231
1	[1] age -> [1] 1/3-(-17.0000000, 21.0000000)	-0.1077
30	[10] screen_time -> [30] 3/3-(-5.9060962, 11.5463767)	-0.0770
34	[12] financial_stress -> [34] 1/3-(-0.0156249, 4.2364485)	-0.0760
26	[9] social_support -> [26] 2/3-(-4.0038240, 5.7668523)	-0.0750

Параметры визуализации нейросети:

МАХ нейронов: 16 Диапазон кодов нейронов: 1 3
 МАХ рецепторов: 16 Диапазон кодов рецепторов: 1 39
 МАХ связей: 1000 Интенсивность >= % от макс.: 0.0

Размер шрифта графической формы: Заголовок: 14 Узлы: 8 Легенда: 7
 Размер шрифта в таблицах данной формы: 9

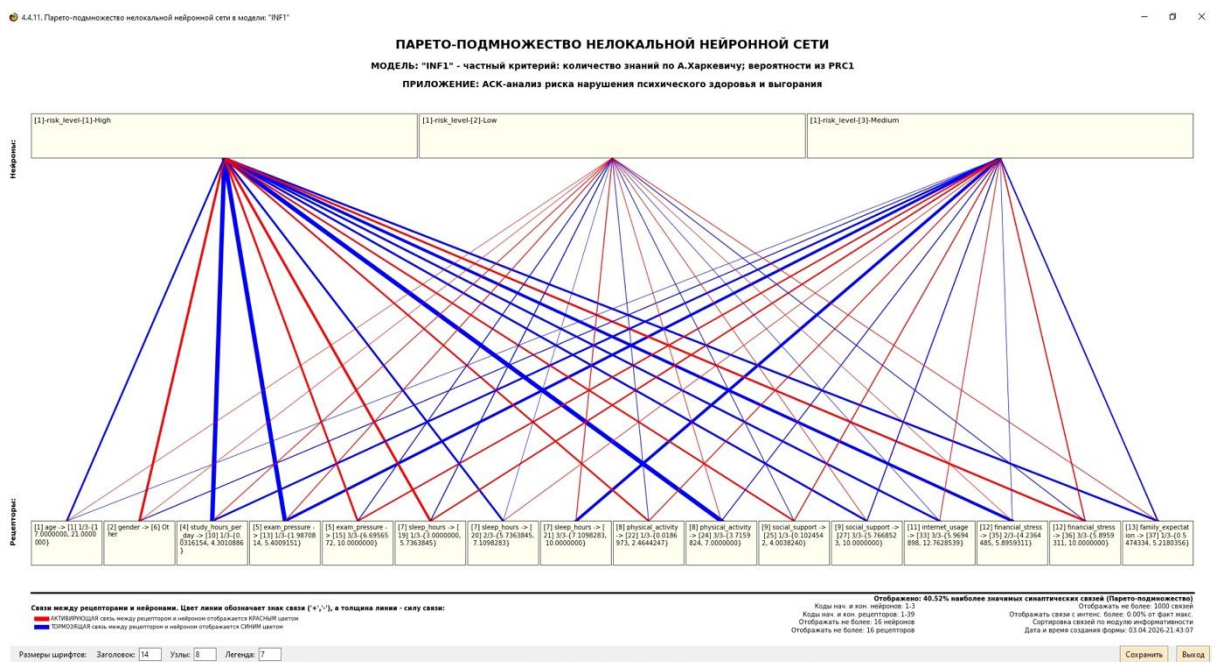


Рисунок 32. Нейронная сеть в СК-модели INF1

3.8.7. 2D-интегральные когнитивные карты содержательного сравнения классов (опосредованные нечеткие правдоподобные рассуждения)

3.8.7.1. Универсальная постановка задачи, не зависящая от предметной области

В 2d-когнитивных диаграммах сравнения классов по системе их детерминации видно, насколько сходны или насколько отличаются друг от друга классы по значениям обуславливающих их факторов.

Однако мы не видим из этой диаграммы, чем именно конкретно сходны и чем именно отличаются эти классы по значениям обуславливающих их факторов.

Это мы можем увидеть из когнитивной диаграммы содержательного сравнения классов, которая отображается в режиме 4.2.3 системы «Эйдос».

2D-интегральные когнитивные карты содержательного сравнения классов являются примерами опосредованных нечетких правдоподобных логических заключений, о которых может быть одним из первых писал Дьердь Пойа [19, 20]. Впервые об автоматизированной реализации рассуждений подобного типа в интеллектуальной системе «Эйдос» написано в 2002 году в работе [2] на странице 521¹¹. Позже об этом писалось в работе [3]¹² и ряде других работ автора, поэтому здесь подробнее рассматривать этот вопрос нецелесообразно.

Пример опосредованных правдоподобных рассуждений.

Допустим нам известно, что один человек имеет голубые глаза, а другой черные волосы. Спрашивается, эти признаки вносят вклад в сходство или в различие этих двух людей? В АСК-анализе и системе «Эйдос» этот вопрос решается так. В модели на основе кластерно-конструктивного анализа классов и значений факторов (признаков) известно, насколько те или иные признаки сходны или отличаются по их влиянию на объект моделирования. Поэтому понятно, что человек с голубыми глазами вероятнее всего блондин, а брюнет, скорее всего, имеет темные глаза. Так что понятно, что эти признаки вносят вклад в различие этих двух людей.

3.8.7.2. Конкретное решение задачи в данной работе

Примеры экранной формы управления и нескольких 2d-интегральных когнитивных карт содержательного сравнения классов по их системе детерминации приведены ниже на рисунках 34. Всего системой в данной модели генерируется 4 формы содержательного сравнения классов. Так как каждый из 2 классов сравнивается со всеми остальными, в т.ч. с собой, то всего получается $2^2=4$ подобных диаграмм. На рисунках 34 приводятся некоторые из этих диаграмм. Пользователь при желании всегда может скачать и установить систему «Эйдос» с сайта разработчика: http://lc.kubagro.ru/Installation_Eidos.php а затем в диспетчере приложений (режим 1.3) скачать и установить интеллектуальное облачное Эйдос-приложение №459 и получить в нем все выходные формы, как это описано в данной статье.

¹¹ https://www.elibrary.ru/download/elibrary_18632909_64818704.pdf, Таблица 7. 17, стр. 521

¹² <http://ej.kubagro.ru/2013/07/pdf/15.pdf>, стр.44.

4.2.3. Когнитивные диаграммы классов

Выбор классов для когнитивной диаграммы

Left	Right	Код	Наименование класса
<input checked="" type="checkbox"/>	<input checked="" type="checkbox"/>	0	ВСЕ КЛАССЫ
<input type="checkbox"/>	<input type="checkbox"/>	1	[1]-RISK_LEVEL-[1]-high
<input type="checkbox"/>	<input type="checkbox"/>	2	[1]-RISK_LEVEL-[2]-low
<input type="checkbox"/>	<input type="checkbox"/>	3	[1]-RISK_LEVEL-[3]-medium

Выбор способа фильтрации признаков

Left	Right	Код	Наименование описательной шкалы
<input checked="" type="checkbox"/>	<input checked="" type="checkbox"/>	0	ВСЕ
<input type="checkbox"/>	<input type="checkbox"/>	1	age
<input type="checkbox"/>	<input type="checkbox"/>	2	gender
<input type="checkbox"/>	<input type="checkbox"/>	3	academic_year
<input type="checkbox"/>	<input type="checkbox"/>	4	study_hours_per_day
<input type="checkbox"/>	<input type="checkbox"/>	5	exam_pressure
<input type="checkbox"/>	<input type="checkbox"/>	6	academic_performance
<input type="checkbox"/>	<input type="checkbox"/>	7	sleep_hours
<input type="checkbox"/>	<input type="checkbox"/>	8	physical_activity
<input type="checkbox"/>	<input type="checkbox"/>	9	social_support

Задание модели для расчета

Abs Prc1 Prc2 Inf1 Inf2 Inf3 Inf4 Inf5 Inf6 Inf7

Параметры взаимосвязей

Максимальное количество: 9999
 Учитывать с модулем силы выше %: 50

Параметры расчета

Классы для левого инф. портрета: [0] ВСЕ КЛАССЫ
 Классы для правого инф. портрета: [0] ВСЕ КЛАССЫ
 Описат. шкалы для левого инф. портрета: [0] ВСЕ
 Описат. шкалы для правого инф. портрета: [0] ВСЕ

Сравнить ли классы:
 сами с собой
 переставленные

Старт | Остановить | Продолжить | Выход | Инструкция | Помощь

Прогресс выполнения: Начало: 21:47:04 | Прошло: 0:00:03 | 11.1111111% | Осталось: 0:00:25 | Окончание: 21:47:33

Настройки отображения

Масштаб линий: 5.0
 Размер шрифта: 9
 Шрифт заголовка: 14

ИНВЕРСИВНАЯ ДИАГРАММА СОДЕРЖАТЕЛЬНОГО СРАВНЕНИЯ КЛАССОВ ПО СИСТЕМЕ ДЕТЕРМИНАЦИИ
пф3 - частный критерий: хи-квадрат; разности между фактическими и ожидаемыми а
ПРИЛОЖЕНИЕ: АСК-анализ риска нарушения психического здоровья и выгорания

Сходство/различие классов: 100.000%

Кл.шкала: [1] risk_level
Класс: [1] High

[7] sleep_hours [19] 1/3-{-3.0000000, 5.7363845}	I=-9.665 p=-609.793 K=-2.673
[12] financial_stress [36] 3/3-{-5.8959311, 10.0000000}	I=-6.703 p=-422.915 K=-1.854
[5] exam_pressure [15] 3/3-{-6.6956572, 10.0000000}	I=-6.665 p=-420.514 K=-1.844
[8] physical_activity [22] 1/3-{-0.0186973, 2.4644247}	I=-4.874 p=-307.531 K=-1.348
[4] study_hours_per_day [10] 1/3-{-0.0316154, 4.3010886}	I=-5.278 p=-333.001 K=-1.460
[5] exam_pressure [13] 1/3-{-1.9870814, 5.4009151}	I=-5.335 p=-336.602 K=-1.476
[7] sleep_hours [21] 3/3-{-7.1098283, 10.0000000}	I=-6.325 p=-399.695 K=-1.752

Кл.шкала: [1] risk_level
Класс: [1] High

[7] sleep_hours [19] 1/3-{-3.0000000, 5.7363845}	I=-9.665 p=-609.793 K=-2.673
[12] financial_stress [36] 3/3-{-5.8959311, 10.0000000}	I=-6.703 p=-422.915 K=-1.854
[5] exam_pressure [15] 3/3-{-6.6956572, 10.0000000}	I=-6.665 p=-420.514 K=-1.844
[8] physical_activity [22] 1/3-{-0.0186973, 2.4644247}	I=-4.874 p=-307.531 K=-1.348
[4] study_hours_per_day [10] 1/3-{-0.0316154, 4.3010886}	I=-5.278 p=-333.001 K=-1.460
[5] exam_pressure [13] 1/3-{-1.9870814, 5.4009151}	I=-5.335 p=-336.602 K=-1.476
[7] sleep_hours [21] 3/3-{-7.1098283, 10.0000000}	I=-6.325 p=-399.695 K=-1.752

СОДЕРЖАТЕЛЬНОЕ СРАВНЕНИЕ КЛАССОВ ПО ИХ СИСТЕМАМ ДЕТЕРМИНАЦИИ ЗНАЧЕНИЯМИ ФАКТОРОВ:

— СХОДСТВО классов отображается линиями связи КРАСНОГО цвета
— РАЗЛИЧИЕ классов отображается линиями связи СИНЕГО цвета

Толщина линии отражает степень влияния.

Метрики: I - Сила влияния (информативность); Iр - Информативность в % от теоретически-максимальной; Iс - Информативность в стандартизованных величинах.
 Форма создана: 03.04.2026-21:47:06

КОГНИТИВНАЯ ДИАГРАММА СОДЕРЖАТЕЛЬНОГО СРАВНЕНИЯ КЛАССОВ ПО СИСТЕМЕ ДЕТЕРМИНАЦИИ
МОДЕЛЬ: 4. Inf1 - частный критерий: количество знаний по А.Харкевичу; вероятности из Prc1
ПРИЛОЖЕНИЕ: АСК-анализ риска нарушения психического здоровья и выгорания

Сходство/различие классов: 100.000%

Кл.шкала: [1] risk_level
Класс: [1] High

[7] sleep_hours [19] 1/3-{-3.0000000, 5.7363845}	I=0.155 Iр=9.706 Iс=1.520
[2] gender [6] Other	I=0.150 Iр=9.443 Iс=1.473
[12] financial_stress [36] 3/3-{-5.8959311, 10.0000000}	I=0.121 Iр=7.657 Iс=1.230
[5] exam_pressure [15] 3/3-{-6.6956572, 10.0000000}	I=0.120 Iр=7.593 Iс=1.221
[8] physical_activity [24] 3/3-{-3.7159824, 7.0000000}	I=-0.304 Iр=-19.177 Iс=-2.422
[4] study_hours_per_day [10] 1/3-{-0.0316154, 4.3010886}	I=-0.308 Iр=-19.404 Iс=-2.453
[5] exam_pressure [13] 1/3-{-1.9870814, 5.4009151}	I=-0.309 Iр=-19.499 Iс=-2.466

Кл.шкала: [1] risk_level
Класс: [1] High

[7] sleep_hours [19] 1/3-{-3.0000000, 5.7363845}	I=0.155 Iр=9.706 Iс=1.520
[2] gender [6] Other	I=0.150 Iр=9.443 Iс=1.473
[12] financial_stress [36] 3/3-{-5.8959311, 10.0000000}	I=0.121 Iр=7.657 Iс=1.230
[5] exam_pressure [15] 3/3-{-6.6956572, 10.0000000}	I=0.120 Iр=7.593 Iс=1.221
[8] physical_activity [24] 3/3-{-3.7159824, 7.0000000}	I=-0.304 Iр=-19.177 Iс=-2.422
[4] study_hours_per_day [10] 1/3-{-0.0316154, 4.3010886}	I=-0.308 Iр=-19.404 Iс=-2.453
[5] exam_pressure [13] 1/3-{-1.9870814, 5.4009151}	I=-0.309 Iр=-19.499 Iс=-2.466

СОДЕРЖАТЕЛЬНОЕ СРАВНЕНИЕ КЛАССОВ ПО ИХ СИСТЕМАМ ДЕТЕРМИНАЦИИ ЗНАЧЕНИЯМИ ФАКТОРОВ:

— СХОДСТВО классов отображается линиями связи КРАСНОГО цвета
— РАЗЛИЧИЕ классов отображается линиями связи СИНЕГО цвета

Толщина линии отражает степень влияния.

Метрики: I - Сила влияния (информативность); Iр - Информативность в % от теоретически-максимальной; Iс - Информативность в стандартизованных величинах.
 Форма создана: 03.04.2026-21:49:05

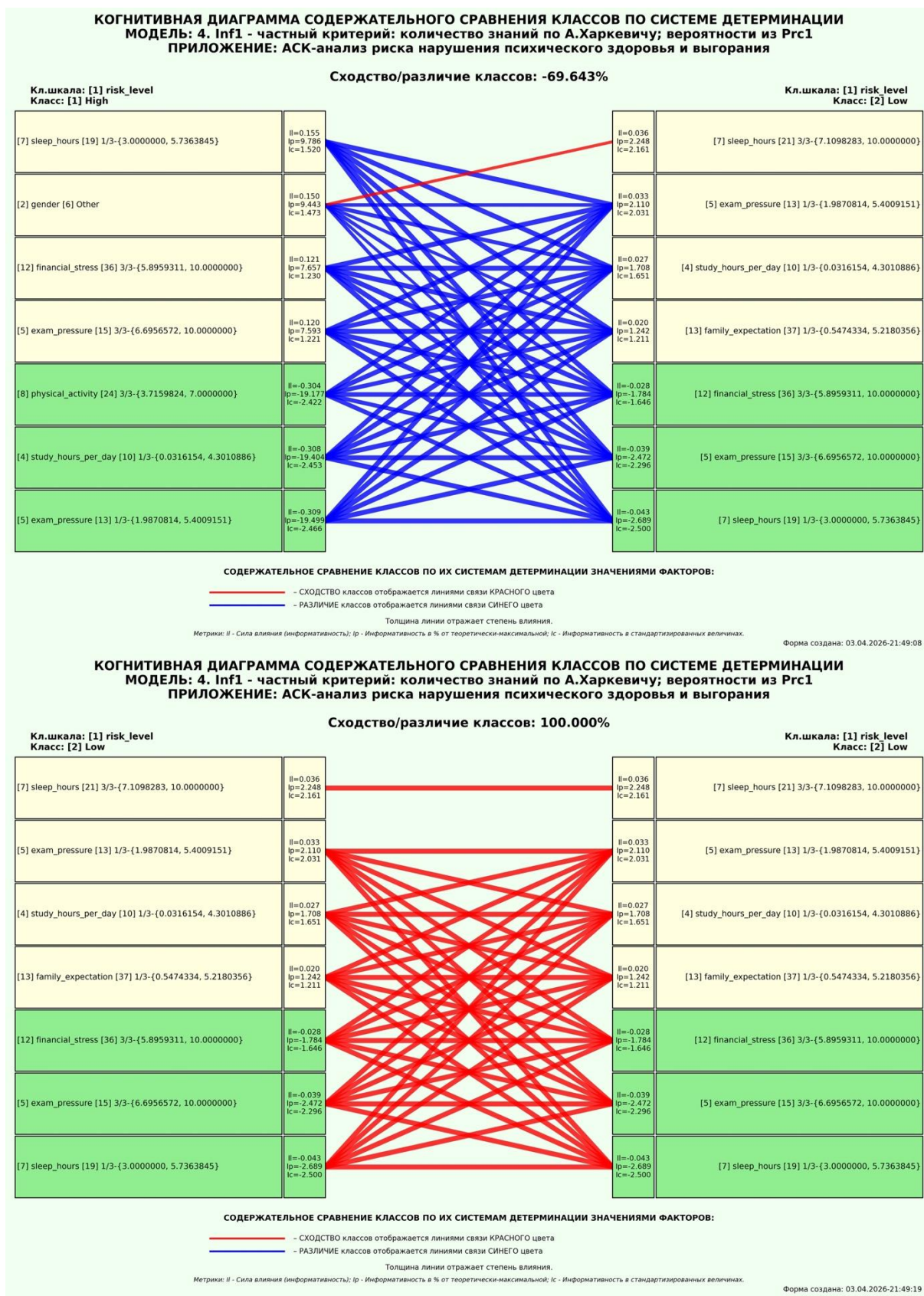


Рисунок 33. Примеры 2d-интегральных когнитивных карт содержательного сравнения классов по их системе детерминации в СК-модели INF1

3.8.8. 2D-интегральные когнитивные карты содержательного сравнения значений факторов (опосредованные нечеткие правдоподобные рассуждения)

3.8.8.1. Универсальная постановка задачи, не зависящая от предметной области

Из 2d-когнитивных диаграмм сравнения значений факторов по их влиянию на объект моделирования, т.е. на его переходы в состояния, соответствующие классам вполне понятно, насколько сходны или отличаются любые два значения факторов по их смыслу.

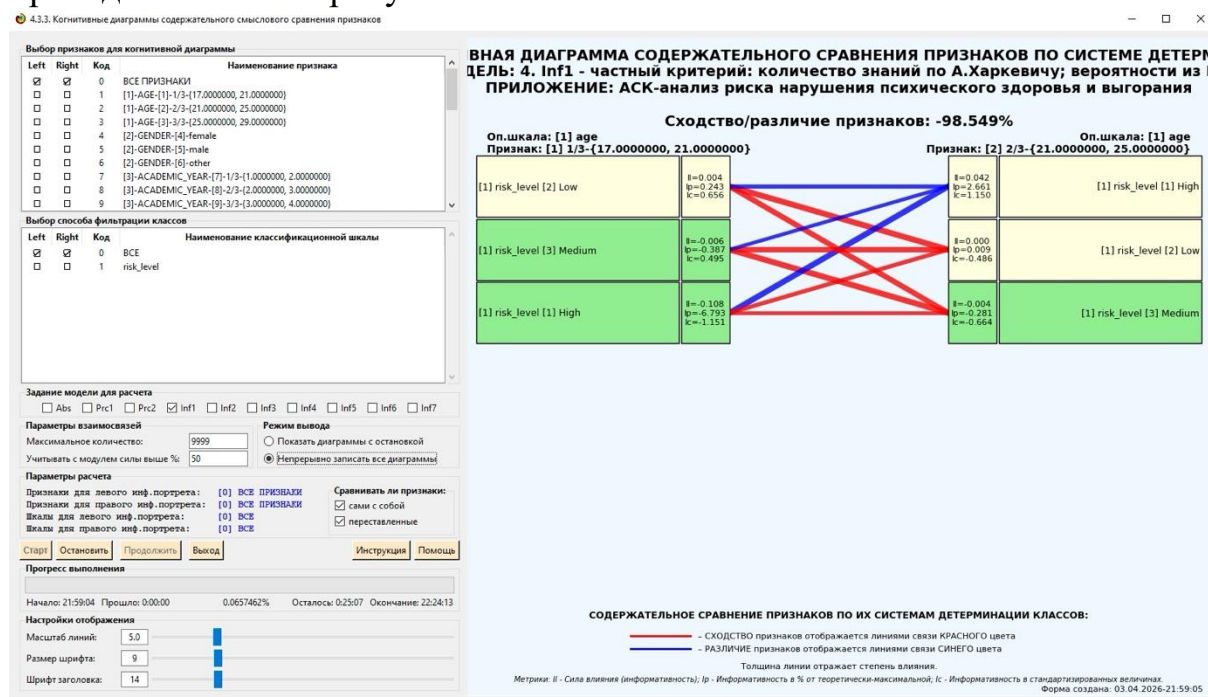
Напомним, что смысл событий, согласно концепции смысла Шенка-Абельсона, используемой в АСК-анализе, состоит в знании причин и последствий этих событий [21].

Однако из этой диаграммы не видно, чем именно конкретно содержательно сходны или отличаются значения факторов по их смыслу.

Это видно из когнитивных диаграмм, которые можно получить в режиме 4.3.3 системы «Эйдос».

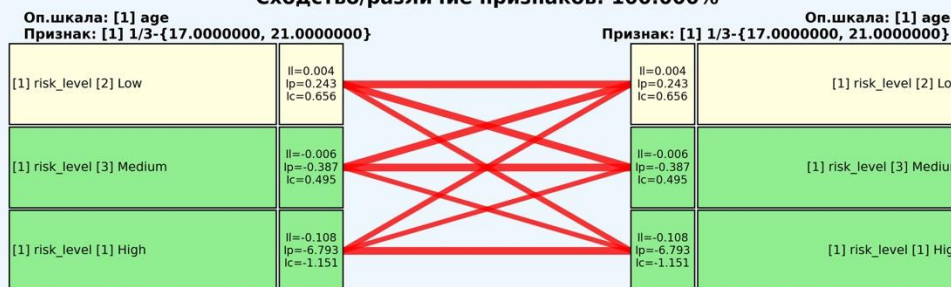
3.8.8.2. Конкретное решение задачи в данной работе

Примеры экранной формы управления и нескольких 2d-интегральных когнитивных карт содержательного сравнения значений факторов по их силе и направлению их влияния на переход объекта моделирования в будущие состояния, соответствующие классам, приведены ниже на рисунках 35:



КОГНИТИВНАЯ ДИАГРАММА СОДЕРЖАТЕЛЬНОГО СРАВНЕНИЯ ПРИЗНАКОВ ПО СИСТЕМЕ ДЕТЕРМИНАЦИИ
МОДЕЛЬ: 4. Inf1 - частный критерий: количество знаний по А.Харкевичу; вероятности из Prc1
ПРИЛОЖЕНИЕ: АСК-анализ риска нарушения психического здоровья и выгорания

Сходство/различие признаков: 100.000%



СОДЕРЖАТЕЛЬНОЕ СРАВНЕНИЕ ПРИЗНАКОВ ПО ИХ СИСТЕМАМ ДЕТЕРМИНАЦИИ КЛАССОВ:

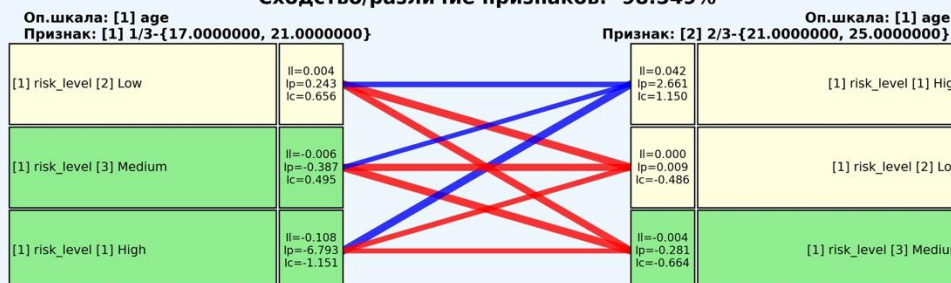
- - СХОДСТВО признаков отображается линиями связи КРАСНОГО цвета
- - РАЗЛИЧИЕ признаков отображается линиями связи СИНЕГО цвета

Толщина линии отражает степень влияния.

Метрики: И - Сила влияния (информативность); Ip - Информативность в % от теоретически-максимальной; Ic - Информативность в стандартизованных величинах.
 Форма создана: 03.04.2026-21:59:04

КОГНИТИВНАЯ ДИАГРАММА СОДЕРЖАТЕЛЬНОГО СРАВНЕНИЯ ПРИЗНАКОВ ПО СИСТЕМЕ ДЕТЕРМИНАЦИИ
МОДЕЛЬ: 4. Inf1 - частный критерий: количество знаний по А.Харкевичу; вероятности из Prc1
ПРИЛОЖЕНИЕ: АСК-анализ риска нарушения психического здоровья и выгорания

Сходство/различие признаков: -98.549%



СОДЕРЖАТЕЛЬНОЕ СРАВНЕНИЕ ПРИЗНАКОВ ПО ИХ СИСТЕМАМ ДЕТЕРМИНАЦИИ КЛАССОВ:

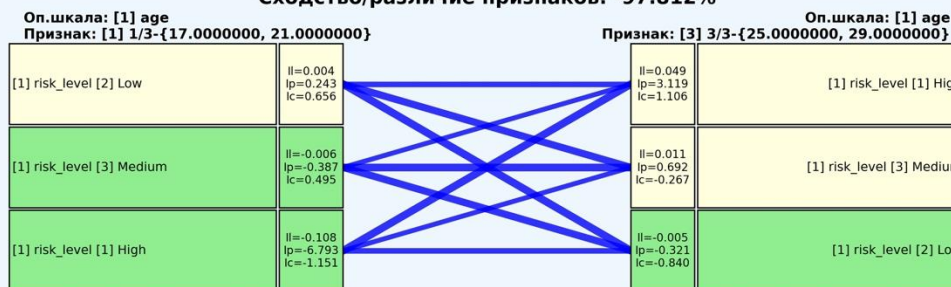
- - СХОДСТВО признаков отображается линиями связи КРАСНОГО цвета
- - РАЗЛИЧИЕ признаков отображается линиями связи СИНЕГО цвета

Толщина линии отражает степень влияния.

Метрики: И - Сила влияния (информативность); Ip - Информативность в % от теоретически-максимальной; Ic - Информативность в стандартизованных величинах.
 Форма создана: 03.04.2026-21:59:05

КОГНИТИВНАЯ ДИАГРАММА СОДЕРЖАТЕЛЬНОГО СРАВНЕНИЯ ПРИЗНАКОВ ПО СИСТЕМЕ ДЕТЕРМИНАЦИИ
МОДЕЛЬ: 4. Inf1 - частный критерий: количество знаний по А.Харкевичу; вероятности из Prc1
ПРИЛОЖЕНИЕ: АСК-анализ риска нарушения психического здоровья и выгорания

Сходство/различие признаков: -97.812%



СОДЕРЖАТЕЛЬНОЕ СРАВНЕНИЕ ПРИЗНАКОВ ПО ИХ СИСТЕМАМ ДЕТЕРМИНАЦИИ КЛАССОВ:

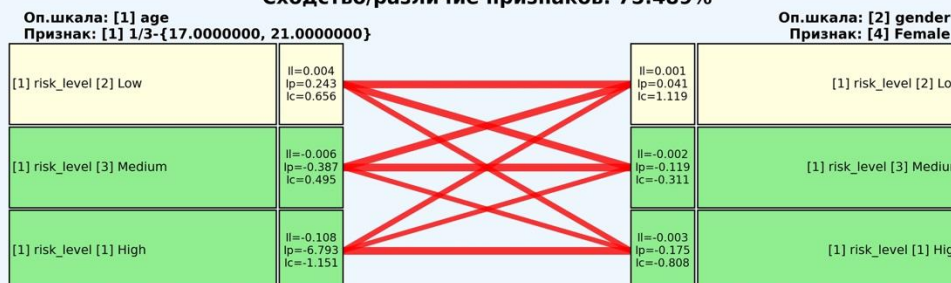
- - СХОДСТВО признаков отображается линиями связи КРАСНОГО цвета
- - РАЗЛИЧИЕ признаков отображается линиями связи СИНЕГО цвета

Толщина линии отражает степень влияния.

Метрики: И - Сила влияния (информативность); Ip - Информативность в % от теоретически-максимальной; Ic - Информативность в стандартизованных величинах.
 Форма создана: 03.04.2026-21:59:07

КОГНИТИВНАЯ ДИАГРАММА СОДЕРЖАТЕЛЬНОГО СРАВНЕНИЯ ПРИЗНАКОВ ПО СИСТЕМЕ ДЕТЕРМИНАЦИИ
МОДЕЛЬ: 4. Inf1 - частный критерий: количество знаний по А.Харкевичу; вероятности из Prc1
ПРИЛОЖЕНИЕ: АСК-анализ риска нарушения психического здоровья и выгорания

Сходство/различие признаков: 75.489%



СОДЕРЖАТЕЛЬНОЕ СРАВНЕНИЕ ПРИЗНАКОВ ПО ИХ СИСТЕМАМ ДЕТЕРМИНАЦИИ КЛАССОВ:

- - СХОДСТВО признаков отображается линиями связи КРАСНОГО цвета
- - РАЗЛИЧИЕ признаков отображается линиями связи СИНЕГО цвета

Толщина линии отражает степень влияния.

Метрики: И - Сила влияния (информативность); Ip - Информативность в % от теоретически-максимальной; Ic - Информативность в стандартизованных величинах.
 Форма создана: 03.04.2026-21:59:08

Рисунок 35. Примеры 2d-интегральных когнитивных карт содержательного сравнения значений факторов по их влиянию на переход объекта моделирования в состояния, соответствующие классам в СК-модели INF1

3.8.9. Когнитивные функции

3.8.9.1. Универсальная постановка задачи, не зависящая от предметной области

Когнитивные функции являются обобщением классического математического понятия функции на основе системной теории информации и предложены Е.В.Луценко в 2005 году [3, 22, 23].

Когнитивные функции отображают, какое количество информации содержится в градациях описательной шкалы о переходе объекта моделирования в состояния, соответствующие градациям классификационной шкалы. При этом в статистических и системно-когнитивных моделях в каждой градации описательной шкалы содержится информация обо всех градациях классификационной шкалы, т.е. *каждому значению аргумента соответствуют все значения функции, но соответствуют в разной степени, причем как положительной, так и отрицательной, которая отображается цветом.*

Когнитивные функции являются одним из наиболее мощных и наглядных средств когнитивной графики, имеющих в системе «Эйдос», позволяющих отобразить силу и направление влияния каждого значения каждого фактора на переход объекта моделирования в каждое из будущих состояний, соответствующих классам.

В системе «Эйдос» когнитивные функции отображаются в режиме 4.5 (рисунки 36). Первая экранная форма данного режима представляет собой краткий хелп, поясняющий смысл понятия «Когнитивная функция», а также позволяющий выйти на экранную форму системы «Эйдос» с действующими гиперссылками на работы по когнитивным функциям, а также страницы сайта автора со списком этих работ и работ автора по выявлению, представлению и использованию знаний, логике и методологии научного познания.

Необходимо отметить, что модели системы «Эйдос» – это *феноменологические* модели, отражающие *эмпирические* закономерности в фактах обучающей выборки, т.е. они отражают причинно-следственные связи, но не отражают *механизма детерминации*, а только сам факт и характер детерминации [17, 23, 24]. Содержательное объяснение этих эмпирических закономерностей формулируется уже экспертами на теоретическом уровне познания в содержательных научных законах [24].

3.8.9.2. Конкретное решение задачи в данной работе

В системе «Эйдос» когнитивные функции отображаются в режиме 4.5 (рисунки 36). Количество когнитивных функций равно количеству

сочетаний описательных и классификационных шкал. В модели, рассматриваемой в данной работе, есть 13 описательных шкал и 1 классификационная, поэтому получается 13 когнитивных функций:

4.5. Генерация, визуализация и запись когнитивных функций системы "Эйдос"

Задайте модели для генерации:

Статистические базы:

- 1. ABS - частный критерий: количество встреч сочетаний "класс-признак" у объектов обуч. выборки
- 2. PRC1 - частный критерий: усл. вероятность 1-го признака среди признаков объектов 2-го класса
- 3. PRC2 - частный критерий: условная вероятность 1-го признака у объектов 2-го класса

Системно-когнитивные модели (Базы знаний):

- 4. INF1 - частный критерий: количество знаний по А. Харкевичу; вероятности из PRC-1
- 5. INF2 - частный критерий: количество знаний по А. Харкевичу; вероятности из PRC-2
- 6. INF3 - частный критерий: Хи-квадрат, разности между фактическими и ожидаемыми абс. частотами
- 7. INF4 - частный критерий: ROI (Return On Investment); вероятности из PRC-1
- 8. INF5 - частный критерий: ROI (Return On Investment); вероятности из PRC-2
- 9. INF6 - частный критерий: разн. усл. и безуслов. вероятностей; вероятности из PRC-1
- 10. INF7 - частный критерий: разн. усл. и безуслов. вероятностей; вероятности из PRC-2

Задайте виды когнитивных функций:

- 1. Сетка триангуляции Делоне без цветовой заливки
- 2. Сглаженная изолинии триангуляции Делоне без цветовой заливки
- 3. Сетка триангуляции Делоне с цветовой заливкой
- 4. Сглаженная изолинии триангуляции Делоне с цветовой заливкой
- 5. Сглаженная цветовая заливка изолиний с заданным количеством градаций цвета

Задайте дополнительные параметры:

- Соединить ли точки с максимальным количеством информации линией БЕЛОГО цвета?
- Соединить ли точки с минимальным количеством информации линией ЧЕРНОГО цвета?
- Добавить в когнитивные функции координатную сетку

Метод сглаживания линий

Слайды Акимы (по умолчанию) Составные сплайны Безье Без сглаживания (ломаная)

Задайте количество градаций уровня (цвета и изолиний) когнитивных функций:

Задайте количество пикселей на дюйм в изображениях когнитивных функций:

Задайте паузу в секундах между визуализациями когнитивных функций:

Задайте размер шрифта для наименований градаций шкал X и Y:

Задайте яркость цветовой палитры (0.5-2.0):

23:01:24: Обработка: INF1, age, risk_level
23:01:25: Визуализация '5. Сглаженная цветовая заливка изолиний с заданным количеством градаций цвета' заняла 1.09 сек.
23:01:26: Обработка: INF1, depend, risk_level

Начало: 23:01:24 Прошло: 0:00:01 7.6923077% Осталось: 0:00:19 Окончание: 23:01:45

Визуализация когнитивных функций: Питон Дельфи

Предпросмотр

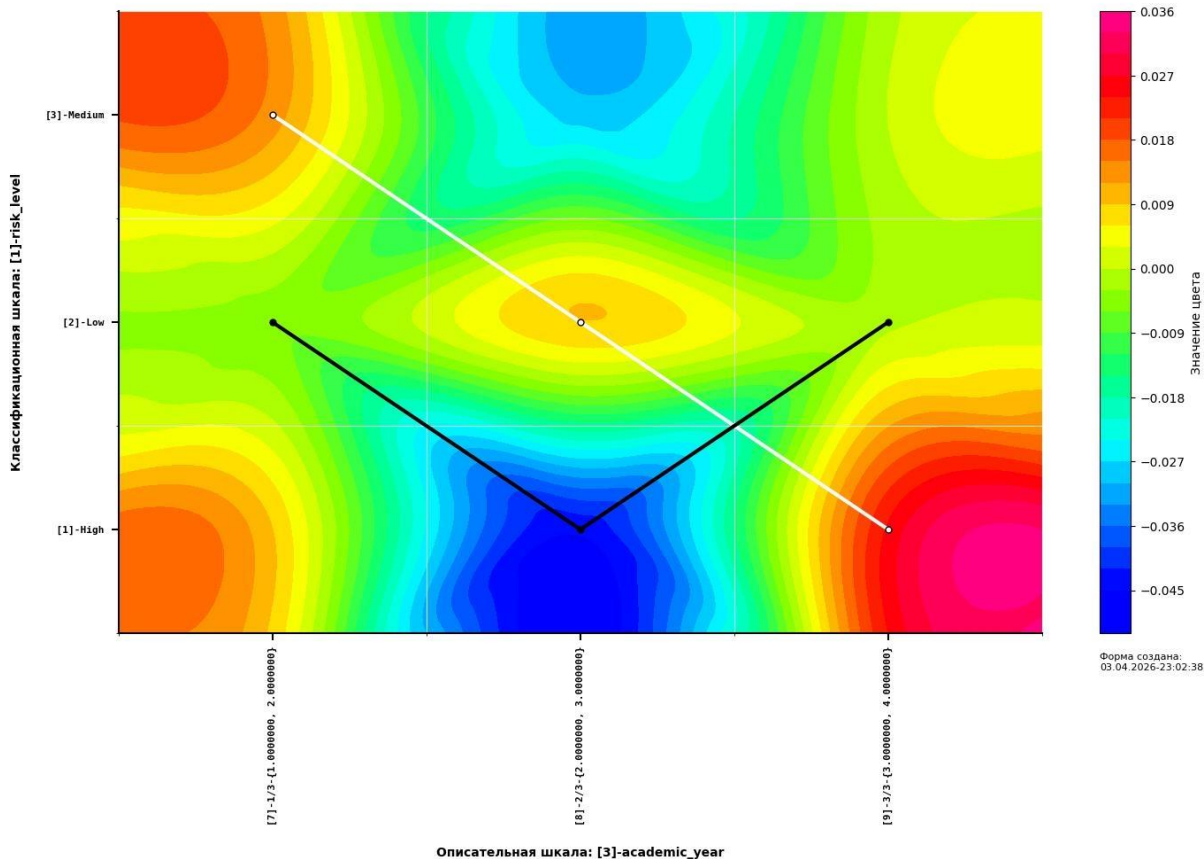
КОГНИТИВНАЯ ФУНКЦИЯ

Приложение: "АСК-анализ риска нарушения психического здоровья и выгорания"
Модель: "INF1 - частный критерий: количество знаний по А. Харкевичу; вероятности из PRC-1"
Функция: "5. Сглаженная цветовая заливка изолиний с заданным количеством градаций цвета"
Метод сглаживания линий: Составные сплайны Безье (Cubic Spline)

Описательная шкала: [1]-age
INF1-1-1-plot_smoothed_colored_contourf.jpg

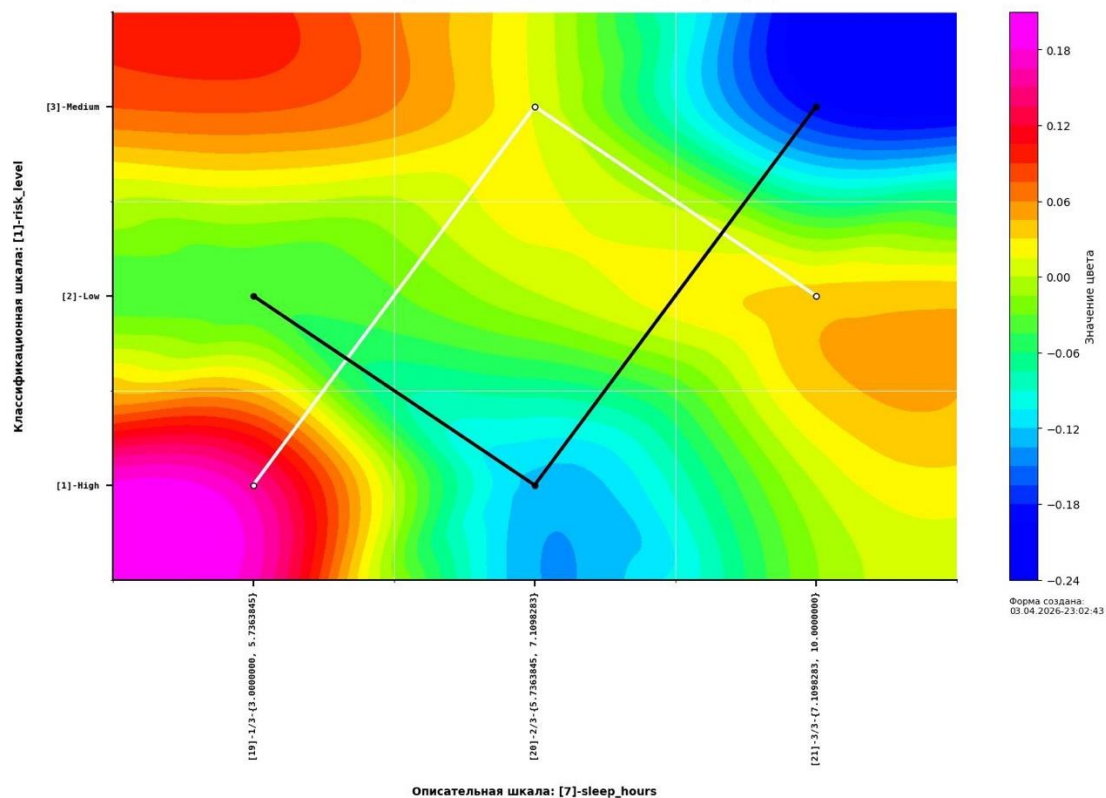
КОГНИТИВНАЯ ФУНКЦИЯ

Приложение: "АСК-анализ риска нарушения психического здоровья и выгорания"
Модель: "INF1 - частный критерий: количество знаний по А. Харкевичу; вероятности из PRC-1"
Функция: "5. Сглаженная цветовая заливка изолиний с заданным количеством градаций цвета"
Метод сглаживания линий: Составные сплайны Безье (Cubic Spline)



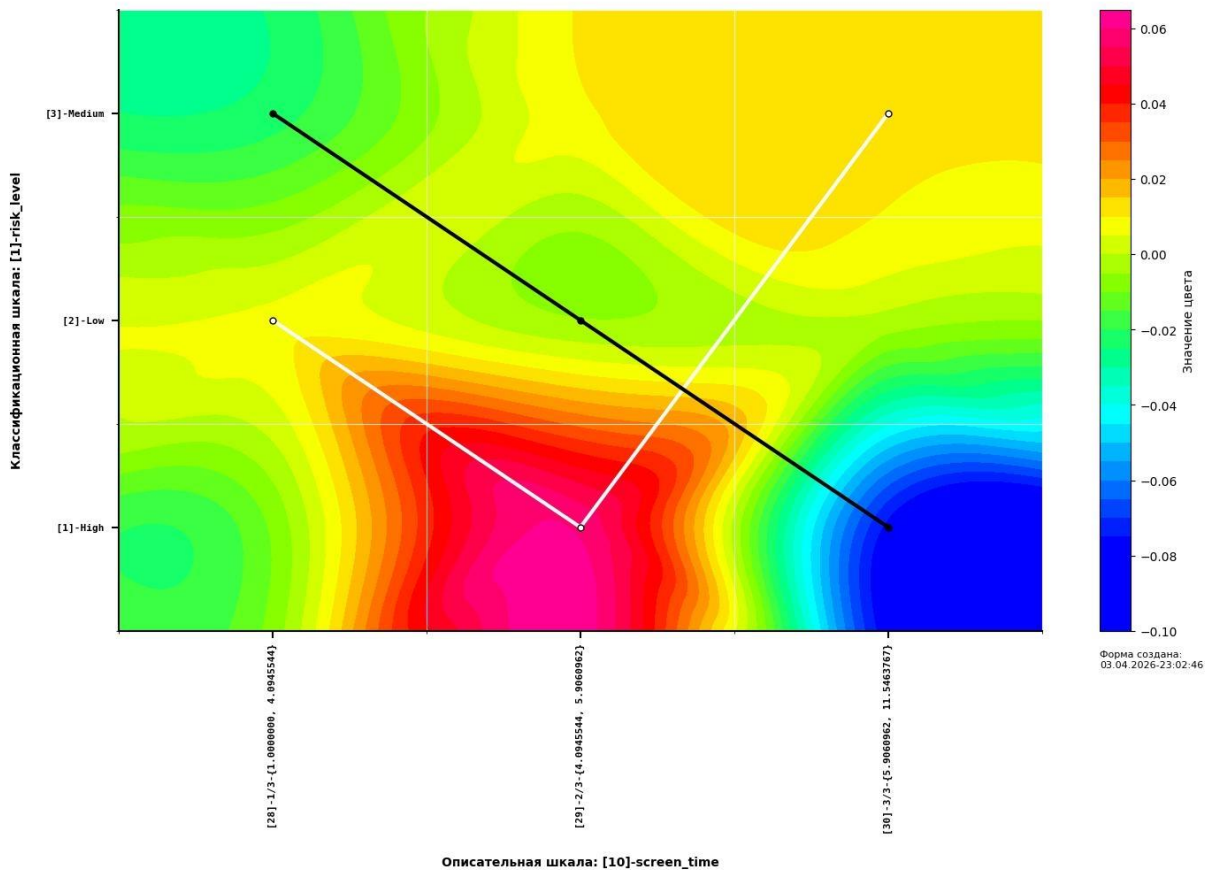
КОГНИТИВНАЯ ФУНКЦИЯ

Приложение: 'АСК-анализ риска нарушения психического здоровья и выгорания'
 Модель: 'INF1 - частный критерий: количество знаний по А. Харкевичу; вероятности из PRC-1'
 Функция: '5. Сглаженная цветовая заливка изолиний с заданным количеством градаций цвета'
 Метод сглаживания линий: Составные сплайны Безье (Cubic Spline)



КОГНИТИВНАЯ ФУНКЦИЯ

Приложение: 'АСК-анализ риска нарушения психического здоровья и выгорания'
 Модель: 'INF1 - частный критерий: количество знаний по А. Харкевичу; вероятности из PRC-1'
 Функция: '5. Сглаженная цветовая заливка изолиний с заданным количеством градаций цвета'
 Метод сглаживания линий: Составные сплайны Безье (Cubic Spline)



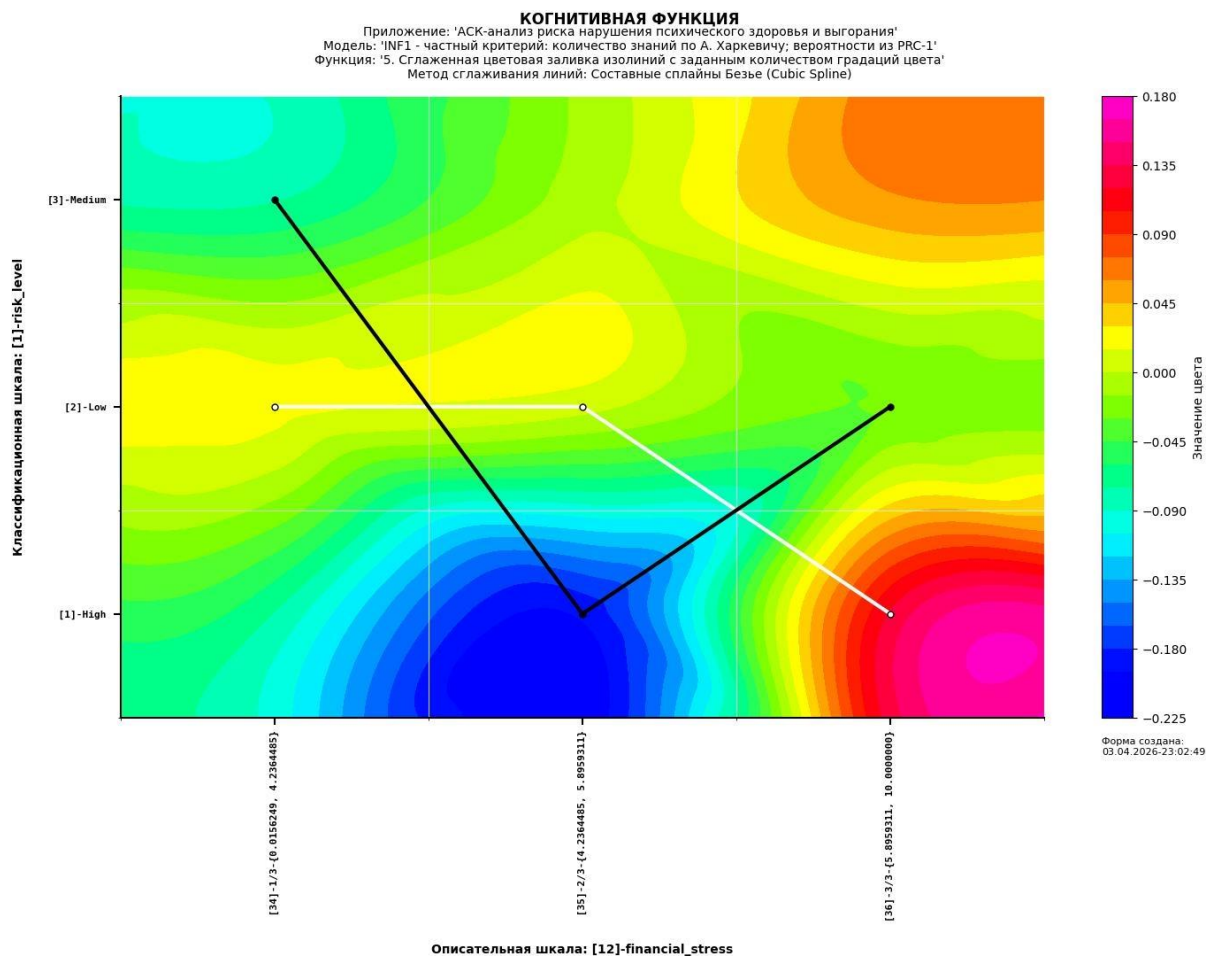


Рисунок 36. Примеры когнитивных функций в СК-модели INF1

Как уже отмечалось содержательное объяснение когнитивных функций на теоретическом уровне познания – это дело специалистов в той предметной области, к которой относится предмет моделирования [24].

3.8.10. Значимость описательных шкал и их градаций

3.8.10.1. Универсальная постановка задачи, не зависящая от предметной области

В АСК-анализе все факторы рассматриваются с одной единственной точки зрения: сколько информации содержится в их значениях о переходе объекта моделирования и управления, на который они действуют, в определенное будущее состояние, описываемое классом (градация классификационной шкалы), и при этом сила и направление влияния всех значений факторов на объект измеряется в одних общих для всех факторов единицах измерения: единицах количества информации [6].

Значимость (селективная сила) градаций описательных шкал в АСК-анализе – это вариабельность частных критериев в статистических и системно-когнитивных моделях, например в модели Inf1, это вариабельность информативностей (режим 3.7.5 системы «Эйдос») (рисунок 37):

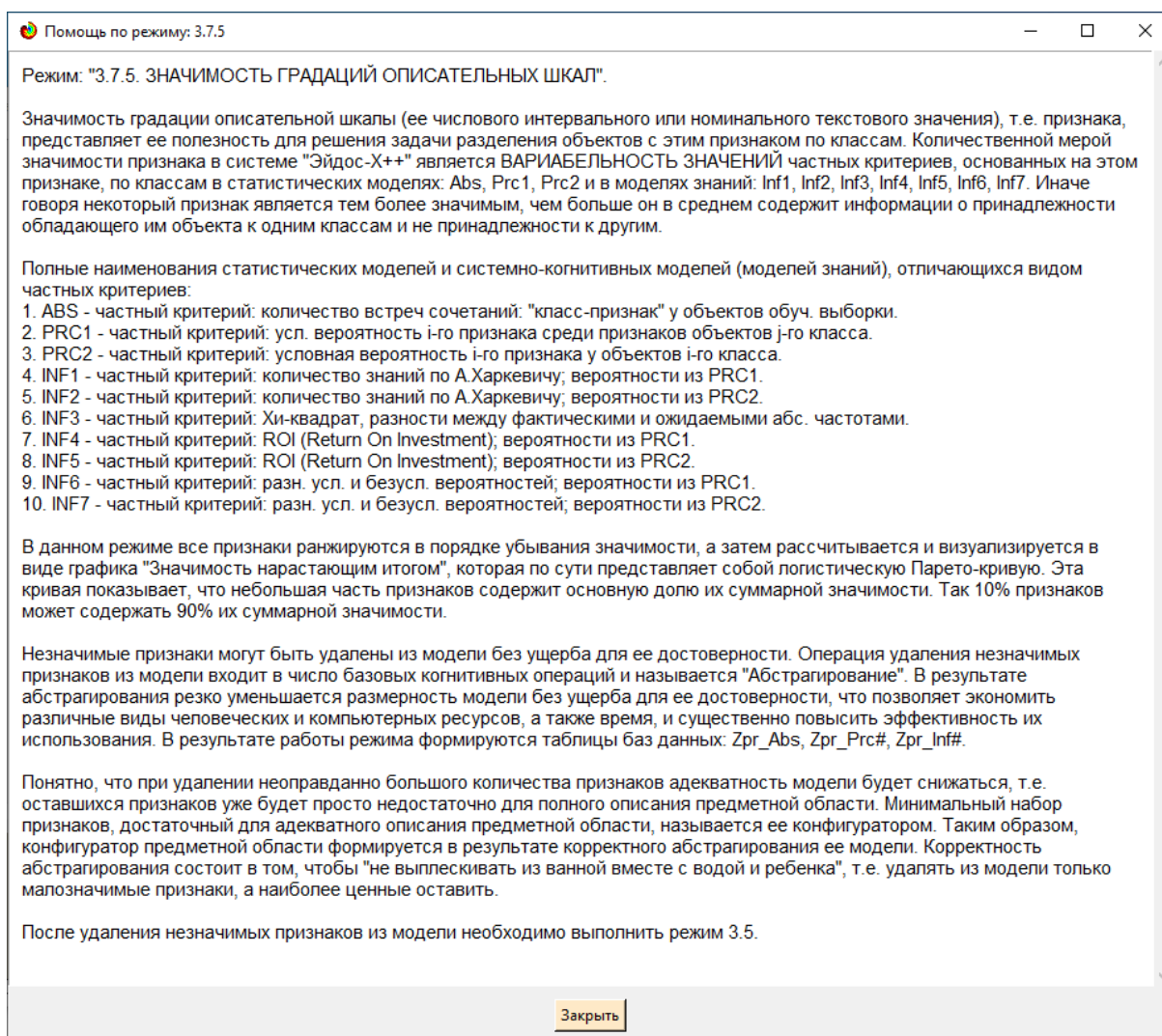


Рисунок 37. Help режима 3.7.5, поясняющий смысл значимости градаций описательных шкал

Значимость всей описательной шкалы является средним от степени значимости ее градаций (режим 3.7.4 системы «Эйдос»).

Если рассортировать все градации факторов (признаки) в порядке убывания селективной силы и получить сумму селективной силы системы значений факторов нарастающим итогом, то получим Парето-кривую.

3.8.10.2. Конкретное решение задачи в данной работе

На рисунке 38 приведена Парето-кривая силы влияния значений факторов на поведение объекта моделирования в СК-модели INF1:

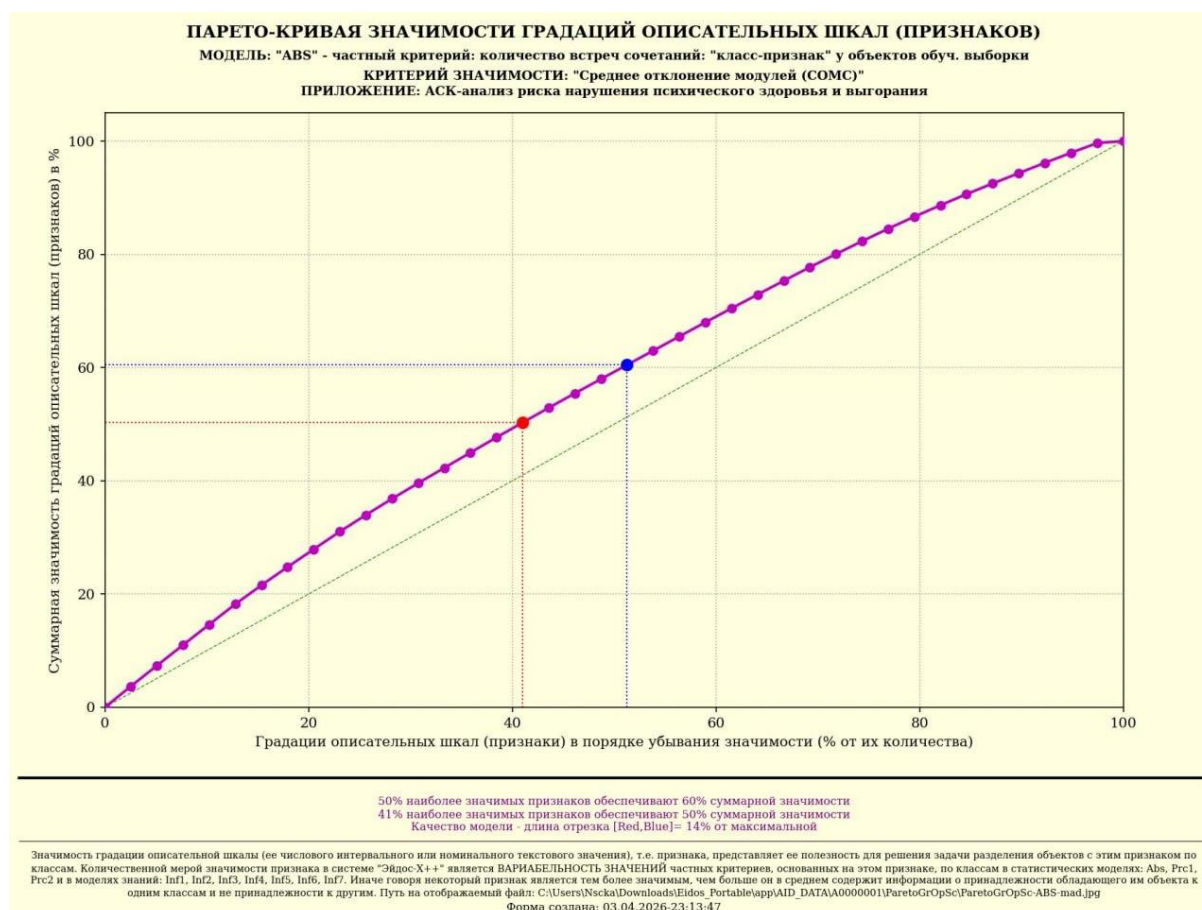


Рисунок 38. Парето-кривая силы влияния значений факторов на поведение объекта моделирования в СК-модели INF1

Из рисунка 38 (Парето-кривая значимости градаций описательных шкал) видно, что примерно 41% наиболее значимых градаций факторов обеспечивают 50% суммарного влияния на риск нарушения психического здоровья и выгорания студентов, а 50% наиболее значимых градаций обеспечивают уже 85% суммарного влияния.

Это свидетельствует о высокой степени концентрации влияния: относительно небольшое количество комбинаций учебной нагрузки и параметров образа жизни оказывает определяющее воздействие на формирование риска. На рисунке 39 система «Эйдос» представила рейтинг качества различных статистических и системно-когнитивных моделей. Кроме того, на этом рисунке приведены имена Excel-файлов, содержащих подробную информацию о силе и направлении влияния значений факторов в разных моделях.

В таблице 16 представлены исходные данные для построения кумулятивной кривой на рисунке 38. Из таблицы 16 видно, какую долю от суммарного влияния на переход объекта моделирования в будущее состояния, соответствующие классам, имеет каждое значение каждого фактора.

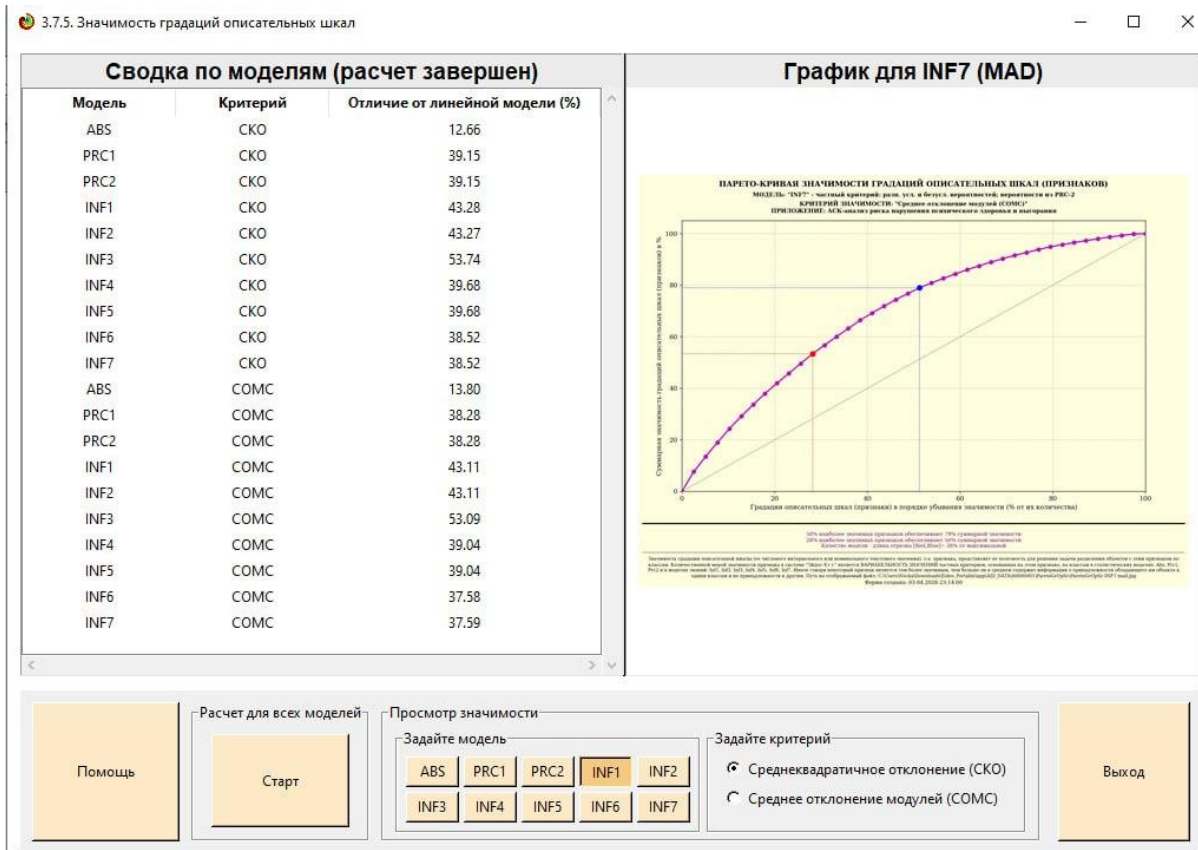


Рисунок 39. Рейтинг качества статистических и системно-когнитивных моделей

Таблица 15 – Сила влияния значений факторов на поведение объекта моделирования в СК-модели INF1 (фрагмент)

	A	B	C	D	E	F	G	H	I
1	num	num_prc	kod_atr	name_atr	kod_opsc	znach_atr	zn_atrnit	znach_prc	zn_prcnit
2	1	2,56410256	24	physical_activity - 3/3-{3.7159824, 7.0000000}	8	0,12963	0,12963	8,16917	8,16917
3	2	5,12820513	13	exam_pressure - 1/3-{1.9870814, 5.4009151}	5	0,12153	0,25116	7,65822	15,8274
4	3	7,69230769	10	study_hours_per_day - 1/3-{0.0316154, 4.3010886}	4	0,11739	0,36855	7,39728	23,2247
5	4	10,2564103	21	sleep_hours - 3/3-{7.1098283, 10.0000000}	7	0,09231	0,46086	5,81726	29,0419
6	5	12,8205128	35	financial_stress - 2/3-{4.2364485, 5.8959311}	12	0,08486	0,54571	5,34731	34,3892
7	6	15,3846154	6	gender - Other	2	0,07398	0,61969	4,66187	39,0511
8	7	17,9487179	19	sleep_hours - 1/3-{3.0000000, 5.7363845}	7	0,07079	0,69048	4,46084	43,5119
9	8	20,5128205	15	exam_pressure - 3/3-{6.6956572, 10.0000000}	5	0,06124	0,75172	3,85888	47,3708
10	9	23,0769231	33	internet_usage - 3/3-{5.9694898, 12.7628539}	11	0,05971	0,81143	3,76293	51,1338
11	10	25,6410256	20	sleep_hours - 2/3-{5.7363845, 7.1098283}	7	0,05806	0,86949	3,65907	54,7928
12	11	28,2051282	37	family_expectation - 1/3-{0.5474334, 5.2180356}	13	0,05296	0,92246	3,33769	58,1305
13	12	30,7692308	36	financial_stress - 3/3-{5.8959311, 10.0000000}	12	0,05234	0,9748	3,29834	61,4288
14	13	33,3333333	27	social_support - 3/3-{5.7668523, 10.0000000}	9	0,04747	1,02227	2,99157	64,4204
15	14	35,8974359	1	age - 1/3-{17.0000000, 21.0000000}	1	0,04735	1,06962	2,9836	67,404
16	15	38,4615385	12	study_hours_per_day - 3/3-{5.9653006, 11.5363859}	4	0,04359	1,11321	2,7469	70,1509
17	16	41,025641	34	financial_stress - 1/3-{0.0156249, 4.2364485}	12	0,04248	1,15569	2,67699	72,8279
18	17	43,5897436	25	social_support - 1/3-{0.1024542, 4.0038240}	9	0,04121	1,19689	2,59661	75,4245
19	18	46,1538462	22	physical_activity - 1/3-{0.0186973, 2.4644247}	8	0,03887	1,23576	2,44943	77,874

Источник: c:\Aidos-X\AID_DATA\A0000001\System\Zpr_Inf1.xlsx

В таблице 17 приведена информация о силе влияния факторов на переход объекта моделирования в различные будущие состояния, соответствующие классам, в системно-когнитивной модели INF1.

Таблица 16 – Сила влияния факторов на поведение объекта моделирования в системно-когнитивной модели INF1

	A	B	C	D	E	F	G	H	I	J	K
1	num	num_prc	kod_opsc	name_opsc	n_gropsc	kodgr_min	kodgr_max	znach_os	zn_osnit	znach_prc	zn_prcnit
2	1	7,69231	7	sleep_hours	3	19	21	0,073721881	0,07372	13,9372	13,9372
3	2	15,3846	5	exam_pressure	3	13	15	0,067307351	0,14103	12,7245	26,6617
4	3	23,0769	12	financial_stress	3	34	36	0,059892054	0,20092	11,3226	37,9843
5	4	30,7692	8	physical_activity	3	22	24	0,059720337	0,26064	11,2902	49,2745
6	5	38,4615	4	study_hours_per_day	3	10	12	0,059387183	0,32003	11,2272	60,5017
7	6	46,1538	9	social_support	3	25	27	0,039963734	0,35999	7,55517	68,0569
8	7	53,8462	11	internet_usage	3	31	33	0,033114878	0,39311	6,26039	74,3172
9	8	61,5385	13	family_expectation	3	37	39	0,030422089	0,42353	5,75132	80,0686
10	9	69,2308	1	age	3	1	3	0,029237087	0,45277	5,52729	85,5959
11	10	76,9231	2	gender	3	4	6	0,028396515	0,48116	5,36838	90,9642
12	11	84,6154	10	screen_time	3	28	30	0,023778829	0,50494	4,4954	95,4596
13	12	92,3077	3	academic_year	3	7	9	0,012744491	0,51769	2,40936	97,869
14	13	100	6	academic_performance	3	16	18	0,011272138	0,52896	2,13101	100

Источник: c:\Aidos-X\AID_DATA\A0000001\System\ZOS_Inf1.xlsx

Из таблицы 17 видно, что примерно 43 % суммарного влияния на риск нарушения психического здоровья и выгорания студентов обусловлено тремя наиболее значимыми факторами: недостаточной продолжительностью сна (sleep_hours), высоким экзаменационным давлением (exam_pressure) и повышенным финансовым стрессом (financial_stress).

Таким образом, три наиболее значимых фактора, составляющие около 23 % от общего количества градаций описательных шкал, обеспечивают 43 % суммарного влияния на уровень риска. Данный результат подтверждает высокую степень концентрации влияния и указывает на приоритетность именно этих факторов при разработке профилактических мероприятий.

3.8.11. Степень детерминированности классов и классификационных шкал

3.8.11.1. Универсальная постановка задачи, не зависящая от предметной области

Степень детерминированности (обусловленности) класса в системе «Эйдос» количественно оценивается *степенью вариабельности значений факторов* (градаций описательных шкал) в колонке матрицы модели, соответствующей данному классу (режим 3.7.3 системы «Эйдос»).

Чем выше степень детерминированности класса, тем более достоверно он прогнозируется по значениям факторов.

Степень детерминированности (обусловленности) всей классификационной шкалы является средним от степени детерминированности ее градаций, т.е. классов (режим 3.7.2 системы «Эйдос»).

3.8.11.2. Конкретное решение задачи в данной работе

На рисунках 40 приведены экранные формы режимов 3.7.2 и 3.7.3 системы «Эйдос», содержащие информацию о степени детерминированности (обусловленности) состояний объекта моделирования действующими на него факторами:

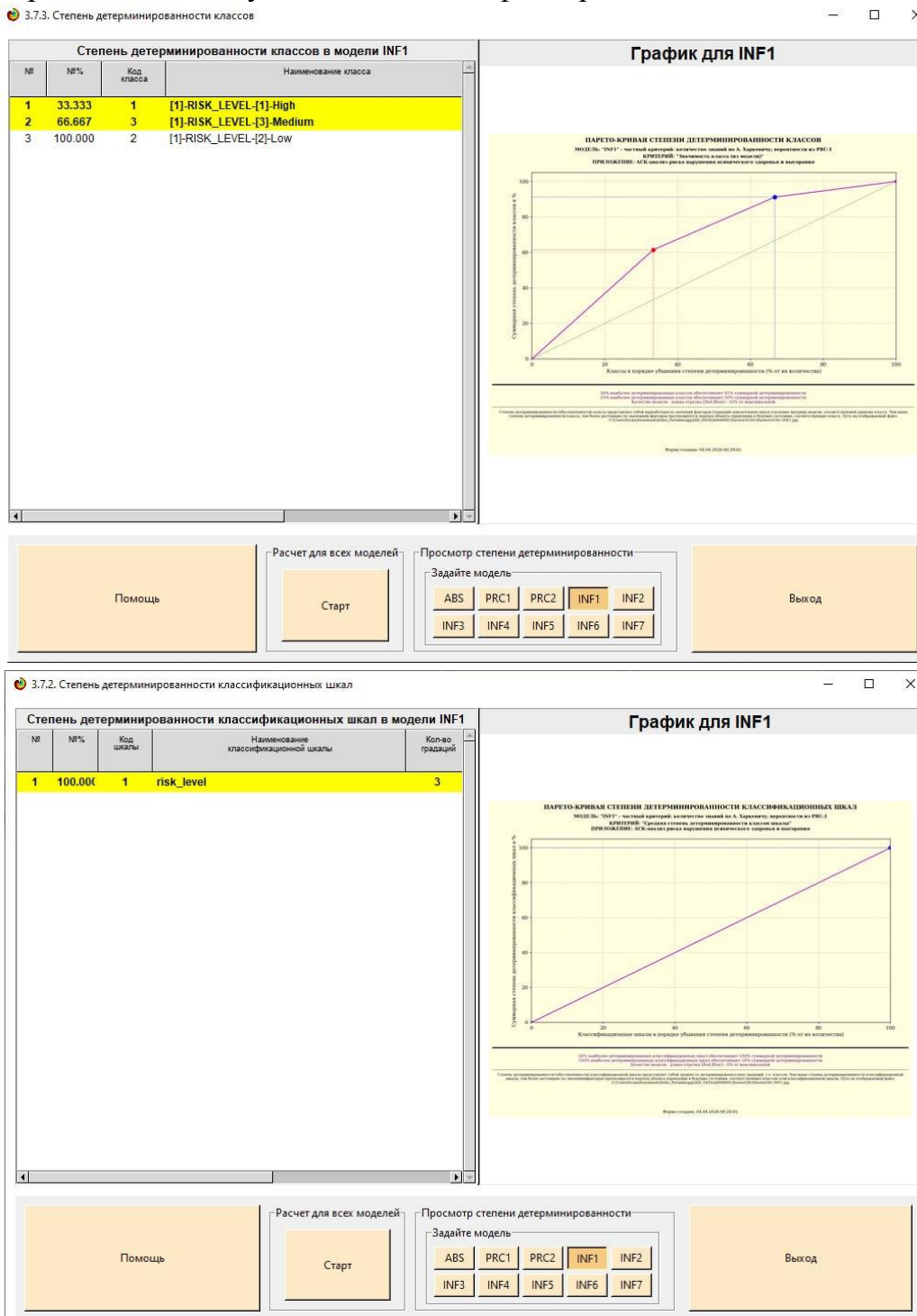


Рисунок 40. Экранные формы режимов 3.7.2 и 3.7.3 системы «Эйдос»

В таблице 18 представлены исходные данные для построения кумулятивной кривой на рисунке 40.

Из таблицы 18 видно, какую долю от суммарной степени детерминированности всех классов имеет каждый класс риска нарушения психического здоровья и выгорания. Степень обусловленности значениями факторов разных уровней риска довольно существенно отличается друг от друга.

Например, класс «High» (высокий риск) обладает наибольшей степенью детерминированности и составляет 61,48 % от суммарной детерминированности всех классов, в то время как класс «Low» (низкий риск) — всего 8,86 %. Класс «Medium» занимает промежуточное положение с показателем 29,66 %.

Таким образом, 50 % наиболее жёстко детерминированных классов (в данном случае — класс «High») суммарно обеспечивают более 61 % степени детерминированности модели, что указывает на значительную неоднородность влияния факторов на разные уровни риска.

Таблица 17 – Степень детерминированности классов в СК-модели INF1

	A	B	C	D	E	F	G	H	I
1	num	num_prc	kod_cls	name_cls	kod_cls	znach_cls	zn_clsnit	znach_prc	zn_prcnit
2	1	33,33333	1	[1]-RISK_LEVEL-[1]-High	1	0,116451	0,116451	61,47821056	61,47821
3	2	66,66667	3	[1]-RISK_LEVEL-[3]-Medium	1	0,05618	0,172631	29,65920508	91,13742
4	3	100	2	[1]-RISK_LEVEL-[2]-Low	1	0,016787	0,189419	8,86258436	100

Источник: c:\Aidos-X\AID_DATA\A0000001\System\Zkl_INF1.xlsx

В таблице 18 приведена информация о степени детерминированности классов значениями факторов в системно-когнитивной модели INF1. Степень детерминированности классификационных шкал является средним от степени детерминированности их градаций.

Степень детерминированности классификационных шкал представлена в таблицах, наименования которых приведены на третьем рисунке 40. Но поскольку в данном приложении одна классификационная шкала, то рейтинг шкал по силе детерминированности состоит из одной шкалы и поэтому эти таблицы здесь не приводятся.

4. DISCUSSION (ОБСУЖДЕНИЕ)

Полученные результаты можно оценить как успешно решающие сформулированную в работе проблему и обеспечивающие достижение поставленной в работе цели. Эти результаты получены путем применения Автоматизированного системно-когнитивного анализа (АСК-анализ) и его программного инструментария – интеллектуальной системы «Эйдос».

Анализ полученных результатов, проведенный в данной работе, полностью согласуется с результатами работы [25], на исходных данных

которой они основаны. С другой стороны применение АСК-анализа и системы «Эйдос» весьма существенно расширяет возможности решения задач прогнозирования, принятия решений и исследования моделируемой предметной области, по сравнению с методами, применяемыми в работе [25]. Поэтому есть все основания рекомендовать применение АСК-анализа и системы «Эйдос» для проведения дальнейших углубленных исследований.

Достижением данной работы является:

1. Возможность корректного построения сопоставимых системно-когнитивных моделей предметной области на основе исходных данных, содержащих как лингвистические переменные, так и числовые переменные в различных единицах измерения.

2. Возможность применения системно-когнитивных моделей для решения задач прогнозирования, принятия решений и исследования моделируемой предметной области.

В качестве перспективы продолжения исследований можно было бы рекомендовать существенно увеличить объем исходных данных, количество исследуемых факторов, а также количество классификационных шкал и их градаций (классов) для описания будущих состояний объекта моделирования.

Например, можно было бы исследовать в создаваемых системно-когнитивных моделях, и технологические, и природно-климатические факторы.

Рекомендуется ввести классификационные шкалы, отражающие влияние исследуемых факторов на объект моделирования не только в натуральном выражении (количество и качество различных видов продукции), но и в стоимостном выражении (прибыль и рентабельность, как общая по предприятию, так и в разрезе по видам продукции).

Перспективность и ценность результатов подобных исследований и разработок для теории и практики не вызывает особых сомнений, что подтверждается работами в этой области [1-49].

У желающих есть все возможности для изучения данной работы и для дальнейших исследований с применением АСК-анализа и системы «Эйдос» на своем компьютере.

Для этого надо скачать систему с сайта разработчика по ссылке на странице: http://lc.kubagro.ru/Installation_Eidos.php, а затем в диспетчере приложений (режим 1.3) установить интеллектуальное облачное Эйдос-приложение №459. По различным аспектам применения данной технологии есть большое количество видео-занятий (около 300), с которыми можно ознакомиться по ссылкам, приведенным на странице: http://lc.kubagro.ru/aidos/How_to_make_your_own_cloud_Eidos-application.pdf.

5. CONCLUSIONS (ВЫВОДЫ)

Анализ результатов численного эксперимента показывает, что решение, разработанное и реализованное в системе «Эйдос», является достаточно эффективным. Это позволяет с уверенностью заявить, что цель работы достигнута, а поставленные задачи решены.

В ходе работы с использованием системы «Эйдос» были построены статистические и системно-когнитивные модели, позволяющие оценивать и прогнозировать риск нарушения психического здоровья и выгорания студентов. Также было изучено влияние факторов учебной нагрузки и образа жизни на уровень данного риска. На этой основе успешно решены задачи идентификации состояний студентов, классификации уровней риска и анализа моделируемой предметной области через исследование её когнитивной модели.

В работе приводится краткое описание АСК-анализа и его программного инструментария — интеллектуальной системы «Эйдос».

Полученные результаты могут быть использованы в качестве основы для лабораторных работ и научных исследований по применению методов искусственного интеллекта, в частности лингвистического АСК-анализа, для решения задач оценки и прогнозирования психического здоровья студентов в условиях современной системы высшего образования.

REFERENCES (ЛИТЕРАТУРА)

1. Луценко, Е. В. Исследование влияния подсистем различных уровней иерархии на эмерджентные свойства системы в целом с применением АСК-анализа и интеллектуальной системы "Эйдос" (микроструктура системы как фактор управления ее макросвойствами) / Е. В. Луценко // Политематический сетевой электронный научный журнал Кубанского государственного аграрного университета. – 2012. – № 75. – С. 321-363. – EDN OOSCAV.
2. Луценко, Е. В. Автоматизированный системно-когнитивный анализ в управлении активными объектами : (системная теория информации и ее применение в исследовании экономических, социально-психологических, технологических и организационно-технических систем) / Е. В. Луценко. – Краснодар : Кубанский государственный аграрный университет имени И.Т. Трубилина, 2002. – 605 с. – ISBN 5-94672-020-1. – EDN OCZFHС.
3. Орлов, А. И. Системная нечеткая интервальная математика / А. И. Орлов, Е. В. Луценко. – Краснодар : Кубанский государственный аграрный университет, 2014. – 600 с. – ISBN 978-5-94672-757-0. – EDN RZJXZZ.
4. Работы проф.Е.В.Луценко по информационным мерам уровня системности (коэффициентам эмерджентности) и системному обобщению математики http://lc.kubagro.ru/aidos/Work_on_emergence.htm
5. Сайт Е.В.Луценко: <http://lc.kubagro.ru/>.
6. Страница Е.В.Луценко в РесечГейт <https://www.researchgate.net/profile/Eugene-Lutsenko>
7. Страница Е.В.Луценко в РИНЦ: https://elibrary.ru/author_profile.asp?id=123162.
8. Луценко, Е. В. Метризация измерительных шкал различных типов и совместная сопоставимая количественная обработка разнородных факторов в

системно-когнитивном анализе и системе "Эйдос" / Е. В. Луценко // Политематический сетевой электронный научный журнал Кубанского государственного аграрного университета. – 2013. – № 92. – С. 61-71. – EDN RNEGHR.

9. Луценко, Е. В. Инвариантное относительно объемов данных нечеткое мультиклассовое обобщение F-меры достоверности моделей Ван Ризбергена в АСК-анализе и системе "Эйдос" / Е. В. Луценко // Политематический сетевой электронный научный журнал Кубанского государственного аграрного университета. – 2017. – № 126. – С. 1-32. – DOI 10.21515/1990-4665-126-001. – EDN XXXBDV.

10. Луценко, Е. В. Количественный автоматизированный SWOT- и PEST-анализ средствами АСК-анализа и интеллектуальной системы "Эйдос-Х++" / Е. В. Луценко // Политематический сетевой электронный научный журнал Кубанского государственного аграрного университета. – 2014. – № 101. – С. 1367-1409. – EDN SZVWRV.

11. Луценко, Е. В. Сценарный и спектральный автоматизированный системно-когнитивный анализ / Е. В. Луценко. – Краснодар : Кубанский государственный аграрный университет им. И.Т. Трубилина, 2021. – 288 с. – DOI 10.13140/RG.2.2.22981.37608. – EDN ZQLITW.

12. Орлов, А. И. Анализ данных, информации и знаний в системной нечеткой интервальной математике / А. И. Орлов, Е. В. Луценко. – Краснодар : Кубанский государственный аграрный университет им. И.Т. Трубилина, 2022. – 405 с. – ISBN 978-5-907550-62-9. – DOI 10.13140/RG.2.2.15688.44802. – EDN OQULUW.

13. Луценко, Е. В. Автоматизация функционально-стоимостного анализа и метода "Директ-костинг" на основе АСК-анализа и системы "Эйдос" (автоматизация управления натуральной и финансовой эффективностью затрат без содержательных технологических и финансово-экономических расчетов на основе информационных и когнитивных технологий и теории управления)1 / Е. В. Луценко // Политематический сетевой электронный научный журнал Кубанского государственного аграрного университета. – 2017. – № 131. – С. 1-18. – DOI 10.21515/1990-4665-131-001. – EDN ZRXVFN.

14. Луценко, Е. В. Системное обобщение принципа Эшби и повышение уровня системности модели объекта познания как необходимое условие адекватности процесса его познания / Е. В. Луценко // Политематический сетевой электронный научный журнал Кубанского государственного аграрного университета. – 2020. – № 163. – С. 100-134. – DOI 10.21515/1990-4665-163-009. – EDN SWKGWY.

15. Луценко, Е. В. Эффективность объекта управления как его эмерджентное свойство и повышение уровня системности как цель управления / Е. В. Луценко // Политематический сетевой электронный научный журнал Кубанского государственного аграрного университета. – 2021. – № 165. – С. 77-98. – DOI 10.13140/RG.2.2.11887.25761. – EDN UMTAMT.

16. Луценко, Е. В. Метод когнитивной кластеризации или кластеризация на основе знаний (кластеризация в системно-когнитивном анализе и интеллектуальной системе "Эйдос") / Е. В. Луценко, В. Е. Коржаков // Политематический сетевой электронный научный журнал Кубанского государственного аграрного университета. – 2011. – № 71. – С. 27-74. – EDN OIGYBB.

17. Луценко, Е. В. Проблемы и перспективы теории и методологии научного познания и автоматизированный системно-когнитивный анализ как автоматизированный метод научного познания, обеспечивающий содержательное феноменологическое моделирование / Е. В. Луценко // Политематический сетевой электронный научный журнал Кубанского государственного аграрного университета. – 2017. – № 127. – С. 1-60. – DOI 10.21515/1990-4665-127-001. – EDN YLZTMX.

18. Луценко, Е. В. Системная теория информации и нелокальные интерпретируемые нейронные сети прямого счета / Е. В. Луценко // Политематический сетевой электронный научный журнал Кубанского государственного аграрного университета. – 2003. – № 1. – С. 76-88. – EDN JWXLKT.

19. Работы проф.Е.В.Луценко & С^о по выявлению, представлению и использованию знаний, логике и методологии научного познания: http://lc.kubagro.ru/aidos/Works_on_identification_presentation_and_use_of_knowledge.htm

20. Пойа Дьердь. Математика и правдоподобные рассуждения. // под редакцией С.А.Яновской. Пер. с английского И.А.Вайнштейна., М., Наука, 1975 — 464 с., <http://ilib.mccme.ru/djvu/polya/rassuzhdenija.htm>

21. Луценко, Е. В. Системно-когнитивный анализ как развитие концепции смысла Шенка - Абельсона / Е. В. Луценко // Политематический сетевой электронный научный журнал Кубанского государственного аграрного университета. – 2004. – № 5. – С. 14-35. – EDN JWXMKX.

22. Работы проф.Е.В.Луценко & С^о по когнитивным функциям: http://lc.kubagro.ru/aidos/Works_on_cognitive_functions.htm

23. Луценко, Е. В. Системы представления и приобретения знаний / Е. В. Луценко, В. И. Лойко, В. Н. Лаптев. – Краснодар : Экоинвест, 2018. – 513 с. – ISBN 978-5-94215-415-8. – EDN UZZBLC.

24. Луценко, Е. В. Проблемы и перспективы теории и методологии научного познания и автоматизированный системно-когнитивный анализ как автоматизированный метод научного познания, обеспечивающий содержательное феноменологическое моделирование / Е. В. Луценко // Политематический сетевой электронный научный журнал Кубанского государственного аграрного университета. – 2017. – № 127. – С. 1-60. – DOI 10.21515/1990-4665-127-001. – EDN YLZTMX.

25. Влияние сроков применения борной кислоты на генеративную деятельность косточковых культур / Т. Н. Дорошенко, Л. Г. Рязанова, Н. В. Захарчук, Д. В. Максимцов // Плодоводство и виноградарство Юга России. – 2016. – № 41(5). – С. 121-130. – EDN WKBFHT, <https://journalkubansad.ru/pdf/16/05/12.pdf>

26. Монографии по АСК-анализу: http://lc.kubagro.ru/aidos/_Aidos-X.htm#_Toc128746370

27. Некоторые учебники и учебные пособия проф.Е.В.Луценко: http://lc.kubagro.ru/aidos/_Aidos-X.htm#_Toc128746372.

28. Свидетельства Роспатента на систему «Эйдос» и ее подсистемы: http://lc.kubagro.ru/aidos/_Aidos-X.htm#_Toc128746371.

29. Тематические подборки публикаций по применению АСК-анализа и системы «Эйдос» в различных предметных областях: http://lc.kubagro.ru/aidos/_Aidos-X.htm

30. Работы по информационным мерам уровня системности (коэффициентам эмерджентности) и системному обобщению математики: http://lc.kubagro.ru/aidos/Work_on_emergence.htm .

31. Работы по АСК-анализу изображений: http://lc.kubagro.ru/aidos/Works_on_ASK-analysis_of_images.htm

32. Работы по АСК-анализу текстов: http://lc.kubagro.ru/aidos/Works_on_ASK-analysis_of_texts.htm

33. Работы по когнитивным функциям: http://lc.kubagro.ru/aidos/Works_on_cognitive_functions.htm

34. Работы по выявлению, представлению и использованию знаний, логике и методологии научного познания: http://lc.kubagro.ru/aidos/Work_on_identification_presentation_and_use_of_knowledge.htm

35. Работы по экологии, климатологии и изучению влияния космической среды на различные глобальные процессы на Земле: http://lc.kubagro.ru/aidos/Work_on_the_study_of_the_influence_of_the_space_environment_on_various_processes_on_Earth.htm

36. Работы по современным информационно-коммуникационным технологиям в научно-исследовательской деятельности и образовании: http://lc.kubagro.ru/aidos/Information_and_communication_technologies_in_research_activities_and_education.htm

37. Работы по виртуальной реальности: http://lc.kubagro.ru/aidos/Virtual_reality_publications.htm

38. Работы по когнитивной ветеринарии: http://lc.kubagro.ru/aidos/Publications_on_cognitive_veterinary_medicine.htm

39. Работы по когнитивной агрономии и когнитивной ампелографии: http://lc.kubagro.ru/aidos/Works_on_cognitive_agronomy.htm

40. Работы по тематике, связанной с АПК: http://lc.kubagro.ru/aidos/Work_with_agricultural.htm

41. Работы по наукометрии: http://lc.kubagro.ru/aidos/Works_on_scientometrics.htm

42. Работы о высших формах сознания, перспективах человека, технологии и общества: http://lc.kubagro.ru/aidos/Works_on_higher_forms_of_consciousness.htm

43. Работы по разработке и применению профиограмм и тестов (психологических, профориентационных, медицинских и ветеринарных): http://lc.kubagro.ru/aidos/Work_on_the_development_and_application_tests.htm

44. Работы по сценарному автоматизированному системно-когнитивному анализу (сценарный АСК-анализ): http://lc.kubagro.ru/aidos/Works_on_Scenario_ASC-analysis.htm

45. MVP-проект «Внедрение технологий АСК-анализа и системы «Эйдос» для решения задач АПК»: <http://lc.kubagro.ru/aidos/MVP-projects.htm>

46. Кратко об АСК-анализе и системе «Эйдос»: http://lc.kubagro.ru/aidos/Presentation_Aidos-online.pdf

47. Ссылки на видео-занятия и проф.Е.В.Луценко в Пермском национальном университете: <https://bigbluebutton.pstu.ru/b/w3y-2ir-ukd-bqn> (2021), <https://bigbluebutton.pstu.ru/b/3kc-n8a-gon-tjz> (2022), в Кубанском государственном университете и Кубанском государственном аграрном университете: <https://disk.yandex.ru/d/knISAD5qzV83Ng?w=1>

48. Луценко, Е. В. Революция начала XXI века в искусственном интеллекте: глубинные механизмы и перспективы / Е. В. Луценко, Н. С. Головин. – Краснодар: Кубанский государственный аграрный университет им. И.Т. Трубилина, 2024. – 394 с. – DOI 10.13140/RG.2.2.17056.56321. – EDN OMIPII.

49. Луценко Е.В. Системы искусственного интеллекта как системы автоматизации процесса научного познания и удвоение номенклатуры научных специальностей путем применения этих систем для исследований в различных направлениях науки / Е.В. Луценко, Н.С. Головин // Политематический сетевой электронный научный журнал Кубанского государственного аграрного университета (Научный журнал КубГАУ) [Электронный ресурс]. – Краснодар: КубГАУ, 2024. – №01(195). С. 74 – 111. – IDA [article ID]: 1952401009. – Режим доступа: <http://ej.kubagro.ru/2024/01/pdf/09.pdf>, 2,375 у.п.л.